

**MÉTODOS DE PROGRAMAÇÃO GEOMÉTRICA**

**Edmundo Sérgio Spoto**

**Orientador**

**Prof. Dr. Marcos N. Arenales**

**Dissertação apresentada ao Instituto  
de Ciências Matemáticas de São Carlos  
da Universidade de São Paulo, para  
obtenção do título de Mestre em  
Computação.**

**São Carlos**

**Maior/1988**

## A G R A D E C I M E N T O S

Agradeço ao Prof. Dr. Marcos Arenales, pela sua total dedicação a esse trabalho, e pela sua amizade.

Agradeço aos meus colegas do ICMSC, aos meus professores e a todos os funcionários, que acima de tudo foram amigos .

A todos colegas do Departamento de Informática da UEM, do CTC e da PPG pelo total apoio.

Agradeço aos meus pais, irmãos e a minha esposa pelo carinho e incentivo.

Agradeço ao CNPq, CAPES e FAPESP pelo apoio financeiro.

Agradeço a todas amizades que se firmaram durante o período de pós-graduação e aqueles que, direta ou indiretamente, colaboraram para a realização deste trabalho.

E a Deus, por tudo .

# ÍNDICE

Resumo. . . . .	i
-----------------	---

## CAPÍTULO I

### Programação Geométrica

1.1 - Introdução . . . . .	01
1.1.1- Problema Dual . . . . .	10
1.2 - Programação Geométrica Posinomial. . . . .	16
1.2.1- Problema Primal. . . . .	17
1.2.2- Problema Dual. . . . .	18
1.2.3- Teorema da Dualidade . . . . .	25
1.3 - Programação Geométrica Generalizada. . . . .	25

## CAPÍTULO II

### Condensação

2.1 - Condensação de Posinômios. . . . .	29
2.2 - Problemas Condensados. . . . .	33
2.2.1 - Problemas Posinomias Condensados. . . . .	33
2.2.2 - Problemas Signomiais Condensados. . . . .	35

## CAPÍTULO III

### Métodos

3.3 - Método de Cortes para Programação Geométrica Posinomial.	46
3.4 - Relação entre condensação e Plano de Corte . . . . .	52
3.5 - Método de Cortes para Programação Geométrica Generaliza- da . . . . .	55
- Fase 1 . . . . .	58

## CAPÍTULO IV

### Melhoria da Solução Antes da Condensação

4.1 - Introdução . . . . .	65
4.2 - Melhorando a Solução . . . . .	66
4.3 - Equivalência com Censor & Lent . . . . .	68
4.4 - Uso da projeção na Programação Geométrica Posinomial . .	70

## CAPÍTULO V

### Experiências Computacionais

5.1 - Introdução . . . . .	73
5.2 - Tipos de Cortes. . . . .	73
5.3 - Experiências Numéricas com Problemas Posinomiais . . . .	74
5.4 - Experiências Numéricas com Problemas Signomiais. . . . .	95

## CAPÍTULO VI

Conclusões e Perspectivas Futuras. . . . .	104
--	-----

Método das Projeções Cíclicas do Subgradientes (P.C.S) . . . .	106
--	-----

## APÊNDICE B

### Programas e Rotinas

B.1 - Introdução . . . . .	109
B.2 - Programa que Resolve um Problema Linear (PL) . . . . .	109
B.3 - Programa que Resolve um P.G.P. . . . .	114
B.4 - Programa que Resolve um P.G.G. . . . .	122

## APÊNDICE C

### Protensão em Vigas de Concreto Modelado por Programação Geométrica.

C.1 - Introdução . . . . .	127
C.2 - Modelo Matemático. . . . .	128
C.2.1 - Fuso Limite . . . . .	129
C.2.2 - Obtenção do Momento Devido a Protensão. . . . .	131
BIBLIOGRAFIA. . . . .	137
ANEXOS . . . . .	141

## RESUMO

Este trabalho tem a finalidade de apresentar a teoria e uma classe de métodos da Programação Geométrica, que têm sido consideradas de grande utilidade para solução de problemas de Engenharia.

A classe de métodos estudados é baseada num conceito de condensação, que visa aproximar um programa posinomial a um programa linear. Este último pode ser resolvido usando técnicas da Programação Linear.

A idéia de projeção de Censor-Lent foi usada, em combinação com os métodos estudados, numa tentativa de acelerá-los.

Finalmente apresentamos as experiências numéricas e conclusões.

## A B S T R A C T

This work presents a theory and a class of Geometric Programming Methods, which have been considered of great interest in solving Engineering problems.

The studied methods are based on condensation concept, which approaches a "posynomial" program to linear program. The later one can be solved by Linear Programming methods.

In order to accelerate the methods, the Censor-Lent projection idea was used.

Numerical experiences and conclusions are presented.

# CAPÍTULO I

## Programação Geométrica (P.G.) :

### 1.1 - Introdução :

A Programação Geométrica surgiu na década de 60 como uma importante ferramenta a ser utilizada na resolução de problemas de programação não-linear. Teve seu início em 1961, quando Clarence Zener, diretor de Ciências na Westinghouse Corporation, descobriu que muitos problemas de projetos de engenharia eram formados por uma simples soma de componentes de custos e poderiam ser determinados quase por inspeção, usando as condições disponíveis. Richard Duffin, professor de matemática, havia desenvolvido a teoria da dualidade, com aplicação voltada para problemas de programação não-linear. Ao entrar em contato com o trabalho desenvolvido pelo Professor Zener, oportunidade que teve durante uma visita a Westinghouse Corporation, empenhou-se em entender o método matemático de Zener, aplicando suas teorias recentemente desenvolvidas. O nome 'Programação Geométrica', teve sua origem através do desenvolvimento matemático elaborado por Duffin, que consistia na utilização da desigualdade entre a média aritmética-geométrica.

A técnica da Programação Geométrica, para problemas irrestritos, garante uma solução fácil, toda vez que o grau de dificuldade, assim chamado por Duffin e Zener, for zero; onde:

$$\text{Grau de dificuldade} = \text{Número de termos} - (\text{No. de variáveis} + 1)$$



Nossa motivação inicial para estudos de PG decorreu de contatos com pesquisadores da área de Engenharia Civil. No Apêndice C escrevemos uma aplicação que não temos vistos na literatura.

A fim de entendermos os princípios básicos desses desenvolvimentos, considere o seguinte problema de projeto de engenharia altamente simplificado.

Exemplo 1.1 - [13].

Deseja-se construir uma caçamba cilíndrica para ser usada em transportes de matéria-prima em um processo de fabricação. A caçamba é cilíndrica e deverá carregar  $500\pi$  m<sup>3</sup> de matéria-prima. O custo de fabricação da caçamba será  $2$  um/m<sup>2</sup> (UM : Unidade Monetária) de material utilizado (área de superfície da caçamba). O objetivo é determinar a altura  $h$  e o raio  $r$ , da caçamba circular, satisfazendo assim as especificações do projeto e minimizar os custos de construção.

Esse é um problema de resolução imediata, pois o volume será  $\pi r^2 h$ , e o custo da construção da caçamba (considerando apenas o material) será  $2(2\pi r h + \pi r^2)$  um. Como a especificação do volume é de  $500\pi$ , logo :

$$500\pi = \pi r^2 h$$

ou

$$h = \frac{500}{r^2}$$

Para minimizar o custo, teremos um problema que é :

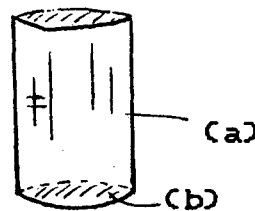
$$\text{minimizar} \quad 4 \pi r \left[ \frac{500}{r^2} \right] + 2 \pi r^2 \quad (1.1)$$

fazendo  $c_1 = 2000 \pi$  e  $c_2 = 2 \pi$ , a equação (1.1) pode ser escrita por :

$$\text{minimizar} \quad g = \underbrace{c_1 r^{-1}}_a + \underbrace{c_2 r^2}_b \quad (1.2)$$

onde o grau de dificuldade é zero ( $2 - (1+1) = 0$ ). Note que a construção da caçamba é composta pela soma de duas parcelas de custos :

- (a) Custo da borda lateral da estrutura e
- (b) Custo da superfície inferior da estrutura.



A solução desse problema é facilmente encontrada através do cálculo diferencial:

$$\frac{\partial g}{\partial r} = -c_1 r^{-2} + 2 c_2 r = 0$$

resultando

$$r^* = \left[ \frac{c_1}{2c_2} \right]^{1/3} \quad \text{e} \quad h^* = 500 \left[ \frac{2c_2}{c_1} \right]^{2/3} \quad (1.3)$$

logo o custo ótimo para a construção será :

$$g^* = c_1 \left[ \frac{c_1}{2c_2} \right]^{-1/3} + c_2 \left[ \frac{c_1}{2c_2} \right]^{2/3}$$

ou

$$g^* = \underbrace{(2)^{1/3} [c_1^{2/3} c_2^{1/3}]}_{(a)} + \underbrace{(2)^{-2/3} [c_1^{2/3} c_2^{1/3}]}_{(b)}$$

Observe que a razão entre as parcelas de  $g^*$  independe de  $c_1$  e  $c_2$ . Esse fato ocorre devido a  $c_1^{2/3} c_2^{1/3}$  ser comum aos dois termos (a) e (b). Portanto se ocorrer uma mudança nos valores de  $c_1$  e  $c_2$ , a contribuição relativa das parcelas (a) e (b) será a mesma. Analisando algebricamente as componentes (a) e (b), notamos então que a parcela (a) é sempre duas vezes maior que (b). Na otimalidade, a parcela de contribuição da componente (b) é  $1/3$  e a parcela de (a) é  $2/3$ . Uma observação importante é que se outra distribuição nas parcelas de (a) e (b) forem tomadas, o custo será superior.

Podemos usar essa relação da seguinte maneira :

Seja  $\delta_i$  a proporção com que a parcela  $i$  contribui com a função objetivo ( $\delta_1 = \frac{a}{g}$  e  $\delta_2 = \frac{b}{g}$ ).

$$\delta_1 + \delta_2 = 1$$

Se além disso

$$(-1)\delta_1 + (2)\delta_2 = 0$$

(onde  $-1$  é o expoente de  $r$  na primeira parcela e  $2$  é o expoente de  $r$  na segunda parcela).

Então

$$\delta_1 = 2/3 \quad \text{e} \quad \delta_2 = 1/3$$

Assim

$$\frac{2}{3} g^* = c_1 r^{-1} \quad \text{e} \quad \frac{1}{3} g^* = c_2 r^2$$

logo,

$$\frac{2}{3} c_1 r^{-1} = 3 c_2 r^2$$

ou

$$r^* = \left[ \frac{c_1}{2c_2} \right]^{1/3}$$

este resultado está de acordo com os obtidos inicialmente e abre um caminho novo para resoluções de problemas de programação matemática. Antes havia uma necessidade de primeiro pesquisar o vetor ótimo depois determinar o custo ótimo resultante, já na PG pesquisa-se primeiro a distribuição de parcelas do custo ótimo e então determina-se os valores das variáveis na solução. Este método pode muitas vezes ser usado na solução de problemas de projetos de engenharia.

Posteriormente, novas técnicas foram desenvolvidas.

Elmor Peterson, um aluno de Duffin, colaborou com a extensão do método, incluindo restrições com desigualdades. Em 1967, Duffin, Peterson e Zener publicaram o primeiro texto, agora um clássico, de Programação Geométrica [13]. Este livro contém todos os desenvolvimentos teóricos, até a data, com alguns exemplos ilustrativos.

Os trabalhos de Duffin, Peterson e Zener foram restritos a problemas com coeficientes positivos. Embora esta classe abranja um grande número de problemas na engenharia, a teoria da Programação Geométrica foi generalizada para problemas com coeficientes negativos por Passy e Wilde.

Para formalizar as idéias iniciais de Zener, faremos uma descrição matemática [13,23].

Considere o seguinte problema (primal):

$$\begin{array}{ll} \text{minimizar} & g_0(x) \\ \text{sujeito a} & x_j > 0 \quad j = 1, 2, \dots, N \end{array} \quad (1.4)$$

onde a função  $g_0(x)$  pode ser escrita na forma  $g_0 = \mu_1 + \mu_2 + \dots + \mu_T$

sendo que

$$\mu_i = \theta_i x_1^{\varphi_{i1}} \dots x_n^{\varphi_{in}} = \theta_i \prod_{j=1}^n x_j^{\varphi_{ij}} \quad (1.5)$$

os coeficientes  $\theta_i$  são positivos, os expoentes  $\varphi_{ij}$  são constantes reais, e as variáveis  $x_j$  são positivas. Essa função  $\mu_i$  é chamada de posinomial.

*Desigualdade entre as médias aritmética e geométrica*

Dado  $T_0$  termos  $U_1, U_2, \dots, U_{T_0}$ , a média aritmética é :

$$\frac{1}{T_0} (U_1 + U_2 + \dots + U_{T_0}) \quad (1.6)$$

e sua média geométrica :

$$(U_1 U_2 \dots U_{T_0})^{1/T_0} \quad (1.7)$$

A média aritmética de um conjunto de números positivos sempre será maior ou igual a sua média geométrica; isto é,  $(1.6) \geq (1.7)$ . Em particular para  $T_0 = 2$ , temos

$$\frac{1}{2} (U_1 + U_2) \geq (U_1 U_2)^{1/2} \quad (1.8)$$

onde  $U_1$  e  $U_2$  são números positivos. Para provar isto, faremos:

$$(U_1 - U_2)^2 \geq 0$$

ou

$$U_1^2 - 2 U_1 U_2 + U_2^2 \geq 0$$

adicionando  $4 U_1 U_2$  em ambos os lados temos

$$(U_1 + U_2)^2 \geq 4 U_1 U_2$$

logo

$$\frac{1}{2} U_1 + \frac{1}{2} U_2 \geq (U_1 U_2)^{1/2}$$

note que a igualdade ocorre se e somente se  $U_1 = U_2$ . Generalizando para quatro números positivos, temos :

$$\frac{1}{4} U_1 + \frac{1}{4} U_2 + \frac{1}{4} U_3 + \frac{1}{4} U_4 \geq \left( \frac{U_1+U_2}{2} \right)^{1/2} \left( \frac{U_3+U_4}{2} \right)^{1/2}$$

aplicando (1.8) duas vezes, temos

$$\frac{1}{4} U_1 + \frac{1}{4} U_2 + \frac{1}{4} U_3 + \frac{1}{4} U_4 \geq U_1^{1/4} U_2^{1/4} U_3^{1/4} U_4^{1/4} \quad (1.9)$$

onde a igualdade é satisfeita se e somente se  $U_1 = U_2 = U_3 = U_4$ .

Podemos ainda, obter uma desigualdade entre as médias ponderadas,

fazendo  $U_2 = U_3 = U_4$ , escrevendo (1.9) como :

$$\frac{1}{4} U_1 + \frac{3}{4} U_2 \geq U_1^{1/4} U_2^{3/4}$$

onde as parcelas de contribuição do primeiro e do segundo termo

são  $\frac{1}{4}$  e  $\frac{3}{4}$  respectivamente.

Como vemos, podemos formar uma variedade de desigualdades geométricas. Considerando diferentes pesos  $w_i$ , obtemos diferentes desigualdades. Uma forma geral entretanto é :

$$w_1 U_1 + w_2 U_2 + \dots + w_{T_0} U_{T_0} \geq U_1^{w_1} U_2^{w_2} \dots U_{T_0}^{w_{T_0}} \quad (1.10)$$

onde  $U_i, w_i > 0$  para todo  $i$ , e  $\sum_{i=1}^{T_0} w_i = 1$ .

Fazendo  $\mu_i = w_i U_i$  ( $i = 1, \dots, T_0$ ), então de (1.10) temos :

$$g_0(x) = \mu_1 + \dots + \mu_{T_0} \geq \left(\frac{u_1}{w_1}\right)^{w_1} \dots \left(\frac{u_{T_0}}{w_{T_0}}\right)^{w_{T_0}} = V(w, x) \quad (1.11)$$

Os lados esquerdo  $g(x)$  e direito  $V(w, x)$  de (1.11) são denominados função primal e função pré-dual respectivamente. A função pré-dual  $V(w, x)$  é uma função produto dos termos  $\mu_i$  elevado a potência  $w_i$ . Substituindo  $\mu_i(x)$ , dado por (1.5), em (1.11) a função pré-dual se escreve por :

$$V(w, x) = \left(\frac{\theta_1}{w_1}\right)^{w_1} \left(\frac{\theta_2}{w_2}\right)^{w_2} \dots \left(\frac{\theta_{T_0}}{w_{T_0}}\right)^{w_{T_0}} x_1^{d_1} x_2^{d_2} \dots x_N^{d_N} \quad (1.12)$$

onde  $d_j$  são combinações lineares

$$d_j = \sum_{i=1}^{T_0} w_i \rho_{ij} \quad j = 1, 2, \dots, N \quad (1.13)$$

dos expoentes  $\rho_{ij}$ . Podemos escolher os pesos  $w_i$ , tal que todos expoentes  $d_j$  sejam zero, então a função pré-dual  $V(w, x)$  não mais dependerá das variáveis  $x_j$ , e assim teremos a função dual:

$$v(w) = \left(\frac{\theta_1}{w_1}\right)^{w_1} \left(\frac{\theta_2}{w_2}\right)^{w_2} \dots \left(\frac{\theta_{T_0}}{w_{T_0}}\right)^{w_{T_0}} = \prod_{i=1}^{T_0} \left(\frac{\theta_i}{w_i}\right)^{w_i} \quad (1.14)$$

o vetor peso  $w$  deve satisfazer as condições de normalidade e de ortogonalidade, respectivamente se  $\sum_{i=1}^{T_0} w_i = 1$  e  $d_j = 0$  ( $j=1, \dots, N$ ).

Assim,



$$g_0(x) \geq v(w)$$

$$\text{sujeito a } \sum_{i=1}^{T_0} w_i \rho_{ij} = 0 \quad j = 1, 2, \dots, N$$

Note que o problema primal deseja minimizar  $g_0(x)$  e para cada  $w$  tal que  $\sum_{i=1}^{T_0} w_i \rho_{ij} = 0$ , o valor da função  $v(w)$  é um limitante inferior a  $g_0(x)$ .

O problema dual consiste em determinar o maior limitante inferior a  $g_0(x)$  :

### 1.1.1 - Problema Dual

$$\begin{aligned} \max \quad & v(w) \\ \text{suj. a} \quad & \sum_{i=1}^{T_0} w_i \rho_{ij} = 0 \quad j = 1, \dots, N \end{aligned} \quad (1.15)$$

$$\sum_{i=1}^{T_0} w_i = 1$$

$$w_i \geq 0$$

Note que se o grau de dificuldade for zero, então o sistema (1.15) é quadrado. Se as equações forem linearmente independentes então o problema dual tem uma única solução.

#### Teorema 1.1 :

O máximo da função dual é igual ao mínimo da função primal.

Prova : Suponha que o ponto  $x^0 = (x_1^0, x_2^0, \dots, x_N^0)$  seja o ponto mínimo de  $g(x)$  onde  $x_i^0 > 0$  para todo  $i$ . A derivada de  $g(x)$  em relação a cada variável  $x_j$ , no ponto  $x^0$  é zero; isto é,

obteremos n equações do tipo :

$$0 = x_j^0 \frac{\partial g(x^0)}{\partial x_j} = \sum_{i=0}^{T_0} x_j^0 \frac{\partial \mu_i(x^0)}{\partial x_j} = \sum_{i=0}^{T_0} \mu_i(x^0) \rho_{ij}$$

Dividindo estas equações por  $g(x^0)$ , teremos :

$$\bar{w}_i = \mu_i(x^0) / g(x^0) > 0 \quad i = 1, 2, \dots, T_0 \quad (1.16)$$

obtendo assim

$$0 = \sum_{i=1}^{T_0} \bar{w}_i \rho_{ij} \quad j = 1, 2, \dots, N \quad (1.17)$$

de onde,  $\bar{w}$  satisfaz a condição  $d_j = 0$  ( $j=1, 2, \dots, N$ ). Assumindo agora os termos em (1.16) onde  $\sum \mu_i = g$ , teremos que  $\bar{w}_i$  satisfaz também as condições  $\sum_{i=1}^{T_0} \bar{w}_i = 1$ .

Mostraremos agora que  $v(\bar{w}) = g(x^0)$ . De (1.16)

$\mu_i(x) = \bar{w}_i g(x^0)$  para todo  $i$  ou ainda

$$\theta_i x_1^{\rho_{i1}} \dots x_N^{\rho_{iN}} = \bar{w}_i g(x^0) \quad \text{para todo } i$$

Assim, para qualquer  $\bar{w}_i$  tal que :

$$(\theta_i)^{\bar{w}_i} \prod_{j=1}^N (x_j^0)^{\rho_{ij} \bar{w}_i} = (\bar{w}_i g(x^0))^{\bar{w}_i}$$

ou

$$(\theta_i / \bar{w}_i)^{\bar{w}_i} \prod_{j=1}^N (x_j^0)^{\bar{w}_i \rho_{ij}} = g(x^0)^{\bar{w}_i}$$

portanto, multiplicando, desta maneira, todos  $T_0$  termos da equação juntas, teremos :

$$\prod_{i=1}^{T_0} (\theta_i / \bar{w}_i)^{\bar{w}_i} \prod_{j=1}^N (x_j^0)^{\sum_{i=1}^{T_0} \bar{w}_i \rho_{ij}} = g(x^0)^{\sum_{i=1}^{T_0} \bar{w}_i} = g(x^0)$$

mas de (1.17), temos :

$$\prod_{i=1}^{T_0} (\theta_i / \bar{w}_i)^{\bar{w}_i} = g(x^0)$$

portanto

$$v(\bar{w}) = g(x^0) \quad (1.18)$$

- Determinação do ponto de mínimo :

Pelo fato que  $g(x^0) \bar{w}_i = \mu_i(x^0)$  ( $i=1,2,\dots,T_0$ ) e do teorema anterior (1.18), temos :

$$v(\bar{w}) \bar{w}_i = \mu_i(x^0) \quad i=1,2,\dots,T_0 \quad (1.19)$$

isto é, a solução ótima do problema primal é determinada resolvendo um sistema de equações lineares, tomando-se o logaritmo de (1.19). Para exemplificar considere o seguinte problema didático que tem sido utilizado nas literaturas [13,14,23]. O problema ilustra que esse sistema de equações pode ser transformado em um simples sistema de equações lineares.

Exemplo 1.2 :

Suponha que  $400 \text{ m}^3$  de cascalho devam ser transportados de uma margem a outra, em um rio de grande largura. Para isso usaremos uma caixa aberta de comprimento  $x_1$ , largura  $x_2$  e altura  $x_3$ . As laterais maiores e a base da caixa custarão  $10 \text{ UM/m}^2$  e o restante da caixa ( $x_2 x_3$ ) custa  $20 \text{ UM/m}^2$ . A única despesa de transporte da caixa será de  $0,1 \text{ UM}$  para cada viagem completada. Calcular o preço mínimo para transportar os  $400 \text{ m}^3$  de cascalho, e quais são as dimensões ótimas da caixa, que satisfaçam o problema.

Solução :

É fácil de ver que o custo total em UM é

$$\min g(x) = \frac{400 * 0.1}{x_1 x_2 x_3} + 2 * 20 (x_2 x_3) + 2 * 10(x_1 x_3) + 10(x_1 x_2)$$

ou

$$g(x) = \frac{40}{x_1 x_2 x_3} + 40 x_2 x_3 + 20 x_1 x_3 + 10 x_1 x_2 \quad (1.20)$$

observe que o grau de dificuldade desse problema é zero.

A função dual de (1.20) é :

$$v(w) = \left( \frac{40}{w_1} \right)^{w_1} \left( \frac{40}{w_2} \right)^{w_2} \left( \frac{20}{w_3} \right)^{w_3} \left( \frac{10}{w_4} \right)^{w_4} \quad (1.21)$$

onde os pesos satisfazem as equações (veja (1.15)) :

$$\begin{aligned} d_1 &= -w_1 + w_2 + w_4 = 0 \\ d_2 &= -w_1 + w_2 + w_4 = 0 \\ d_3 &= -w_1 + w_2 + w_3 = 0 \end{aligned} \quad (1.22)$$

e

$$w_1 + w_2 + w_3 + w_4 = 1 \quad (1.23)$$

As quatro equações acima (1.22) e (1.23), tem uma única solução  $w'$  dada por

$$w'_1 = \frac{2}{5}, w'_2 = \frac{1}{5}, w'_3 = \frac{1}{5}, w'_4 = \frac{1}{5} \quad (1.24)$$

substituindo esses valores em (1.21) obtemos o custo mínimo

$$v(w') = \left(\frac{40}{2/5}\right)^{2/5} \left(\frac{20}{1/5}\right)^{1/5} \left(\frac{20}{1/5}\right)^{1/5} \left(\frac{10}{1/5}\right)^{1/5} = 100 \text{ um}$$

devemos escrever a proporção com que cada parcela que a função objetivo contribui para o custo mínimo (veja (1.19)) :

$$\begin{aligned} \left(\frac{2}{5}\right) 100 &= 40 x_1^{-1} x_2^{-1} x_3^{-1} \\ \left(\frac{1}{5}\right) 100 &= 40 x_2 x_3 \\ \left(\frac{1}{5}\right) 100 &= 20 x_1 x_3 \\ \left(\frac{1}{5}\right) 100 &= 10 x_1 x_2 \end{aligned} \quad (1.25)$$

Tomando o logaritmo em cada equação de (1.25), e fazendo  $z_1 = \log x_1$ ,  $z_2 = \log x_2$  e  $z_3 = \log x_3$ , veremos que  $(z'_1, z'_2, z'_3)$  satisfaz o sistema linear.

$$\begin{aligned}
0 &= -z_1 - z_2 - z_3 \\
-\log 2 &= z_2 + z_3 \\
0 &= z_1 + z_3 \\
\log 2 &= z_1 + z_2
\end{aligned}$$

Esse sistema tem solução única  $z'_1 = \log 2$ ,  $z'_2 = 0$  e  $z'_3 = -\log 2$ . Portanto a solução ótima será  $x'_1 = 2$ ,  $x'_2 = 1$  e  $x'_3 = \frac{1}{2}$ . Outros problemas são apresentados [13,14,23], dando uma ampla visão do método.

A Programação Geométrica que vamos estudar é uma classe particular da programação não-linear (PNL), onde a função objetivo e as restrições são definidas por funções do tipo :

$$g(x) = \sum_{i=1}^T \theta_i \prod_{j=1}^N x_j^{\varphi_{ij}} \quad (1.26)$$

onde  $T$  é o número de termos e  $N$  o número de variáveis da função  $g(x)$ . Os coeficientes  $\theta_i$  e os expoentes  $\varphi_{ij}$  são números reais, e as variáveis  $x_1, x_2, \dots, x_N$  são positivas. Embora a PG seja um subconjunto da programação matemática, ela abrange uma gama enorme dos modelos não lineares estudados.

Dizemos que  $g(x)$  é uma função posinomial, quando todos os  $\theta_i$ 's forem positivos, caso contrário, dizemos que  $g(x)$  é uma função signomial ou geométrica generalizada.

O termo  $\mu_i(x)$  é chamado de monômio :

$$\mu_i(x) = \theta_i \prod_{j=1}^N x_j^{\varphi_{ij}} \quad (1.27)$$

Observe que a PG em seu início, trabalhava apenas com problemas irrestritos [10,13,23], Peterson colaborou com o seu

desenvolvimento introduzindo problemas com restrições, onde mais tarde outros pesquisadores ampliaram essas técnicas para problemas signomiais.

Um problema de programação geométrica é definido por [13] :

PG :

$$\begin{aligned} \min \quad & g'_0(x') \\ \text{sujeito a} \quad & g'_k(x') \leq 1 \quad k = 1, 2, \dots, K \\ & x'_j > 0 \quad j = 1, 2, \dots, N \end{aligned} \quad (1.28)$$

onde  $g'_k(x) = \sum_{i=1}^{T_k} \theta_{ki} \prod_{j=1}^N x_j^{p_{kij}}$  para  $k = 0, 1, \dots, K$  e  $T_k$  é o número de monômios de  $g_k$ ,  $x' = (x_1, x_2, \dots, x_N)$ .

Equivalentemente, colocando  $g'_0(x') \leq x_0$ , e supondo  $g'_k(x') > 0$  para todo  $x'$  factível podemos escrever (1.28) da seguinte forma :

PG :

$$\begin{aligned} \min \quad & x_0 \\ \text{sujeito a} \quad & g_k(x) \leq 1 \quad k = 0, 1, \dots, K \\ & 0 < \underline{x}_j \leq x_j \leq \bar{x}_j \quad j = 0, 1, \dots, N \end{aligned} \quad (1.29)$$

considerando aqui  $x = (x_0, x_1, x_2, \dots, x_N)$ ,  $g_0(x) = x_0^{-1} g'_0(x')$  e  $g_k(x) = g'_k(x')$  e os limites  $\underline{x}_j$  e  $\bar{x}_j$  podem ser artificiais. Em geral, estes limites surgem, naturalmente, do problema físico. Esta forma será adotada no desenvolvimento dos métodos.

## 1.2 - Programação Geométrica Posinomial (PGP)

Como diz o próprio nome, estaremos trabalhando apenas com funções posinomiais, isto é, os coeficientes  $\theta_i$  da função

(1.26) serão todos positivos, não havendo, aqui, nenhum caso com  $\theta_i$  negativo.

O estudo da programação geométrica, separando os casos PGP e PGG (Programação Geométrica Generalizada ou Signomial), para efeito de teoria e métodos, é muito conveniente, pois o PGP possui propriedades desejáveis; por exemplo, embora em geral, um PGP seja não convexo ( $g(x) = x^{1/2}$ ), pode desfrutar das propriedades de problemas convexos, pois podemos transformá-los num problema convexo mediante a transformação de variáveis, como :

$$x_j = e^{y_j}$$

Desta forma o problema (1.28) pode ser escrito por :

$$\begin{aligned} \min \quad & \sum_{i=1}^T \theta_{oi} e^{\sum_{j=1}^N p_{oij} y_j} \\ \text{suj a} \quad & \sum_{i=1}^T \theta_{ki} e^{\sum_{j=1}^N p_{kij} y_j} \leq 1 \quad k = 1, 2, \dots, K \end{aligned} \quad (1.30)$$

que é um problema convexo, pois tanto a função objetivo, como as restrições são combinações positivas de funções convexas. Desta forma, um mínimo local é global e isso não pode ser encontrado no caso signomial, o que veremos mais a seguir.

### 1.2.1 - Problema Primal :

Com o intuito de simplificar as expressões do problema dual, adotaremos a seguinte forma para o problema Primal (1.28).



$$\begin{aligned}
& \min && g_0(x) \\
& \text{sujeito a} && \sigma_k (1 - g_k(x)) \geq 0 \quad k = 1, 2, \dots, K \\
& && x_j > 0 \quad j = 1, 2, \dots, N
\end{aligned} \tag{1.31}$$

onde  $\sigma_k$  é uma variável de sinal que vale  $\pm 1$ . Note que (1.31) é mais geral que (1.28), admitindo-se também restrições do tipo  $g_k(x) \geq 1$ .

Para efeito de desenvolvimento teórico, a restrição  $x_j > 0$ , será mantida.

### 1.2.2 - Problema Dual :

Como no caso irrestrito, os pesos também serão obtidos através dos termos da função objetivo,

$$\delta_{oi} = \mu_{oi}(x^0) / g_0(x^0) \quad i = 1, 2, \dots, T_0 \tag{1.32}$$

já os pesos para os termos das restrições serão simplesmente os próprios valores dos termos, isto é :

$$\delta_{ki} = \mu_{ki} = \theta_{ki} \prod_{j=1}^N x_j^{\varphi_{kij}} \quad \begin{cases} k = 1, 2, \dots, K \\ i = 1, 2, \dots, T_k \end{cases} \tag{1.33}$$

onde  $T_k$  é o número de termos da  $k$ -ésima restrição. Seja  $m = \sum_{k=0}^K T_k$  o número total de termos.

Note que, se uma restrição de (1.31) for satisfeita com igualdade, então os termos correspondentes devem somar uma unidade.

Faremos agora uma mudança de variável com o intuito de facilitar a construção do problema dual.

Sejam  $e^{z_j} = x_j$  ( $j=0,1,\dots,N$ ) onde  $x_0 = g_0(x)$ .  
 Tomando o logaritmo natural, o problema original se escreve  
 equivalentemente por :

$$\begin{aligned}
 \min \quad & z_0 \\
 \text{sujeito a} \quad & -z_0 + \sum_{j=1}^N \rho_{0ij} z_j = \ln(\delta_{0i} / \theta_{0i}) \quad i = 1, 2, \dots, T_0 \\
 & \sigma_k \sum_{j=1}^N \rho_{kij} z_j = \sigma_k \ln(\delta_{ki} / \theta_{ki}) \quad k = 1, 2, \dots, K \\
 & \quad \quad \quad i = 1, 2, \dots, T_k \\
 & \sum_{i=1}^{T_0} \delta_{0i} = 1 \\
 & \sigma_k (1 - \sum_{i=1}^{T_k} \delta_{ki}) \geq 0 \\
 & \delta_{ki} > 0 \quad k = 1, 2, \dots, K \text{ e } i = 1, 2, \dots, T_k
 \end{aligned} \tag{1.34}$$

A função Lagrangeana para o problema acima é :

$$\begin{aligned}
 L(z, \delta, \lambda, w) = & z_0 - \lambda_0 (1 - \sum_{i=1}^{T_0} \delta_{0i}) \\
 & - \sum_{i=1}^{T_0} w_{0i} [ \ln(\delta_{0i} / \theta_{0i}) + z_0 - \sum_{j=1}^N \rho_{0ij} z_j ] \\
 & - \sum_{k=1}^K \sum_{i=1}^{T_k} w_{ki} \sigma_k [ \ln(\delta_{ki} / \theta_{ki}) - \sum_{j=1}^N \rho_{kij} z_j ] \\
 & - \sum_{k=1}^K \lambda_k \sigma_k (1 - \sum_{i=1}^{T_k} \delta_{ki})
 \end{aligned} \tag{1.35}$$

O problema dual é formulado por [17] :

$$\begin{aligned}
 \max \quad & \{ \min L(z, \delta, \lambda, w) \} \\
 \lambda \in \mathbb{R}^{K+1} \quad & z \in \mathbb{R}^{N+1} \\
 w \in \mathbb{R}^M \quad & \delta \in \mathbb{R}^M
 \end{aligned} \tag{1.36}$$

com  $\lambda_k \geq 0$ .

Para expressarmos a função dual :

$$V(\lambda, w) = \min_{z, \delta} L(z, \delta, \lambda, w) \quad (1.37)$$

em função das variáveis duais, usaremos o seguinte teorema, que escreve, no ponto de mínimo, parcialmente as variáveis primais em função das variáveis duais :

Teorema 1.2 :

Dados os multiplicadores Lagrangeanos ótimos  $\lambda$  e  $w$  em (1.35), a minimização de (1.37) fornece :

$$(a) \lambda_0 = 1;$$

$$(b) \delta_{oi} = w_{oi} \quad i = 1, 2, \dots, T_0$$

$$(c) \delta_{ki} = w_{ki} / \sum_{i=1}^T w_{ki} \quad \text{se } \lambda_k \neq 0 \quad k = 1, 2, \dots, K$$

Prova :

A minimização em (1.37) vem diretamente do cálculo, fazendo-se  $\nabla_{(z, \delta)} L = 0$ . Para mostrar (a) e (b), fazemos :

$$\begin{aligned} \frac{\partial L}{\partial z_0} &= 1 - \sum_{i=1}^{T_0} w_{oi} = 0 \\ \frac{\partial L}{\partial \delta_{oi}} &= \lambda_0 - \frac{w_{oi}}{\delta_{oi}} = 0 \quad i = 1, 2, \dots, T_0 \end{aligned} \quad (1.38)$$

de onde temos :

$$w_{oi} = \lambda_0 \delta_{oi} \quad i = 1, 2, \dots, T_0 \quad (1.39)$$

somando sobre  $i$ , usando (1.32) segue :

$$1 = \sum_{i=1}^{T_0} w_{oi} = \lambda_0 \sum_{i=1}^{T_0} \delta_{oi} = \lambda_0$$

assim,  $\lambda_0 = 1$  e (b) é obtido substituindo  $\lambda_0 = 1$  em (1.39). A seguir considere a derivada da função Lagrangeana em relação a  $\delta_{ki}$  ( $k \neq 0$ ).

$$\frac{\partial L}{\partial \delta_{ki}} = - \frac{w_{ki} \sigma_k}{\delta_{ki}} + \lambda_k \sigma_k = 0$$

ou

$$w_{ki} = \lambda_k \delta_{ki} \quad (1.40)$$

somando sobre  $i$  obtemos  $\sum_{i=1}^{T_k} w_{ki} = \lambda_k$  desde que :  $\lambda_k (1 - \sum_{i=1}^{T_k} \delta_{ki}) = 0$  e se  $\lambda_k \neq 0$ . Assim, de (1.40) temos :

$$\delta_{ki} = w_{ki} / \lambda_k, \quad \text{se } \lambda_k \neq 0$$

c. q. d.

onde  $w_{ki} \geq 0$ .

Os pesos  $w_{ki}$  são determinados através da derivada da função Lagrangeana em relação a  $z_j$  ( $j \neq 0$ ) :

$$\frac{\partial L}{\partial z_j} = \sum_{k=0}^K \sum_{i=1}^{T_k} w_{ki} \sigma_k \varphi_{kij} = 0 \quad \text{com } \sigma_0 = 1$$

Note que as variáveis são os multiplicadores Lagrangeanos  $w_{ki}$ , e os multiplicadores  $w_{0i} = \delta_{0i}$  estão sujeitos a  $\sum \delta_{0i} = 1$ .

### Teorema 1.3 :

A função objetivo do problema dual associado a (1.31) é

$$v(w) = \prod_{k=0}^K \prod_{i=1}^{T_k} \left( \theta_{ki} w_{ki}^{-1} \sum_{j=1}^{T_k} w_{kj} \right)^{\sigma_k w_{ki}} \quad (1.41)$$

Prova :

Considere a função Lagrangeana (1.35), e usando o teorema 1.2 temos :

$$\begin{aligned} L(z, \delta, \lambda, w) &= \sum_{k=0}^K \sum_{i=1}^{T_k} \sigma_k w_{ki} \ln \left( \theta_{ki} w_{ki}^{-1} \sum_{j=1}^{T_k} w_{kj} \right) \\ &\quad + (z_0 - 1) \left( 1 - \sum_{i=1}^{T_0} w_{0i} \right) \\ &\quad + \sum_{j=1}^N z_j \sum_{k=0}^K \sum_{i=1}^{T_k} \sigma_k \varphi_{kij} w_{ki} - \sum_{k=1}^K \lambda_k \sigma_k \left( 1 - \sum_{i=1}^{T_k} w_{ki} \right) \lambda_k \end{aligned}$$

e aplicando  $\frac{\partial L}{\partial z_j} = 0$ , segue :

$$\begin{aligned} h(w) &= \sum_{k=0}^K \sum_{i=1}^{T_k} \sigma_k w_{ki} \ln \left( \theta_{ki} w_{ki}^{-1} \sum_{j=1}^{T_k} w_{kj} \right) \\ &= \ln \left( \prod_{k=0}^K \prod_{i=1}^{T_k} \theta_{ki} w_{ki}^{-1} \sum_{j=1}^{T_k} w_{kj} \right)^{\sigma_k w_{ki}} \end{aligned}$$

Como a função exponencial é crescente, a maximização de  $h(w)$  não se altera aplicando a função exponencial. Assim o problema dual pode ser formado por

PGD :

$$\max v(w) = \exp [ h(w) ] = \prod_{k=0}^K \prod_{i=1}^{T_k} \left( \theta_{ki} w_{ki}^{-1} \sum_{j=1}^{T_k} w_{kj} \right)^{\sigma_k w_{ki}} \quad (1.42)$$

$$\text{suj. a : } \sum_{i=1}^{T_0} w_{0i} = 1 \quad (\text{normalidade}) \quad (1.43)$$

$$\sum_{k=0}^K \sum_{i=1}^{T_k} \sigma_k \varphi_{kij} w_{ki} = 0 \quad j = 1, 2, \dots, N \quad (\text{ortog.}) \quad (1.44)$$

$$w_{ki} \geq 0 \quad k = 0, 1, \dots, K \quad i = 1, 2, \dots, T_k \quad (\text{não negativ.}) \quad (1.45)$$

onde

$$\lambda_k = \sum_{i=1}^{T_k} w_{ki} \quad (1.46)$$

e  $w_{ki}$  são as variáveis duais.

Dembo [10] descreve algumas tentativas de resolver o PGD. A primeira [13] foi de eliminar (N+1) variáveis básicas (o problema tem N+1 restrições das quais se escrevem N+1 variáveis (chamadas básicas) em função das restantes), criando-se um problema reduzido, Programação Geométrica Dual Reduzida (PGDR). Entretanto, Dembo sugere que seria melhor não fazer esta redução e trabalhar com a função-objetivo separável, que pode ser obtida, explicitando a restrição :

$$\lambda_k = \sum_{i=1}^{T_k} w_{ki}$$

tomando o logaritmo de (1.42).

Entretanto, tanto o problema PGD como os demais equivalentes têm um número de características que não permitem a aplicação direta dos Softwares de Programação Não-Linear para determinar uma solução numérica.

A maior dificuldade é a não-diferenciabilidade da função objetivo, em relação às variáveis duais, nos pontos onde algumas variáveis se anulam. Alguns artifícios foram empregados para contornar a não-diferenciabilidade [10].

a) A primeira idéia foi trabalhar com limites artificiais :  $w_{ki} \geq \epsilon > 0$  ( $\epsilon$  pequeno). Mas surgiram outros

problemas, como :

i) Hessiana mal condicionada nos pontos próximos da solução;

ii) O algoritmo toma um caminho em zig-zag, até concluir que  $w_{ki} = \epsilon$ .

b) Outro caminho foi aproximar a função objetivo (após ter tomado o logaritmo) por uma função quadrática, para os pontos próximos de zero ( $0 \leq w_{ki} \leq \epsilon$ ). Isto é :

$$w_{ki} \log (\theta_{ki} / w_{ki}) \cong \alpha w_{ki}^2 + \beta w_{ki} \quad 0 \leq w_{ki} \leq \epsilon$$

onde

$$\alpha = -1/\epsilon,$$

$$\beta = \log (\theta_{ki} / \epsilon) + 1.$$

A vantagem dessa aproximação é o fato da função objetivo obtida, ser contínua e diferenciável e  $\alpha$  e  $\beta$  são escolhidos de tal forma que tanto os valores das derivadas, como os valores das funções  $w_{ki} \log (\theta_{ki} / w_{ki})$  e  $\alpha w_{ki}^2 + \beta w_{ki}$ , sejam iguais para  $w_{ki} = \epsilon$ . Os valores das duas funções também são iguais para  $w_{ki} = 0$ , porém seus gradientes diferem neste ponto. Quando  $w_{ki}$  tende a zero, o gradiente de  $w_{ki} \log (\theta_{ki} / w_{ki})$  tende a infinito. Já o gradiente de  $\alpha w_{ki}^2 + \beta w_{ki}$  é igual a  $\beta$  em  $w_{ki} = 0$ .

A escolha de  $\epsilon$  é mais fácil agora. Deve ser feito um balanço a fim de se evitar valores muito pequenos ou grandes demais para se contornar novos problemas como :

- Matriz Hessiana mal condicionada, para  $\epsilon$  pequeno,

- O gradiente da aproximação no ponto  $w_{ki} = 0$  é muito diferente do gradiente do objetivo verdadeiro, para  $\epsilon$  grande.

Dembo [10], diz que em vários testes realizados com o método, a escolha de  $\epsilon = 10^{-5}$  parece ser razoável.

### 1.2.3 - Teorema da Dualidade :

Este teorema relaciona o problema primal com o problema Dual [17]. Sejam  $x^*$  e  $w^*$  soluções ótimas primal e dual, respectivamente, então :

$$g_0(x^*) = v(w^*)$$

e

$$w_{ki}^* = \begin{cases} \mu_{ki}(x^*)/g_0(x^*) & i = 1, 2, \dots, T_0 \\ \lambda_k^* \mu_{ki}(x^*) & i = 1, 2, \dots, T_k \\ & k = 1, 2, \dots, K \end{cases} \quad (1.47)$$

onde  $\lambda_k^* = \sum_{i=1}^{T_k} w_{ki}^*$  e  $\mu_{ki}(x)$  é um monômio de  $g_k(x)$ .

A solução primal pode ser obtida de (1.47), tomando-se o logaritmo e obtendo-se um sistema linear de equações em  $x^*$ . Novas dificuldades podem surgir caso o sistema seja indeterminado [13], necessitando de novos artifícios para contornar a dificuldade.

A atração inicial pelo problema dual devido às restrições lineares (mostrado nas literaturas, com forte tendência a métodos duais) desapareceram, devido a estas dificuldades. Métodos que tratam diretamente com o primal, usando o conceito de condensação, tiveram melhor sorte. Neste sentido, ficamos mais motivados a estudar tais métodos.

### 1.3 - Programação Geométrica Generalizada (PGG)



Ao problema (1.29) chamamos de problema de Programação Geométrica Generalizada (ou Signomial) quando pelo menos uma função  $g_k$  for do tipo signomial; isto é, se algum dos termos  $\mu_i$  ( $i = 0, 1, \dots, T$ ) tiver coeficiente negativo. Neste caso, o problema (1.29) pode ser escrito da seguinte forma :

PGG :

$$\begin{aligned} \min \quad & x_0 \\ \text{sujeito a} \quad & p_k(x) - q_k(x) \leq 1 \quad k = 0, 1, \dots, K \quad (1.48) \\ & 0 < \underline{x}_j \leq x_j \leq \bar{x}_j \quad j = 0, 1, \dots, N \end{aligned}$$

onde  $x = (x_0, x_1, \dots, x_N)^T$ . Os monômios negativos estão embutidos em  $q_k(x)$ , apenas colocando o sinal em evidência. Assim sendo,  $p_k(x)$  e  $q_k(x)$  são posinômios que definimos como :

$$p_k(x) = \sum_{i=1}^{T_k} u_{ki} = \sum_{i=1}^{T_k} c_{ki} \prod_{j=1}^N x_j^{a_{kij}} \quad (1.49)$$

$$q_k(x) = \sum_{i=1}^{L_k} v_{ki} = \sum_{i=1}^{L_k} d_{ki} \prod_{j=1}^N x_j^{b_{kij}} \quad (1.50)$$

Os expoentes  $a_{kij}$  e  $b_{kij}$  são números reais e os coeficientes  $c_{ki}$  e  $d_{ki}$  são positivos. Por conveniência, podemos reescrever o problema PGG, considerando a forma equivalente para a  $k$ -ésima restrição :

$$\frac{p_k(x)}{1 + q_k(x)} \leq 1 \quad (1.51)$$

Note-se que  $1 + q_k(x)$  é um posinômio. Assim, o problema pode ser escrito na forma :

PGG :

$$\begin{aligned} \min \quad & x_0 \\ \text{sujeito a} \quad & \frac{p_k(x)}{1 + q_k(x)} \leq 1 \quad k = 0, 1, \dots, K \quad (1.52) \\ & 0 < \underline{x}_j \leq x_j \leq \bar{x}_j \quad j = 0, 1, \dots, N \end{aligned}$$

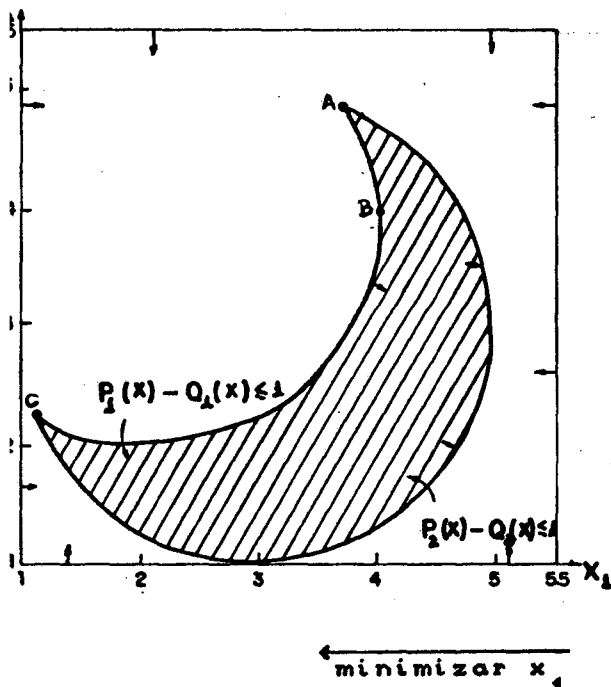
Exemplo 1.4 -

Vejamos agora um exemplo de [2], para ilustrar um problema de Programação Geométrica Generalizada. Considere o seguinte problema :

PGG :

$$\begin{aligned} \min \quad & x_1 \\ \text{sujeito a} \quad & p_1(x) - q_1(x) = x_1/4 + x_2/2 - x_1^2/16 - x_2^2/16 \leq 1 \quad (1.53) \\ & p_2(x) - q_2(x) = x_1^2/(6x_2) + x_2/6 + 7/(3x_2) - x_1/x_2 \leq 1 \end{aligned}$$

o esboço desse problema é mostrado na fig. 1.1.



#### Solução de Kuhn-Tucker

- A (3.823, 4.823) min. Local
- B (4.0, 4.0) Pto. de Infle-  
xão.
- C (1.178, 2.178) min. global

fig. 1.1.- Esboço das restrições do exemplo 1.4.

Este exemplo ilustra bem as situações que podem ocorrer num problema PGG : mínimo local (A), mínimo Global (C) e ponto de inflexão (B).

Nos capítulos seguintes retomaremos este exemplo para ilustrar a convergência de métodos numéricos.

## CAPÍTULO II

### Condensação

#### 2.1 - Condensação de Posinômios

A condensação de um Posinômio consiste em obter um "monômio tangente" em torno de um ponto dado, chamado ponto de condensação; ou seja, obter um monômio que coincide com o posinômio, tanto no valor como no gradiente, no ponto de condensação.

Considere-se um posinômio :

$$g(x) = \sum_{i=1}^T \mu_i(x) = \sum_{i=1}^T \theta_i \prod_{j=1}^N x_j^{p_{ij}} \quad (2.1)$$

*.Desigualdade entre as médias aritméticas-geométricas :*

A conhecida desigualdade, relacionando as médias aritméticas-geométricas, vista no capítulo anterior :

$$\sum_{i=1}^T \delta_i w_i \geq \prod_{i=1}^T (w_i)^{\delta_i}$$

onde  $\sum_{i=1}^T \delta_i = 1$ ,  $w_i, \delta_i \geq 0$ , é usada para justificar alguns métodos de programação geométrica.

Para nosso estudo, uma forma mais conveniente pode ser obtida definindo-se :

$$\mu_i = \delta_i w_i$$

então,

$$\sum_{i=1}^T \mu_i \geq \prod_{i=1}^T \left( \frac{\mu_i}{\delta_i} \right)^{\delta_i}$$

Assim,

$$g(x) = \sum_{i=1}^T \mu_i(x) \geq \prod_{i=1}^T \left( \frac{\mu_i}{\delta_i} \right)^{\delta_i} = \hat{c} \prod_{j=1}^N x_j^{\hat{a}_j} = \hat{g}(x) \quad (2.2)$$

onde

$$\hat{c} = \prod_{i=1}^T \left( \frac{\theta_i}{\delta_i} \right)^{\delta_i} \quad (2.3)$$

e

$$\hat{a}_j = \sum_{i=1}^T \delta_i \rho_{ij} \quad (2.4)$$

Como podemos ver, o último termo em (2.2) é um monômio, a saber, o posinômio  $g(x)$  passa a ser limitado superiormente por um monômio para todo  $x > 0$ .

O elemento  $\delta_i$  será usualmente definido como a parcela com que cada termo do posinômio contribui com a função, ou seja, dado um ponto  $\hat{x} > 0$ , então :

$$\delta_i = \delta_i(\hat{x}) = \frac{\mu_i(\hat{x})}{g(\hat{x})} \quad i = 1, 2, \dots, T \quad (2.5)$$

Observe que  $\delta_i > 0$  e  $\sum_{i=1}^T \delta_i = 1$ . Esse monômio :

$$\hat{g}(x) = \hat{c} \prod_{j=1}^N x_j^{\hat{a}_j} \quad (2.6)$$

limitante de  $g(x)$  é denominado "condensação" de  $g(x)$  no ponto  $\hat{x}$ .

Resumindo,  $g(x)$  calculado de (2.3) a (2.6) satisfaz :

$$g(x) \geq \hat{g}(x) \quad (2.7)$$

para qualquer  $x > 0$  e  $\hat{x} > 0$ .

Essa condensação satisfaz também as seguintes propriedades :

i) Substituindo (2.5) em

$$\hat{g}(x) = \prod_{i=1}^T \left( \frac{\mu_i(x)}{\delta_i} \right)^{\delta_i}$$

temos :

$$\hat{g}(x) = \prod_{i=1}^T \left( \frac{\mu_i(x)}{\mu_i(\hat{x})} g(\hat{x}) \right)^{\delta_i}$$

Para  $x = \hat{x}$  obtemos :

$$\hat{g}(x) = \prod_{i=1}^T (g(\hat{x}))^{\delta_i} = (g(\hat{x}))^{\sum_{i=1}^T \delta_i} = g(\hat{x})$$

portanto

$$\hat{g}(x) = g(\hat{x}) \quad \text{para } x = \hat{x} \quad (2.8)$$

ii) Derivando  $g(x)$  e  $\hat{g}(x)$  em relação a um certo  $x_k$  obteremos :

$$\frac{\partial g(x)}{\partial x_k} = \frac{\sum_{i=1}^T \theta_i \rho_{ik} \prod_{j=1}^N x_j^{\rho_{ij}}}{x_k} = \frac{\sum_{i=1}^T \rho_{ik} \mu_i(x)}{x_k} \quad (2.9)$$

fazendo-se  $x = \hat{x}$ , de (2.5) e (2.9) segue que :

$$\frac{\partial g(\hat{x})}{\partial x_k} = \frac{\sum_{i=1}^T \rho_{ik} \mu_i(\hat{x})}{\hat{x}_k} = \frac{g(\hat{x}) \sum_{i=1}^T \rho_{ik} \delta_i}{\hat{x}_k}$$

e de (2.4) :

$$\frac{\partial g(\hat{x})}{\partial x_k} = \frac{g(\hat{x}) \hat{a}_k}{\hat{x}_k}$$

Por outro lado, derivando  $\hat{g}(x)$  em relação a  $x_k$  temos :

$$\frac{\partial \hat{g}(x)}{\partial x_k} = \frac{\hat{a}_k \hat{c} \prod_{j=1}^N x_j^{\hat{a}_j}}{x_k} = \frac{\hat{a}_k \hat{g}(x)}{x_k} \quad (2.10)$$

De (2.8) segue que :

$$\frac{\partial \hat{g}(\hat{x})}{\partial x_k} = \frac{\hat{a}_k \hat{g}(\hat{x})}{\hat{x}_k}$$

logo,

$$\nabla g(\hat{x}) = \nabla \hat{g}(\hat{x}) \quad (2.11)$$

Ver figura a seguir :

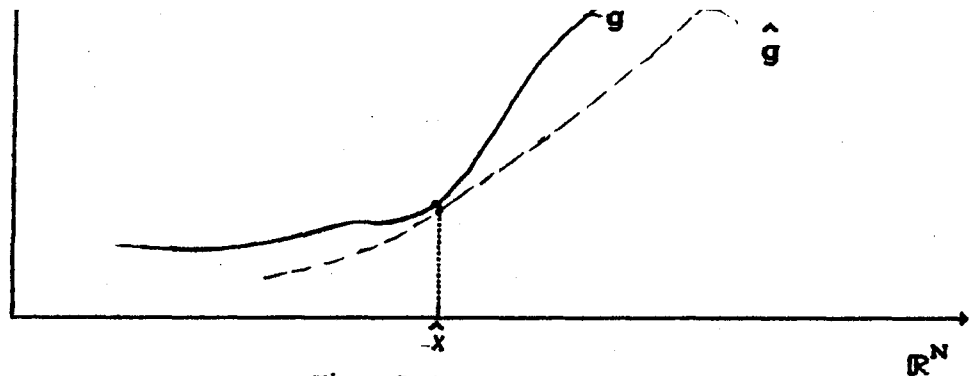


Fig. 2.1

## 2.2 - Problemas Condensados :

### 2.2.1 - Problemas Posinomiais Condensados

Vamos considerar, inicialmente, um problema de Programação Geométrica Posinomial.

PGP :

$$\begin{aligned}
 \min \quad & x_0 \\
 \text{suj. a} \quad & g_k(x) \leq 1 \quad k = 0, 1, \dots, K \\
 & 0 < \underline{x}_j \leq x_j \leq \bar{x}_j \quad j = 0, 1, \dots, N
 \end{aligned} \tag{2.12}$$

onde  $g_k(x)$  é uma função posinomial para  $(k = 0, 1, \dots, K)$ .

Dado um ponto  $\hat{x} > 0$  qualquer, condensamos cada restrição  $g_k(x)$  ( $k=0, 1, \dots, K$ ) neste ponto, conforme as equações apresentadas de (2.3) a (2.6), obtemos :

PGP( $\hat{x}$ ) :

$$\begin{aligned}
 \min \quad & x_0 \\
 \text{suj. a} \quad & \hat{g}_k(x) \leq 1 \quad k = 0, 1, \dots, K \\
 & 0 < \underline{x}_j \leq x_j \leq \bar{x}_j \quad j = 0, 1, \dots, N
 \end{aligned} \tag{2.13}$$



onde  $\hat{g}_k(x)$  ( $k = 0, 1, \dots, K$ ) são restrições do tipo monomiais.

Tomando a função logaritmo natural, podemos transformar equivalentemente  $\text{PGP}(\hat{x})$  em um programa linear :

$\text{PL}(\hat{x})$  :

$$\begin{aligned} \min \quad & z_0 \\ \text{suj. a} \quad & \sum_{j=0}^N \hat{a}_{kj} z_j \leq -\ln \hat{c}_k \quad k = 0, 1, \dots, K \quad (2.14) \\ & \underline{z}_j \leq z_j \leq \bar{z}_j \quad j = 0, 1, \dots, N \end{aligned}$$

onde

$$z_j = \ln x_j \quad j = 0, 1, \dots, N$$

e lembrando que  $\hat{g}_k(x) = \hat{c}_k \prod_{j=1}^N x_j^{\hat{a}_{kj}}$  em (2.13).

Quando condensamos um posinômio em um ponto  $\hat{x} > 0$  qualquer, na verdade estamos aumentando a região de factibilidade em relação à região de factibilidade do PGP, assim, temos uma propriedade muito importante : é que a região de factibilidade do problema (2.12) está contida na região de factibilidade do problema (2.13), isto é, dado um ponto  $x^F$  factível para PGP, ou seja :

$$g_k(x^F) \leq 1 \quad k = 0, 1, \dots, K$$

de (2.7) segue :

$$\hat{g}_k(x^F) \leq g_k(x^F) \leq 1 \quad k = 0, 1, \dots, K \quad (2.15)$$

De onde  $x^F$  é factível para  $\text{PGP}(\hat{x})$ ; mas nem todo  $x^F$  factível ao  $\text{PGP}(\hat{x})$  será factível ao PGP. A figura 2.2, ilustra

essa propriedade :

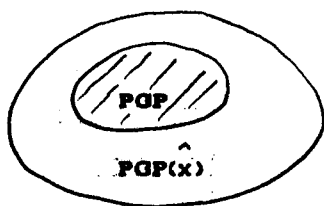


fig. 2.2. : A região de factibilidade do PGP está contida na região de factibilidade do PGP(x-hat).

Desta forma, se  $x^*$  resolve PGP(x-hat), e se for factível em PGP, então será ótimo também ao PGP. Devido à propriedade de programas posinomiais serem equivalentes a programas convexos, o ótimo será global.

No capítulo seguinte, veremos como gerar uma sequência de soluções, usando (2.14), que convirja para a solução de (2.12).

### 2.2.2 - Problemas Signomiais Condensados (PGG)

Consideramos, agora, um problema de Programação Geométrica Generalizada (PGG), já partindo da forma equivalente dada em (1.52) :

PGG :

$$\begin{aligned} \min \quad & x_0 \\ \text{suja} \quad & \frac{p_k(x)}{1 + q_k(x)} \leq 1 \quad k = 0, 1, \dots, K \quad (2.16) \\ & 0 < \underline{x}_j \leq x_j \leq \bar{x}_j \quad j = 0, 1, \dots, N \end{aligned}$$

onde  $p_k(x)$  e  $1 + q_k(x)$  são posinômios já vistos anteriormente.

Em princípio, condensamos o posinômio  $1 + q_k(x)$ , em um ponto  $\hat{x} > 0$  escolhido inicialmente (factível), e obtemos um monômio condensado que denominamos de  $\hat{q}_k(x)$ , tornando o problema na forma :

$PGG(\hat{x}) :$

$$\begin{aligned} \min \quad & x_0 \\ \text{sujeito a} \quad & \frac{p_k(x)}{\hat{q}_k(x)} \leq 1 \quad k = 0, 1, \dots, K \quad (2.17) \\ & 0 < \underline{x}_j \leq x_j \leq \bar{x}_j \quad j = 0, 1, \dots, N \end{aligned}$$

O problema  $PGG(\hat{x})$  apresenta algumas propriedades importantes, como :

i) O  $PGG(\hat{x})$  é um problema do tipo PGP, visto que as restrições  $p_k(x)/\hat{q}_k(x)$  resultam em restrições posinomiais (como  $g_k(x)$ ). Isso é fácil de ver, pois um posinômio dividido por um monômio qualquer resultará em um posinômio.

ii) Ao contrário do que ocorreu na condensação feita no PGP, qualquer ponto  $x^F$ , que satisfaça as restrições do  $PGG(\hat{x})$ , ou seja :

$$\frac{p_k(x^F)}{\hat{q}_k(x^F)} \leq 1 \quad k = 0, 1, \dots, K$$

de (2.7) :

$$1 + q_k(x^F) \geq \hat{q}_k(x^F)$$

segue que :

$$\frac{p_k(x^F)}{1 + q_k(x^F)} \leq \frac{p_k(x^F)}{\hat{q}_k(x^F)} \leq 1 \quad k = 0, 1, \dots, K \quad (2.18)$$

a desigualdade (2.18) implica que o conjunto de soluções factíveis de  $PGG(\hat{x})$  está contido no conjunto das soluções factíveis do  $PGG$  e, portanto, a solução ótima no  $PGG(\hat{x})$  será um ponto factível para o  $PGG$ , mas não necessariamente será o ótimo final. A figura 2.3. ilustra essa propriedade.

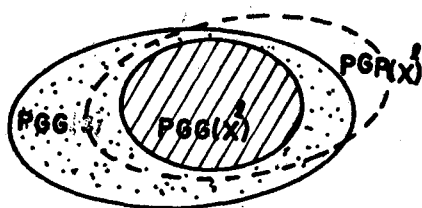


Fig. 2.3

O problema  $PGG(\hat{x})$ , que é agora um problema de Programação Geométrica Posinomial, pode ser novamente condensado, como na secção 2.1. Utilizaremos essa estratégia no desenvolvimento de métodos, que veremos no capítulo III.

Com as propriedades i) e ii) temos a possibilidade de construir os métodos para o  $PGG$ , recorrendo à solução do  $PGP$ .

#### Exemplo 2.1 -

Reconsideremos o exemplo 1.4 do capítulo anterior, para ilustrar os problemas condensados. Dado o seguinte  $PGG$  :

PGG :

$$\min \quad x_1$$

$$\text{sujeito a} \quad x_1/4 + x_2/2 - x_1^2/16 - x_2^2/16 \leq 1$$

(2.19)

$$x_1^2/(6x_2) + x_2/6 + 7/(3x_2) - x_1/x_2 \leq 1$$

$$1 \leq x_j \leq 5.5 \quad j = 1, 2$$

Note que a função objetivo é linear e o problema está no formato padrão de PGG . O ponto factível assumido foi :

$$\hat{x}_1 = 4.0 \quad \text{e} \quad \hat{x}_2 = 4.5$$

Inicialmente descrevemos as restrições (2.19) na forma (2.16);

$$\frac{p_1(x)}{1 + q_1(x)} = \frac{x_1/4 + x_2/2}{1 + x_1^2/16 + x_2^2/16} \leq 1 \quad (2.20)$$

$$\frac{p_2(x)}{1 + q_2(x)} = \frac{x_1^2/(6x_2) + x_2/6 + 7/(3x_2)}{1 + x_1/x_2} \leq 1$$

Considere agora, a condensação dos posinômios  $1 + q_1(x)$  e  $1 + q_2(x)$  no ponto  $\hat{x} = (\hat{x}_1, \hat{x}_2)$

$$(1 + \hat{q}_1)(x) = \left( \frac{1}{\delta_{11}} \right)^{\delta_{11}} \left( \frac{x_1^2/16}{\delta_{12}} \right)^{\delta_{12}} \left( \frac{x_2^2/16}{\delta_{13}} \right)^{\delta_{13}} \quad (2.21)$$

$$(1 + \hat{q}_2)(x) = \left( \frac{1}{\delta_{21}} \right)^{\delta_{21}} \left( \frac{x_1/x_2}{\delta_{22}} \right)^{\delta_{22}} \quad (2.22)$$

onde os pesos  $\delta_{ki}$  são calculados em  $\hat{x}$  conforme (2.5). Por exemplo :

$$\delta_{11} = \frac{1}{1+q_1(\hat{x})} = \frac{1}{3.26} = 0.306$$

$$\delta_{12} = \frac{x_1^2/16}{1+q_2(\hat{x})} = \frac{1}{3.26} = 0.306$$
(2.23)

substituindo  $\hat{x} = (4.0, 4.5)$  temos :

$$(1+\hat{q}_1)(x) = 0.435 x_1^{0.612} x_2^{0.775}$$

$$(1+\hat{q}_2)(x) = 1.997 x_1^{0.471} x_2^{-0.471}$$
(2.24)

Assim  $PGG(\hat{x})$  será o seguinte problema :

$$\begin{aligned} \min \quad & x_1 \\ \text{suj. a} \quad & g_1(x) = 0.574 x_1^{0.388} x_2^{-0.775} + 1.148 x_1^{-0.612} x_2^{0.225} \leq 1 \\ & g_2(x) = 0.083 x_1^{1.529} x_2^{-0.529} + 0.083 x_1^{-0.471} x_2^{1.471} + \\ & \quad + 1.169 x_1^{-0.471} x_2^{-0.529} \leq 1 \\ & 1.0 \leq x_1 \leq 5.5 \\ & 1.0 \leq x_2 \leq 5.5 \end{aligned}$$
(2.25)

Observe que este é um problema de Programação Geométrica Posinomial, o qual pode ser condensado conforme a secção 2.1.

Condensamos as restrições (2.25) no ponto  $\hat{x}$ , e obtemos:

$$\hat{g}_1(x) = 1.720 x_1^{-0.29786} x_2^{-0.083} \leq 1$$

$$\hat{g}_2(x) = 0.516 x_1^{0.166} x_2^{0.277} \leq 1$$
(2.26)

usando a transformação dada em (2.14), alcançamos o programa linear :

PL(x<sub>0</sub>) :

$$\begin{aligned} \min \quad & z_1 \\ \text{sujeito a} \quad & h_1(z) = 0.305 z_1 - 0.082 z_2 \leq -0.542 \\ & h_2(z) = 0.166 z_1 + 0.277 z_2 \leq 0.661 \\ & 0 \leq z_j \leq \ln 5.5 \quad j = 1, 2 \end{aligned} \quad (2.27)$$

A solução para o programa linear PL(x<sub>0</sub>) é z<sub>1</sub><sup>1</sup> = 1.350; z<sub>2</sub><sup>1</sup> = 1.579 e assim de (2.14) temos que x<sub>1</sub><sup>1</sup> = 3.858 e x<sub>2</sub><sup>1</sup> = 4.852.

Observe que esta solução não satisfaz a segunda restrição do PGG(x̂) :

$$g_2(x^1) > 1. + \epsilon$$

Se a solução ótima do PL (2.27) for factível ao (2.25) então esta também será ótima para o problema (2.25), conforme seção 2.1. Caso contrário (no ex. 2.1, vemos que o ponto x<sup>1</sup> violou a restrição g<sub>2</sub>(x) ≤ 1), a solução obtida é usada para condensar as restrições violadas e então formar um novo PL, e assim sucessivamente. No capítulo III, formalizaremos um algoritmo que usa esta estratégia e estudaremos sua convergência.

Note que a solução do PL pode ser factível ao PGG e infactível ao PGG(x̂) (Veja figura 2.3). Este fato é explorado em [2] para acelerar o algoritmo.

## CAPÍTULO III

### Métodos

#### 3.1 - Introdução

Dembo [10] descreve, que desde o início, PG foi desacreditada pelos pesquisadores de programação matemática que, a consideravam como uma curiosidade altamente especializada (um caso particular) e também como uma área sem interesse de pesquisa. Uma das razões para isso foi o desenvolvimento histórico dos procedimentos computacionais e a teoria da dualidade em PG que, na maior parte, não seguia o estado da arte aceito em PNL. A outra foi o desconhecimento, por parte dos programadores matemáticos, sobre a enorme aplicabilidade da PG em problemas da engenharia. No entanto, devido a essa aplicabilidade, a comunidade de engenharia aceitou-a entusiasticamente.

Foram então, os engenheiros que mais trabalharam no desenvolvimento dos softwares de PG o que, num certo grau, piorou a imagem nos círculos de programação matemática, por negligenciarem o desenvolvimento dos softwares da PNL. Como exemplo disto, Dembo comenta que os programas para o problema dual (que é de programação não-linear, com restrições lineares) não possuem qualquer implementação das técnicas mais recentes, numericamente estáveis, como as discutidas em [16]. Inclusive, a decomposição de matrizes é completamente desconhecida nos meios de P.G.

Por outro lado os pesquisadores de PG não se influenciaram com o folclore da programação matemática e fizeram implementações e testes do algoritmo de cortes de Kelley para



programas convexos.

O método de Kelley era visto como, na melhor das hipóteses, geometricamente convergente, numericamente instável e não era recomendado para problemas convexos. Mesmo existindo argumentação teórica contrária definitiva, não há evidências computacionais para mostrar que o algoritmo de Kelley tem de fato, um desempenho pior ou melhor do que os outros algoritmos para programação convexa.

Rijckaert e Martens [22] confirmavam que um dos pacotes mais eficientes (em termos de tempo de CPU) e robustos atualmente disponível para PG é uma simples aplicação do algoritmo de Kelley. Esse algoritmo tem obtido excelentes resultados, e já existem, pelo menos, quatro pacotes conhecidos e publicados [10,12].

### 3.2 - Métodos de Cortes

Vários métodos foram propostos para resolver os problemas de programação geométrica. Beck e Ecker [6] sugerem um método com base na solução numérica da programação geométrica dual. Dinkel e outros [12], comentam que recentemente alguns pesquisadores de PG desenvolveram métodos com base na resolução da PG primal.

Geralmente a estratégia dos métodos de cortes consiste em determinar um conjunto que envolva a região de factibilidade do problema original, que seja mais fácil de se trabalhar. A partir desse conjunto, podemos obter uma solução que forneça um limite inferior (problema de minimização) à função objetivo do problema original (já que o elenco de soluções possíveis agora será maior).

Se a solução do problema for factível ao problema

original, então ela será ótima. Caso contrário, devemos determinar um novo conjunto envolvente contido no anterior, que exclua a solução anterior. Repete-se o processo, sempre eliminando as soluções obtidas anteriormente, até encontrarmos uma solução ótima.

Os métodos mais conhecidos utilizam poliedros, determinados por restrições lineares para os conjuntos envolventes e são denominados métodos de plano de cortes.

Esses métodos são aplicados a problemas do tipo:

$$\begin{aligned} \min \quad & c^T x \\ & x \in S \end{aligned} \tag{3.1}$$

onde  $S = \{x \in \mathbb{R}^N / g_k(x) \leq 0, k = 1, 2, \dots, K, g_k \text{ são funções convexas}\}$ .

Podemos descrever um algoritmo geral, para esses métodos, como:

**Passo 0 : Inicialização:**

Determine um poliedro envolvente  $P_0$ , faça  $l=0$ .

**Passo 1 :**

Seja  $x^l$  a solução do Programa Linear (PL)

$$\begin{aligned} \min \quad & c^T x \\ & x \in P_l \end{aligned} \tag{3.2}$$

Se  $x^l \in S$  então  $x^l$  resolve (3.1), e é a solução ótima. Fim. Caso contrário, vá para o passo 2.

**Passo 2 :**

Determine  $a_l, b_l$  tal que :

$$i) a_l^T x \leq b_l \quad \forall x \in S.$$

$$ii) a_l^T x^l > b_l$$

onde  $( a_l \in \mathbb{R}^N, b_l \in \mathbb{R} )$ .

Faça,

$$P_{l+1} = P_l \cap \{ x / a_l^T x \leq b_l \},$$

$$l \longleftarrow l + 1$$

Retorne ao passo 1.

Os algoritmos diferem basicamente nos cortes a serem usados  $(a_l, b_l)$ , e quanto mais profundo for o corte, melhor será a convergência do método [18].

O algoritmo de planos de cortes de Kelley [12], utiliza no passo 2, o hiperplano :

$$g_i(x^l) + \nabla g_i(x^l) (x - x^l) \leq 0 \quad (3.3)$$

onde  $i$  representa o índice de uma restrição violada em  $x^l$ . Podemos ter várias estratégias de inclusão da restrição (3.3), por exemplo :

- a) Apenas a restrição mais violada;
- b) Todas restrições violadas.

(naturalmente vários cortes podem ser incluídos).

Uma outra idéia para conseguir cortes "mais profundos" é tentar determinar um hiperplano suporte [18], pagando o preço de uma busca unidimensional.

Dividimos o passo 2 em duas etapas :

- a) Determine  $\hat{x}^l$  na fronteira de  $S$  como uma combinação convexa entre  $x^l$  ( obtido no passo 1 ) e um ponto factível (conhecido a priori). (Isto corresponde a uma busca

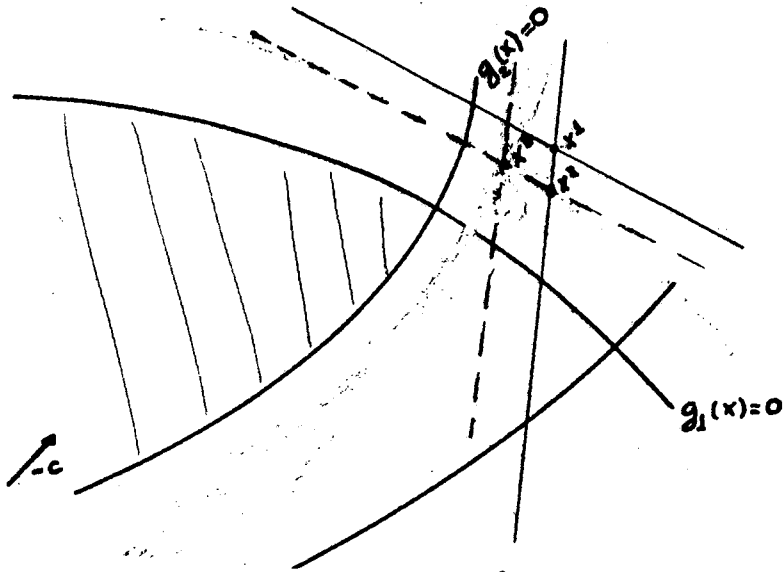
unidimensional).

b) Defina o novo corte por :

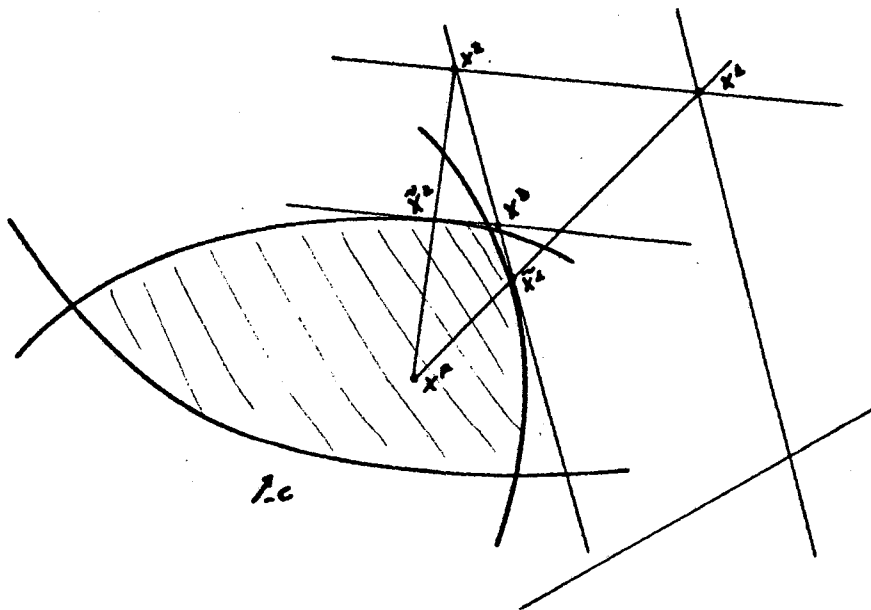
$$g_i(\hat{x}^k) + \nabla g_i(\hat{x}^k) (x - \hat{x}^k) \leq 0 \quad (3.4)$$

onde  $i$  é um índice tal que  $g_i(\hat{x}^k) = 0$ .

Podemos ilustrar graficamente estes métodos :



(a) Cortes de Kelley



(b) Hiperplano Suporte.

Fig. 3.1

A convergência destes métodos é estabelecida pelo seguinte teorema [18] :

### Teorema 3.1 :

Suponha que  $g_k(x)$   $k = 1, 2, \dots, K$  sejam funções convexas, continuamente diferenciáveis. Então qualquer ponto limite da sequência  $\{x^l\}$  das soluções geradas pelos algoritmos de plano de cortes é solução de (3.1).

### 3.3 - Um Método de Cortes para Programação Geométrica Posinomial

Nesta seção adotaremos a seguinte forma para um PGP :

PGP :

$$\begin{aligned} \min \quad & x_0 \\ \text{sujeito a} \quad & g_k(x) \leq 1 \quad k = 0, 1, \dots, K \\ & 0 < \underline{x}_j \leq x_j \leq \bar{x}_j \quad j = 0, 1, \dots, N \end{aligned} \quad (3.5)$$

onde  $g_k(x)$  são posinômios. O conjunto de soluções factíveis denotamos por  $S$ .

A construção do conjunto envolvente e dos cortes é baseada na condensação de posinômios (Cap. II - 2.2) :

$$g_k(x) = \sum_{i=1}^{T_k} \theta_{ki} \prod_{j=1}^N x_j^{p_{kij}} \geq \hat{g}_k(x) = \hat{c}_k \prod_{j=1}^N x_j^{\hat{a}_{kj}} \quad (3.6)$$

onde  $\hat{c}_k$  e  $\hat{a}_{kj}$  são dados por (2.3) e (2.4) respectivamente.

Assim, podemos escolher  $\hat{x} > 0$  qualquer, e construirmos  $P^0$  :

$$P^0 = \{ x / \hat{g}_k(x) \leq 1, k = 0, 1, \dots, K \text{ e } \underline{x}_j \leq x_j \leq \bar{x}_j \quad j=0, 1, \dots, N \}.$$

onde  $\hat{g}_k(x)$  é a condensação de  $g_k(x)$  em  $\hat{x}$ . Das propriedades estudadas no capítulo anterior, segue que  $P^0 \supseteq S$ .

Embora o problema condensado em  $\hat{x}$  :

PC(0) :

$$\begin{aligned} \min \quad & x_0 \\ & x \in P^0 \end{aligned}$$

seja não-linear, podemos transformá-lo num problema linear, mediante a seguinte mudança de variáveis :

$$z_j = \ln x_j \quad (3.7)$$

como já foi visto em (2.14), PC(0) é então equivalente ao problema de programação linear :

PL(0) :

$$\begin{aligned} \min \quad & z_0 \\ \text{sujeito a} \quad & \sum_{j=0}^N \hat{a}_{kj} z_j \leq -\ln \hat{c}_k \quad k = 0, 1, \dots, K \\ & \underline{z}_j \leq z_j \leq \bar{z}_j \quad j = 0, 1, \dots, N \end{aligned} \quad (3.8)$$

onde  $\hat{c}_k$  e  $\hat{a}_{kj}$  são obtidos por (2.3) e (2.4) e

$$\underline{z}_j = \ln \underline{x}_j, \quad \bar{z}_j = \ln \bar{x}_j$$

o qual pode ser resolvido eficientemente por métodos de programação linear.

Seja  $x^0$  uma solução de PC(0) (o que pode ser obtido fazendo  $x_j^0 = e^{z_j^0}$ ,  $j = 0, 1, \dots, N$ , onde  $z^0$  resolve PL(0)).

Se  $x^0 \in S$ , então  $x^0$  resolve (3.5), uma vez que  $x^0$  minimiza  $x_0$  sobre um conjunto mais amplo de soluções. Caso  $x^0 \notin S$ , digamos

$$g_r(x^0) > 1 + \varepsilon \quad (3.9)$$

com  $\varepsilon$  positivo e pequeno. Acrescentamos à PC(0) a seguinte restrição :

$$g_r^0(x) \leq 1 \quad (3.10)$$

onde  $g_r^0$  é a condensação de  $g_r$  em  $x^0$ . O índice  $r$  em (3.9) é geralmente tomado por :

$$g_r(x^0) = \max_k \{ g_k(x^0) > 1; k = 0, 1, \dots, K \} \quad (3.11)$$

ou seja,  $r$  é a restrição mais violada. Chamamos de PC(1) ao novo problema obtido pela inclusão da restrição (3.10).

De (2.8) segue que :

$$\overset{0}{g}_k(x^0) = g_k(x^0) > 1$$

conforme foi mostrado no capítulo anterior. Assim,  $x^0$  não satisfaz (3.10) e portanto é infactível para PC(1). Isto é, a restrição (3.10) "corta"  $x^0$  do novo conjunto envolvente.

Agora, resolvemos PC(1), obtemos  $x^1$ , e repetimos o mesmo procedimento percorrido com  $x^0$ . Geramos assim, a sequência  $x^0, x^1, x^2, \dots$ , cuja convergência veremos com maior detalhe após a seção seguinte.

Alguns elementos sobre a resolução de PL(1) :

Escrevemos PL(i) na forma matricial :

$$\begin{aligned} \min \quad & c^T z \\ \text{suj. a} \quad & A^{(i)T} z \leq b^{(i)} \\ & \underline{z} \leq z \leq \bar{z} \end{aligned} \quad (3.12)$$

com  $A^{(i)T} \in R^{M \times N}$ . A linha  $l$  de  $A^{(i)T}$  é denotada por  $a_l^{(i)T}$ .

O problema dual de (3.12) pode ser escrito na forma :

$$\begin{aligned} \max \quad & b^{(i)T} u + \sum_{i=0}^N f_i(v_i) \\ \text{suj. a} \quad & A^{(i)} u + v = c \\ & u \leq 0 \end{aligned} \quad (3.13)$$

onde

$$f_i(v_i) = \begin{cases} \bar{z}_i v_i & \text{se } v_i \leq 0 \\ \underline{z}_i v_i & \text{se } v_i \geq 0 \end{cases}$$

A função objetivo de (3.13) a ser maximizada é  $\hat{c}$ ncava linear por partes e o ponto crítico de  $f_i$  (onde muda a inclinação) é zero. Um método do tipo primal-simplex linear por partes, pode ser aplicado a (3.13) sem maiores dificuldades (Melhores detalhes sobre o algoritmo quando existem limites superiores e inferiores, inclusive nas restrições, podem ser obtidos em [1,4]).

O problema (3.13) é resolvido e o vetor multiplicador  $z^{(i)}$  (variáveis duais de (3.13)) é a solução de (3.12).

Com relação a solução inicial de PL(i) notamos o seguinte :

a) Para  $i = 0$ , fazemos  $u = 0$  (variáveis não-básicas),  $v = c$  (variáveis básicas), e o vetor multiplicador (que é a



solução primal infactível até a otimalidade de (3.13) ser obtida), associado à base  $B = I$  é :

$$\begin{aligned} z_i &= \bar{z}_i & \text{se} & & v_i = c_i < 0 \\ z_i &= \underline{z}_i & \text{se} & & v_i = c_i \geq 0 \end{aligned}$$

b) Para  $i > 0$ , a solução dual de  $PL(i-1)$  é factível para (3.13) (com  $u_M = 0$ ), pois  $a_j^{(i)} = a_j^{(i-1)}$   $j = 0, 1, \dots, M-1$ , porém não é ótima, uma vez que :

$$a_M^{(i)T} z^{(i-1)} > b_M^{(i)} \quad (3.14)$$

onde  $a_M^{(i)}$  é a  $M$ -ésima coluna de  $A^{(i)}$ , que foi incluída após a resolução de  $PL(i-1)$ ,  $z^{(i-1)}$  é a solução de  $PL(i-1)$ , e  $b_M^{(i)}$  o termo independente da restrição adicionada.

A desigualdade em (3.14) vem do fato de que  $z^{(i-1)}$  não satisfaz a restrição acrescentada à  $PL(i-1)$ . Assim sendo, o custo relativo, associado à base ótima do  $PL(i-1)$ , que fornece  $z^{(i-1)}$  é negativo. Como  $u_M \leq 0$ , fazemos então  $u_M$  negativo (entrar na base), aumentando assim, a função objetivo dual.

Desta forma o problema da fase I (que ocupa boa parte das iterações na resolução de um programa linear) é sempre eliminado, e a solução do problema  $PL(i-1)$  pode ser facilmente aproveitada para  $PL(i)$ , sendo um bom ponto de partida.

#### .Critérios de Parada :

À medida em que novas restrições (cortes) são introduzidas, temos uma representação cada vez melhor do problema

original, pois soluções antes infactíveis à esse problema são então eliminadas (em especial a solução ótima do problema condensado anterior). Com isto a sequência gerada tende à factibilidade devido ao teorema 3.1 e a relação entre condensação e plano de corte de Kelley (veja secção 3.4). No instante em que tivermos uma solução aceitável interrompemos o processo; ou seja, para um  $\epsilon$  positivo e pequeno, escolhido a priori, paramos quando

$$g_k(x^l) \leq 1 + \epsilon \quad k = 0, 1, \dots, K$$

e adotamos  $x^l$  como a solução de PCCD.

**Algoritmo :**

Aqui não estaremos considerando a escolha da restrição violada a ser condensada. Deixaremos esses detalhes para o estudo computacional (Capítulo V).

**Passo 0 : Inicialização :**

Escolha um ponto inicial  $x^0 > 0$  e condense todas restrições  $g_k(x)$  no ponto  $x^0$ , para  $k = 0, 1, \dots, K$  conforme (3.6). Faça  $l = 0$  (aqui forneceremos o valor para  $\epsilon$ ).

**Passo 1 : Solução do Problema Condensado :**

Resolva :

PCCD :

$$\min \quad x_0 \\ x \in P^l$$

onde  $P^l = \{x / g_k^l(x) \leq 1, k = 0, 1, \dots, K \text{ e } \underline{x} \leq x \leq \bar{x}\}$

(Para resolver PCCD faça a transformação de PCCD para PLCD utilizando a mudança de variáveis dada em (3.7),

obtendo assim (3.8). O método dual-simplex é recomendado).

Seja  $x^{\ell+1}$  uma solução de PCCD.

**Passo 2 : Teste de Otimalidade :**

Se  $\{ g_k(x^{\ell+1}) \leq 1 + \varepsilon \quad k = 0, 1, \dots, K \}$

então

$x^{\ell+1}$  é ótimo para PGP (3.5). Fim.

senão

escolha uma restrição  $r / g_r(x^{\ell+1}) > 1 + \varepsilon$ .

Condense esta restrição em  $x^{\ell+1}$  e obtenha o monômio condensado  $g_r^{\ell+1}(x) \leq 1$ .

Redefina  $P^{\ell+1} = P^\ell \cap \{g_r^{\ell+1}(x) \leq 1\}$ .

Faça  $\ell \leftarrow \ell+1$  e repita o passo 1.

### 3.4 - Relação entre Condensação e Plano de Corte

O algoritmo de Kelley lineariza um problema convexo não-linear, tomando-se o plano tangente (desenvolvimento de Taylor 1ª ordem) das restrições (a função objetivo é considerada linear); enquanto que os algoritmos de condensação lineariza um PGP, tomando-se o logaritmo do monômio condensado (desigualdade aritmética-geométrica). Mostraremos, a seguir, que as estratégias de linearizar usando o plano tangente e a condensação são equivalentes.

1) Inicialmente expressaremos a restrição linear dada pelo corte de Kelley.

Considere uma restrição  $f(x) \leq 0$ .

O corte de Kelley é definido por :

$$f(\hat{x}) + \nabla f(\hat{x}) (x - \hat{x}) \leq 0 \quad (3.15)$$

Considerando uma restrição violada do problema principal

com a mudança de variável  $x_j = e^{z_j}$ , temos :

$$g(x) = h(z) = \sum_{i=1}^T \theta_i e^{j \sum_{j=0}^N p_{ij} z_j} = \sum_{i=1}^T v_i(z) \leq 1 \quad (3.16)$$

onde  $v_i(z) = \theta_i e^{j \sum_{j=0}^N p_{ij} z_j}$ , ou equivalentemente,

$$\ln [h(z)] \leq 0 \quad (3.17)$$

Aplicando (3.15) em (3.17) segue :

$$\ln[h(\hat{z})] + \nabla \{\ln[h(\hat{z})]\} (z - \hat{z}) \leq 0 \quad (3.18)$$

onde :

$$\frac{\partial h(z)}{\partial z_k} = \sum_{i=1}^T \theta_i p_{ik} e^{j \sum_{j=0}^N p_{ij} z_j} = \sum_{i=1}^T v_i(z) p_{ik}$$

Assim,

$$\nabla h(z) = (v_1 \dots v_T) A$$

onde

$$A = \begin{bmatrix} p_{10} & p_{11} & \dots & p_{1N} \\ p_{20} & p_{21} & & p_{2N} \\ \cdot & \cdot & \cdot & \cdot \\ p_{T0} & p_{T1} & \dots & p_{TN} \end{bmatrix}$$

agora,

$$\frac{\partial}{\partial z_k} \{ \ln [ h(z) ] \} = \frac{1}{h(z)} \frac{\partial h}{\partial z_k}$$

portanto

$$\nabla \{ \ln [ h(z) ] \} = \left( \frac{v_1}{h(z)}, \frac{v_2}{h(z)}, \dots, \frac{v_T}{h(z)} \right) \quad \Lambda = \delta \Lambda \quad (3.19)$$

onde

$$\delta = ( \delta_1 \dots \delta_T ) \quad \text{e} \quad \delta_i = v_i / h(z) \quad (3.20)$$

Substituindo (3.19) em (3.18) temos então, a seguinte relação :

$$\{ \ln [ h(\hat{z}) ] - \delta \Lambda \hat{z} \} + \delta \Lambda z \leq 0 \quad (3.21)$$

2) A restrição monomial obtida pela condensação de  $g(x)$  em um ponto  $\hat{x}$ , é definido por :

$$\hat{g}(x) = \hat{c} \prod_j x_j^{\hat{a}_j} = \prod_i \left( \frac{\theta_i}{\delta_i} \right)^{\delta_i} \prod_j x_j^{\sum_i \delta_i \rho_{ij}} \leq 1 \quad (3.22)$$

Tomando a função logaritmo em (3.22) temos :

$$\begin{aligned} \ln[\hat{g}(x)] &= \sum_i \delta_i \ln \left( \frac{\theta_i}{\delta_i} \right) + \sum_j \ln x_j^{\sum_i \delta_i \rho_{ij}} = \\ &= \sum_i \delta_i \ln \left( \frac{\theta_i}{\delta_i} \right) + \sum_i \sum_j \delta_i \rho_{ij} \ln x_j \leq 0 \end{aligned} \quad (3.23)$$

Da equação (2.5), é dado que  $u_i(\hat{x}) = v_i(\hat{z})$  e  $g(\hat{x}) = h(\hat{z})$ , temos que  $\delta_i = v_i(\hat{z}) / h(\hat{z})$ ; e usando  $z_j = \ln x_j$ , segue

$$\begin{aligned}
\ln[\hat{g}(x)] &= \sum_i \delta_i \ln \left[ \frac{\theta_i}{\frac{v_i(\hat{z})}{h(\hat{z})}} \right] + \sum_i \sum_j \delta_i \rho_{ij} z_j = \\
&= \sum_i \delta_i \ln \left[ \frac{\theta_i h(\hat{z})}{\theta_i e^{\sum_j \rho_{ij} \hat{z}_j}} \right] + \delta A z = \\
&= \left\{ \sum_i \delta_i \ln [h(\hat{z})] + \sum_i \delta_i \ln e^{-\sum_j \rho_{ij} \hat{z}_j} \right\} + \delta A z = \\
&= \{ \ln [h(\hat{z})] - \delta A \hat{z} \} + \delta A z \leq 0 \quad (3.24)
\end{aligned}$$

Notamos que a restrição (3.24) gerada pela condensação é a mesma que (3.21) gerada pelo corte de Kelley aplicado a (3.17). Com isto a convergência do algoritmo de condensação é garantida pelo teorema 3.1.

### 3.5 - Método de Cortes para Programação Geométrica Generalizada.

Nesta seção queremos apenas ressaltar o uso da condensação para transformar o PGG em um PGP, e a partir dessa transformação todo o processo visto na seção anterior será repetido.

Considere um problema de Programação Geométrica Generalizada :

PGG :

$$\begin{aligned}
\min \quad & x_0 \\
\text{suj. a} \quad & \frac{p_k(x)}{1 + q_k(x)} \leq 1 \quad k = 0, 1, \dots, K \\
& 0 < \underline{x}_j \leq x_j \leq \bar{x}_j \quad j = 0, 1, \dots, N
\end{aligned} \quad (3.25)$$

Conforme já foi visto no capítulo anterior, a condensação do PGG (que consiste em condensar  $1 + q_k(x)$ ) em um ponto  $x^0$  factível, escolhido inicialmente, faz com que a região de factibilidade do  $PGG(x^l)$  (2.17), esteja contida na região de factibilidade do PGG.

O programa posinomial obtido ( $PGG(x^0)$ ) pode então ser resolvido pelo método descrito na seção anterior.

Obtemos assim, um ponto factível ao PGG que novamente será usado para condensar (3.25), e assim por diante. Segundo [2,10] a sequência gerada desta forma converge para uma solução que satisfaz as condições necessárias de Kuhn-Tucker. O critério de parada a ser usado agora é :

$$\| x^{l+1} - x^l \| < \epsilon \quad (3.26)$$

onde  $x^l$  é a solução obtida na iteração  $l$ , e  $\epsilon$  é um número positivo e pequeno.

Agora, ao contrário de PGP onde garantimos o ótimo global, a não-convexidade de PGG pode levar a ótimos locais, característica de problemas não-convexos.

**Algoritmo :**

(fase 1)

**Passo 0 : Inicialização :**

Determine um ponto inicial  $x^0$  factível ao PGG .

PGG :

$$\begin{aligned} \min \quad & x_0 \\ \text{sujeito a} \quad & \frac{p_k(x)}{1 + q_k(x)} \leq 1 \quad k = 0, 1, \dots, K \\ & 0 < \underline{x}_j \leq x_j \leq \bar{x}_j \quad j = 0, 1, \dots, N \end{aligned}$$

faça  $l = 0$

(fase 2)

Passo 1 : Condensação do PGG :

Condense  $1 + q_k(x)$   $k=0, 1, \dots, K$  em  $x^l$  (conforme a secção (2.2)) e obtenha  $\text{PGG}(x^l)$  (veja (2.17)).

Passo 2 : Resolução do  $\text{PGG}(x^l)$  :

Resolva o programa posinomial  $\text{PGG}(x^l)$ , obtido no passo anterior, utilizando o algoritmo dado na secção 3.3.

Seja  $x^{l+1}$  a solução ótima de  $\text{PGG}(x^l)$ .

Passo 3 : Teste de otimalidade :

$$\text{Se } \|x^{l+1} - x^l\| \leq \epsilon$$

então

$x^{l+1}$  é uma solução de Kuhn-Tucker. Fim.

senão

Faça  $l \leftarrow l + 1$  e repita o passo 1.

A solução de  $\text{PGG}(x^l)$  é factível para PGG (não necessariamente ótima). Em [2], é sugerido uma modificação no passo 2, com o objetivo de acelerar a convergência do método.

Uma solução obtida na resolução de  $\text{PGG}(x^l)$  pode ser



infactível a este (quando for factível, será ótimo de  $PGG(x^l)$ ), porém pode ser factível a  $PGG$ . Esta solução é então usada como  $x^{l+1}$ .

**Fase 1 :**

Esta fase pode ser usada (caso não haja disponível um ponto factível) com o intuito de encontrarmos um ponto inicial factível para ser usado na fase 2 (que é o algoritmo de resolução do problema  $PGG$ ).

Dado um problema  $PGG$ , (2.16), a fase 1 consiste em resolver o seguinte  $PGG$ .

$PGG(w)$  :

$$\begin{aligned} \min \quad & \prod_{k=0}^K w_k \\ \text{suj. a} \quad & \frac{p_k(x)}{1 + q_k(x)} \leq w_k \quad k = 0, 1, \dots, K \\ & w_k \geq 1 \quad k = 0, 1, \dots, K \\ & 0 < \underline{x}_j \leq x_j \leq \bar{x}_j \quad j = 0, 1, \dots, N \end{aligned} \quad (3.27)$$

Se  $(w^*, x^*)$  resolve  $PGG(w)$  e  $\prod_{k=0}^K w_k^* = 1$ , então  $x^*$  é um ponto factível para  $PGG$  e pode ser usado na fase 2.

**Algoritmo :**

**Passo 1 :**

Seja  $x^0$  qualquer ponto que satisfaça :

$$\underline{x}_j \leq x_j \leq \bar{x}_j \quad j = 0, 1, \dots, N$$

Defina

$$w_k^0 = \text{Max} \left\{ \frac{p_k(x^0)}{1 + q_k(x^0)}, 1 \right\} \quad k = 0, 1, \dots, K$$

o ponto  $(w^0, x^0)$  onde  $w^0 = (w_0^0, w_1^0, \dots, w_K^0)$  é assim uma solução factível para o PGG(w).

**Passo 2 :**

a) Se  $w_k^0 = 1$  para todos  $k$ , então  $x^0$  é factível ao PGG (2.16). Fim da fase 1.

b) Se existir algum  $k$ , tal que,  $w_k^0 > 1$ , então resolvemos o PGG(w) usando a fase 2 uma única vez; com um ponto inicial  $(w^0, x^0)$ .

**Passo 3 :**

Examine a solução ótima  $(w^*, x^*)$  de PGG(w) :

a) Se  $w_k^* = 1$  para todo  $k = 1, 2, \dots, K$  então  $x^*$  é um ponto factível para PGG (2.16). Fim da fase 1.

b) Caso exista algum  $k$ , tal que  $w_k^* > 1$ , então a fase 1 falhou em encontrar uma solução factível.

Esta sugestão para fase 1 é dada em [2]. Uma outra possibilidade seria resolver o seguinte problema :

$$\begin{aligned} \min \quad & w \\ \text{suj. a} \quad & \frac{p_k(x)}{1 + q_k(x)} \leq w \quad k = 0, 1, \dots, K \\ & w \geq 1 \\ & 0 < \underline{x}_j \leq x_j \leq \bar{x}_j \quad j = 0, 1, \dots, N \end{aligned} \quad (3.28)$$

As conclusões obtidas com a solução de (3.27) podem ser aplicadas a (3.28). Há uma aparente vantagem de (3.28) sobre (3.27), pois este utiliza apenas uma variável artificial, enquanto que (3.27) utiliza  $K + 1$  variáveis artificiais. Além

disso, a função objetivo já é linear.

### Exemplo 3.1 -

Retomemos o mesmo exemplo visto nos capítulos anteriores, ilustrando agora os algoritmos e resultados obtidos.

$$\begin{aligned}
 \min \quad & x_1 \\
 \text{sujeito a} \quad & \frac{x_1/4 + x_2/2}{1 + x_1^2/16 + x_2^2/16} \leq 1 \\
 & \frac{x_1^2/(6x_2) + x_2/6 + 7/(3x_2)}{1 + x_1/x_2} \leq 1 \\
 & 1.0 \leq x_1 \leq 5.5 \\
 & 1.0 \leq x_2 \leq 5.5
 \end{aligned} \tag{3.29}$$

Note que o algoritmo de PGG tem 2 fases, onde a primeira fase (Fase 1) tem como objetivo encontrar um ponto de partida.

Consideramos, entretanto, o ponto de partida dado por :

$$x^0 = (4.0, 4.5)^T \text{ (factível)}$$

No exemplo 2.1, fizemos os primeiros passos de cada algoritmo.

O problema (2.20) (PGG) foi condensado obtendo-se (2.25)(PGP). Para resolver este último, novamente condensamos (agora pederia ser qualquer  $x > 0$ ) as restrições em  $(4.0, 4.5)^T$  e obtivemos (2.27)(PL), cuja solução  $z^T = (1.35, 1.58)$ . Com a mudança de variável  $x_j = e^{z_j}$ , tivemos a primeira aproximação no PGP :  $x^T = (3.858, 4.852)$ .

Este ponto é infactível ao  $PGG(x^0)$  e portanto gerará na nova restrição ao PL, que fornecerá uma nova solução, e assim por diante até determinarmos a solução ótima de  $PGG(x^0)$ , que denotamos por  $x^1$ . Em geral denotaremos por  $x^{\ell+1}$  a solução de  $PGG(x^{\ell})$ .

Faremos a seguir duas tabelas mostrando a convergência deste problema. As tabelas são formadas por 5 colunas que serão :

- Localização, da solução atual, na figura 3.2.
- Número da iteração do PGG (fase 2), ITG.
- Número de cortes (número de iterações no  $PGG(x^{\ell})$ ).
- Solução do  $PGG(x^{\ell})$  (ponto aproximado).
- Comentários.

Local. fig.3.2	fase 2 ITG	Numeros de cortes	Solução do $PGG(x^{\ell})$	Comentários
1	0	---	(4.0, 4.5)	Ponto inicial fact.
2	1	1	(3.872, 4.786)	
3	2	0	(3.824, 4.824)	
3	3	0	(3.823, 4.823)	Ponto ótimo local(A)

Tab. 3.1 - Convergência para um mínimo local, com o ponto inicial adotado,  $x^0 = (4.0, 4.5)$ .

Pudemos observar que a solução na iteração 2 de  $PGG(x^0)$  já é factível a PGG. Em [2], Avriel, Dembo e Passy sugerem que o primeiro ponto factível a PGG encontrado ao se resolver  $PGG(x^{\ell})$  seja usado como  $x^{\ell+1}$ , com o intuito de acelerar a sua convergência.

Note que o ponto obtido na iteração 2 e 3 do PGG são praticamente os mesmos (pois este é o critério de parada). A

convergência se deu após 3 iterações no PGG a qual é demonstrada na tabela 3.1 onde denominamos por ITG (iteração do PGG).

### Outro uso da Fase 1 -

Tentaremos agora encontrar um outro ponto inicial, utilizando a fase 1, com o objetivo de melhorar a solução ótima anterior, eliminando tal solução ótima, supostamente local, ou região de factibilidade. Para isto será usada a restrição  $x_1 \leq 3.5$ , visto que desejamos minimizar  $x_1$ .

Se a fase 1 for concluída com melhor sucesso, o ponto obtido é factível, portanto na fase 2 esse ponto será usado como ponto inicial.

De (3.27) e (3.29) temos :

$$\begin{aligned}
 & \min \\
 \text{suj. a} & \quad \frac{w_1 w_2}{x_1/4 + x_2/2} \leq w_1 \\
 & \quad \frac{x_1^2/(6x_2) + x_2/6 + 7/(3x_2)}{1 + x_1/x_2} \leq w_2 \\
 & \quad 1.0 \leq x_1 \leq 3.5 \\
 & \quad 1.0 \leq x_2 \leq 5.5 \\
 & \quad 1.0 \leq w_1 \leq 2.5 \\
 & \quad 1.0 \leq w_2 \leq 2.5
 \end{aligned} \tag{3.30}$$

Iniciando a fase 1 com o ponto  $x^0 = (3.5, 4.823)$  o qual viola a restrição  $p_1(x) - q_1(x) \leq 1$ . Note que o ponto inicial será portanto :  $x_1 = 3.5$ ,  $x_2 = 4.823$ ,  $w_1 = 2.5$ ,  $w_2 = 1.0$  que satisfaz agora as restrições (3.30) (o ponto é representado por 4

na figura 3.2 ). A fase 1 tem como solução, dada em [2], o ponto factível  $x = (2.33, 1.38)$  (ponto 5 na fig. 3.2).

O ponto de mínimo global  $x^* = (1.178, 2.178)$ , usamos o algoritmo fase 2, e a solução inicial obtida na sub-seção 'outro uso da fase 1', é mostrada na tabela 3.2.

Local. fig. 3.2	Fase 2 ITG	Numeros de cortes	Soluções do PGG( $x^i$ )	Comentários :
5	0	—	(2.330, 1.384)	Factível.
6	1	1	(1.574, 1.961)	
7	2	2	(1.261, 2.125)	
8	3	0	(1.178, 2.176)	
8	4	0	(1.178, 2.178)	Ótimo Global

Tab. 3.2 - Convergência para o mínimo global.

É bom lembrar, que a convergência para uma solução ótima global do PGG, depende muito da escolha do ponto inicial, por isso devemos fazer algumas tentativas de melhoria do ponto ótimo (quando não sabemos se a solução obtida é a ótima global), utilizando outros pontos iniciais (com o uso da fase 1).

Na figura 3.2, podemos ver o caminho dos pontos obtidos pelos algoritmos, dado em [2].

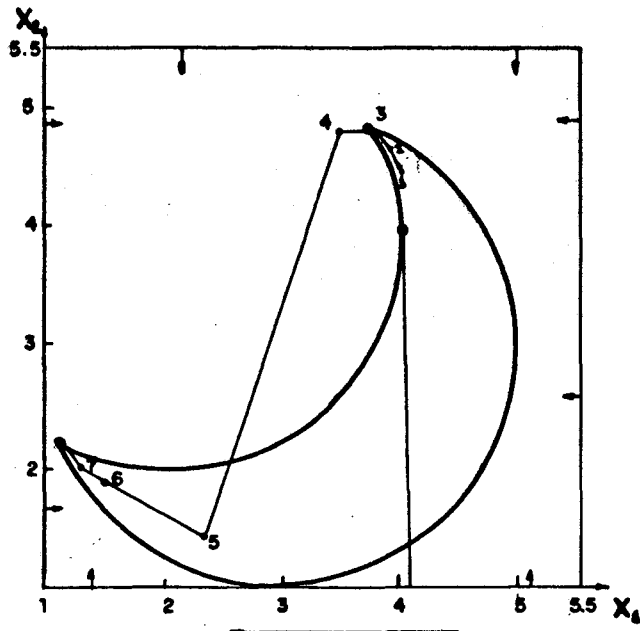


Fig. 3.2

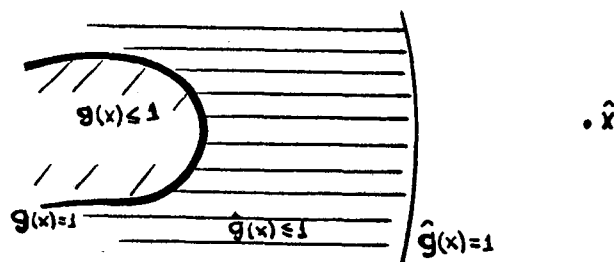
# CAPÍTULO IV

## MELHORIA DA SOLUÇÃO ANTES DA CONDENSACÃO

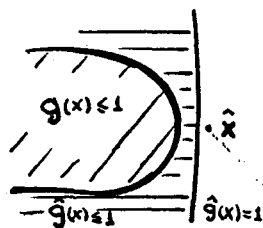
### 4.1 - Introdução -

A condensação, estudada no capítulo II, é uma ferramenta muito importante para os problemas posinomiais, visto que ela transforma o PGP em um programa monomial aproximado, mais simples de se trabalhar.

Suas propriedades, mostram que a restrição monomial ( $\hat{g}(x) \leq 1$ , onde  $\hat{g}(x)$  é a condensação da função posinomial  $g(x)$  no ponto  $\hat{x}$ ), representa melhor a restrição original  $g(x) \leq 1$  se  $g(\hat{x}) \cong 1$  (pelo menos nas vizinhanças de  $\hat{x}$ ), como indicam as figuras 4.1 (a) e (b) :



(a) Condensação em um ponto mais distante a  $g(x)=1$ .



(b) Condensação em um ponto próximo a  $g(x)=1$ .

fig. 4.1

Neste sentido, procuramos investir em uma aproximação do



ponto  $\hat{x}$  à região de factibilidade, antes de executar a condensação, na tentativa de obtermos uma região melhor representada e como consequência um processo de resolução mais acelerado.

A seguir, veremos uma descrição matemática dessa nossa tentativa.

#### 4.2 - Melhorando a solução

Seja  $g(x) \leq 1$  uma restrição posinomial, onde :

$$g(x) = \sum_{i=1}^T \theta_i \prod_{j=0}^N x_j^{\phi_{ij}} \leq 1 \quad (4.1)$$

e  $x^0$  uma solução infactível ao PGP (fornecida pelo programa monomial a cada iteração de métodos de cortes - seção 3, cap. III), tal que :

$$g(x^0) > 1$$

(por simplicidade de notação abandonamos aqui o índice da restrição violada).

Procuramos encontrar uma solução  $x/g(x) = 1$ , antes de procedermos à condensação. Restringimos a procura na curva parametrizada em  $\gamma$  :

$$x_j(\gamma) = x_j^0 e^{-\gamma a_j^0 g^0} \quad j = 0, 1, \dots, N \quad (4.2)$$

onde  $a_j^0$  é o expoente de  $x_j$  no monômio  $g^0(x)$ , obtido na

condensação de  $\tilde{g}(x)$  em  $x^0$  (veja (2.4)) e  $g^0$  é :

$$g^0 = g(x^0) = \tilde{g}(x^0) \quad (4.3)$$

conforme (2.8). Nosso objetivo é determinar  $\gamma$  tal que :

$$g(x(\gamma)) = 1 \quad (4.4)$$

A solução de (4.4) em geral não é trivial. Usamos a aproximação monomial de  $\tilde{g}(x)$  em (4.4) :

$$\tilde{g}^0(x(\gamma)) = 1 \quad (4.5)$$

e definimos  $x^1 = x(\gamma^0)$ , onde  $\gamma^0$  resolve (4.5). Sendo assim

$$\tilde{g}^0(x^1) = c^0 \prod_j (x_j^1)^{a_j^0} = 1 \quad (4.6)$$

Substituindo (4.2) em (4.6) temos que :

$$\begin{aligned} \tilde{g}^0(x^1) &= c^0 \prod_j (x_j^0 e^{-\gamma^0 a_j^0} )^{a_j^0} = \\ &= c^0 \prod_j (x_j^0)^{a_j^0} e^{-\gamma^0 g^0 \sum_j (a_j^0)^2} \end{aligned}$$

logo

$$\tilde{g}^0(x^1) = g^0 e^{-\gamma^0 g^0 \|a^0\|^2} = 1 \quad (4.7)$$

Aplicando logaritmo natural em (4.7), obtemos :

$$\ln g^0 - \gamma^0 g^0 \|a^0\|^2 = 0$$

logo

$$\gamma^0 = \frac{\ln g^0}{g^0 \|a^0\|^2} \quad (4.8)$$

Substituindo (4.8) em (4.2), e fazendo  $x_j^1 = x_j(\gamma^0)$  para  $j = 0, 1, \dots, N$ , temos :

$$x_j^1 = x_j^0 e^{\frac{-g^0 a_j^0 \ln g^0}{g^0 \|a^0\|^2}} = x_j^0 e^{\ln [g^0] \frac{-a_j^0}{\|a^0\|^2}}$$

obtendo assim :

$$x_j^1 = x_j^0 [g^0] \frac{-a_j^0}{\|a^0\|^2} \quad j = 0, 1, \dots, N \quad (4.9)$$

Podemos repetir o processo, usando agora  $x_j^1$  no lugar de  $x_j^0$  e obter uma nova solução  $x_j^2$  e assim por diante.

$$x^{k+1} = x^k [g^k] \frac{-a^k}{\|a^k\|^2} \quad j = 0, 1, \dots, N \quad (4.10)$$

onde  $g^k = g(x^k)$  e  $a^k$  é dado por (2.4) no ponto  $x^k$ .

### 4.3 - Equivalência com Censor-Lent

#### Teorema 4.1 -

O método definido por (4.10) é equivalente ao método de Censor-Lent (apêndice A) aplicado a  $\ln [h(z)]$ , onde  $h(z) = g(x)$  com  $x_j = e^{z_j}$ .

Prova :

Considere a mudança de variáveis :

$$x_j = e^{z_j},$$

então

$$h(z) = \sum_i \theta_i \prod_j e^{p_{ij} z_j} = \sum_i \theta_i e^{\sum_j p_{ij} z_j} \quad (4.11)$$

Uma iteração de Censor-Lent com  $\alpha = 1$  em  $\ln [h(z)]$  é :

$$z^{k+1} = z^k - \frac{\ln [h(z^k)]}{\|\nabla \{ \ln [h(z^k)] \}\|^2} \nabla \{ \ln [h(z^k)] \} \quad (4.12)$$

Cálculo de  $\nabla \{ \ln [h(z^k)] \}$  :

$$\frac{\partial}{\partial z_l} \{ \ln [h(z)] \} = \frac{1}{h(z)} \frac{\partial h(z)}{\partial z_l} \quad (4.13)$$

e

$$\frac{\partial h(z)}{\partial z_l} = \sum_i \theta_i p_{il} e^{\sum_j p_{ij} z_j} = \sum_i p_{il} \mu_i(x) \quad (4.14)$$

onde

$$\mu_i(x) = \theta_i \prod_j x_j^{p_{ij}} \quad \text{com } x_j = e^{z_j}$$

Substituindo (4.14) em (4.13), e aplicando em  $z = z^k$  com  $g(x^k) = h(z^k)$  temos :

$$\frac{\partial}{\partial z_l} \{ \ln [h(z)] \} \Big|_{z=z^k} = \sum_i \frac{\mu_i(x^k)}{g(x^k)} p_{il} = \sum_i \delta_i p_{il} = a_l^k$$

conforme (2.4).

Logo,

$$\nabla \{ \ln [h(z)] \} = a^k \quad (4.15)$$

Substituindo (4.15) em (4.12) segue :

$$z_j^{k+1} = z_j^k - \frac{\ln(h(z^k))}{\|a^k\|^2} a_j^k \quad j = 0, 1, \dots, N \quad (4.16)$$

Aplicando a função exponencial em (4.16) temos que :

$$e^{z_j^{k+1}} = e^{z_j^k} e^{[\ln h(z^k)] - \frac{a_j^k}{\|a^k\|^2}} \quad j = 0, 1, \dots, N$$

e substituindo acima

$$h(z^k) = g(x^k) \quad e \quad e^{z_j} = x_j$$

segue (4.10).

#### 4.4 - Uso da "Projeção" na Programação Geométrica Posinomial.

Chamaremos (4.10) de "Projeção" do ponto  $x^k$  na restrição  $g_k(x)=1$ , levando em conta a equivalência com Censor-Lent.

Existem várias maneiras de utilizarmos a projeção. Neste trabalho foi utilizada projeção na restrição mais violada, e projeção em todas as restrições violadas. No capítulo seguinte apresentaremos resultados numéricos destas implementações.

Para efeito de exposição apenas, escolhemos uma restrição  $g_r(x)$  qualquer tal que :

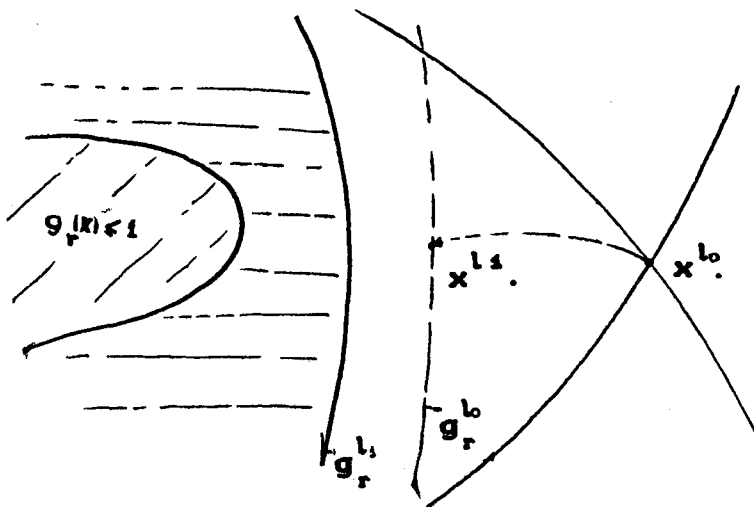
$$g_r(x) > 1 + \epsilon \quad (4.17)$$

onde  $r$  é a restrição mais violada (se existir). Projetamos o ponto  $x^l$ , obtido no PL na iteração  $l$ , na restrição (4.17), usando o seguinte procedimento :

i) Calcula-se  $a^l$  e  $g_r^l$  onde  $a^l$  (vetor de expoentes do monômio condensado em  $x^{l0}$ ) e  $g_r^{l0} = g_r(x^{l0})$ ;

ii) Determina-se  $x^{l1}$ , usando a equação (4.9).

Após a projeção ter sido efetuada, onde obtemos o ponto  $x^{l1}$ , podemos condensar  $g_r(x)$  (ou outra restrição qualquer), no ponto  $x^{l1}$  obtido. Essa estratégia pode ser vista geometricamente, através da figura 4.2 :



$g_r^l$  : é a condensação de  $g_r(x)$  no ponto  $x^l$ .

$g_r^l$  : é a condensação da  $g_r(x)$  no ponto  $x^{l1}$ .

fig. 4.2

De (4.5) segue que  $x^{l1}$  satisfaz :

$$g_r^{l0}(x^{l1}) = 1$$

Algoritmo :

Passo único :

Seja  $x^{l_0}$  a solução  $\tilde{\phantom{x}}$  fornecida pelo programa monomial na iteração  $l$ .

Se existir algum  $r$  tal que  $g_r(x^l) > 1 + \epsilon$  para  $0 \leq r \leq K$

Então determinar :

i)  $a_j^{l_0}$  através das equação (2.4),

ii)  $g_r^{l_0} = g_r(x^{l_0})$

e faça :

$$a) \quad x_j^{l_1} = x_j^{l_0} \left[ g_r^{l_0} \right]^{-\frac{a_j^{l_0}}{\|a^{l_0}\|^2}} \quad j = 0, 1, \dots, N$$

b) Se  $x_j^{l_1} < \underline{x}_j$

então

$$x_j^{l_1} = \underline{x}_j$$

senão

Se  $x_j^{l_1} > \bar{x}_j$

então

$$x_j^{l_1} = \bar{x}_j$$

Senão FIM (neste caso a restrição não está violada).

Outra idéia é projetar só nas restrições muito violadas, isto é, a partir de um valor mínimo de projeção (VMP): Neste caso, basta substituímos no algoritmo acima a seguinte restrição :

$$g_r(x^l) > \text{VMP} \quad (\text{onde } \text{VMP} \gg 1 + \epsilon)$$

no lugar da  $g_r(x^l) > 1 + \epsilon$ .

# CAPÍTULO V

## EXPERIÊNCIAS COMPUTACIONAIS

### 5.1 - Introdução

Faremos a seguir uma apresentação dos resultados obtidos sobre alguns exemplos extraídos dos artigos de estudo. A elaboração dos programas está descrita no apêndice B e as suas listagens foram colocadas em anexo.

Os programas foram desenvolvidos utilizando a linguagem FORTRAN 77 e executados em micro computadores da linha PCxt (16 bits), pertencentes ao Laboratório do ICMSC.

Na seção 5.3 apresentaremos problemas Posinomiais e na seção 5.4 problemas Signomiais.

### 5.2 - Tipos de Cortes :

Para efeito de desenvolvimento de métodos foram utilizados dois tipos diferentes de cortes, aplicado no PGP :

- a) Condensar a restrição mais violada;
- b) Condensar todas as restrições violadas.

As escolhas desses cortes foram baseadas em algumas sugestões dadas pelas referências [12,18]. Fizemos, porém, uma nova tentativa de melhorar esses cortes, com o uso da projeção (capítulo IV), que resultou em quatro tipos de estratégias a serem utilizadas num problema posinomial (ver apêndice B, seção 3), visto que a condensação ocorre nas restrições posinomiais.

Essas estratégias diferenciam os quatro programas que



usamos para efeito de experiências computacionais :

- i) Condensar a restrição mais violada, sem projeção;
- ii) Condensar a restrição mais violada, com projeção;
- iii) Condensar todas as restrições violadas, sem projeção;
- iv) Condensar todas as restrições violadas, com projeção.

Os exemplos que adotamos para comparações foram usados na literatura para o mesmo fim.

### 5.3 - Experiências numéricas com problemas Posinomiais :

Para cada exemplo apresentado a seguir, faremos uma comparação entre os métodos desenvolvidos neste trabalho. Construiremos uma tabela mostrando para cada iteração de PGP, o número total de iterações, o número de restrições e a solução ótima do PL. O resultado final mostrará o total de iterações que as rotinas do PL e PGP sofreram.

#### Exemplo 5.1 :

Considere o seguinte problema posinomial :

$$\begin{array}{ll} \min & x_0 \\ \text{sujeito a} & x_0^{-1} x_1^{-1} x_2^{-1} x_3^{-1} \leq 1 \end{array}$$

$$2x_1 + x_2 + 3x_3 \leq 1$$

$$x_1 + 3x_2 + 2x_3 \leq 1$$

$$x_1 + x_2 + x_3 \leq 1$$

$$0.1 \leq x_j \leq 1000, 0 \quad j = 0, 1, 2, 3$$

ponto inicial adotado  $x^0 = (1.5, 0.25, 0.2, 0.167)$

Resultados obtidos :

1) Condensar a restrição mais violada :

a) Sem Projeção (SP) :

b) Com Projeção (CP) :

Programa : PCDMACP.FOR  
TOLERANCIA PGP = .00050  
EXEMPLO Numero : 5.1

ITP	ITL	N.CO	SOL. OTIMA PL	SOL. OTIMA PGP
1	4	4	196.56040 .27953 .18199 .10000	
2	2	5	199.91760 .23947 .17704 .11799	
3	2	6	201.57000 .22203 .17466 .12792	
4	2	7	202.30330 .22878 .17712 .12199	
5	2	8	202.40240 .21648 .17416 .13104	
6	3	9	202.50820 .21377 .17324 .13329	
7	2	10	202.72940 .21754 .17389 .13040	
7	17	10		202.72940 .21754 .17389 .13040

Tabela 5.1 - A : Sem projecção.

Programa : PCDMACP.FOR  
TOLERANCIA PGP = .000500  
EXEMPLO Numero : 5.1

ITP	ITL	N.CO	SOL. OTIMA PL	SOL. OTIMA PGP
1	4	4	196.56840 .27953 .18199 .10000	
2	2	5	200.19280 .23649 .17664 .11957	
3	2	6	201.71580 .22065 .17447 .12078	
4	2	7	202.26330 .22692 .17662 .12336	
5	2	8	202.45520 .21547 .17396 .13177	
6	3	9	202.64550 .21306 .17316 .13376	
7	2	10	202.73050 .21655 .17376 .13109	
7	17	10		202.73050 .21655 .17376 .13109

Tabela 5.1 - B : Com projecção.

As tabelas desta seção mostram para cada iteração  $k$  (1ª coluna) do PGP, o número de iterações no PL (2ª coluna); o número de restrições do PL (3ª coluna) e a solução ótima do PL. As últimas linhas mostram os totais de iterações e a solução do PGP.

Representaremos no gráfico 5.1 o erro de cada iteração :

$$ERR = \| x^* - x^i \|_{\infty}$$

a fim de melhor visualizarmos a convergência de cada método.

ITP	ERR	
	SP ( A )	CP ( B )
1	6.161	6.1621
2	2.8098	2.5377
3	1.1514	1.0147
4	0.4261	0.4672
5	0.327	0.2753
6	0.1412	0.085
7	0.0	0.0

Tabela 5.1

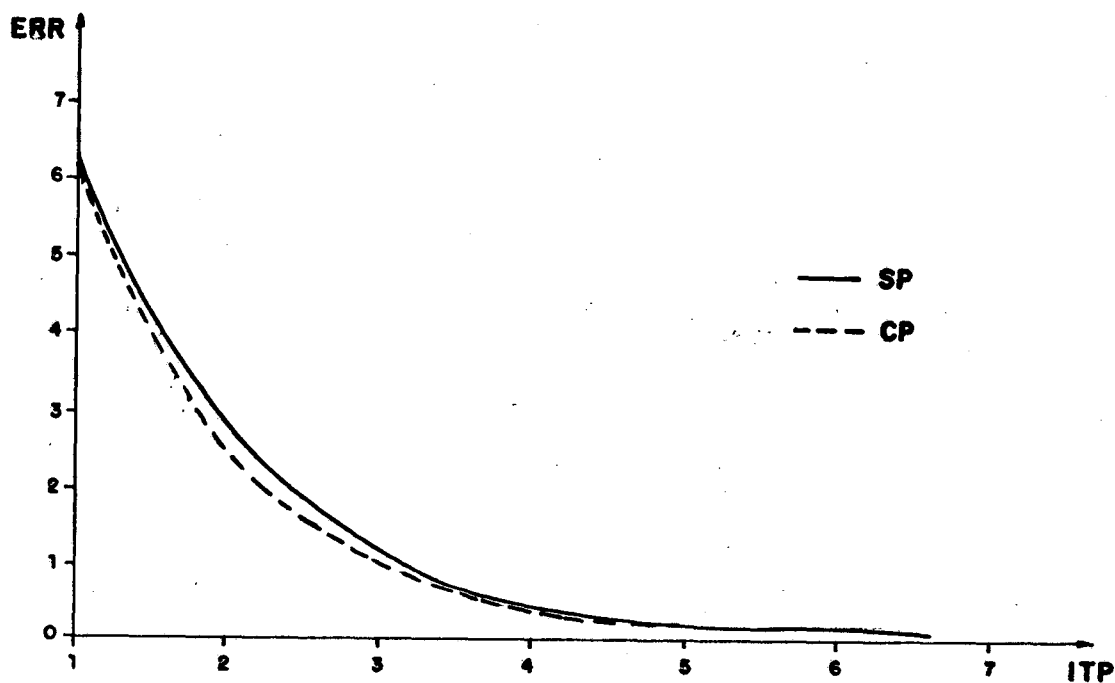


Gráfico 5.1 :  $\| x^* - x^{ITP} \|_{\infty} \times ITP$

ii) Condensar todas as restrições violadas :

a) Sem Projeção (TSP) :

b) Com Projeção (TCP) :

Programa : PCOTOSP.FOR  
TOLERANCIA PGP = .00050  
EXEMPLO Numero : 5.1

ITP \* ITL \* N.CO \* SOL. OTIMA PL \* SOL. OTIMA PGP \*

ITP	ITL	N.CO	SOL. OTIMA PL	SOL. OTIMA PGP
1	4	4	196.56040	
			.27953	
			.18199	
			.10000	
2	2	6	199.99930	
			.23860	
			.17692	
			.11045	
3	2	8	201.71970	
			.22061	
			.17446	
			.12880	
4	4	10	202.56730	
			.21299	
			.17327	
			.13377	
5	2	11	202.70920	
			.21650	
			.17378	
			.13112	
5	14	11		202.70920
				.21650
				.17378
				.13112

Tabela 5.2 - A : Sem projeção.

Programa : PCOTTCP.FOR  
TOLERANCIA PGP = .00050  
EXEMPLO Numero : 5.1

ITP \* ITL \* N.CO \* SOL. OTIMA PL \* SOL. OTIMA PGP \*

ITP	ITL	N.CO	SOL. OTIMA PL	SOL. OTIMA PGP
1	4	4	196.56840	
			.27953	
			.18199	
			.10000	
2	3	6	200.19280	
			.23649	
			.17664	
			.11957	
3	3	8	201.81430	
			.22070	
			.17433	
			.12879	
4	3	10	202.56540	
			.21301	
			.17327	
			.13375	
5	2	11	202.70900	
			.21654	
			.17379	
			.13109	
5	15	11		202.70900
				.21654
				.17379
				.13109

Tabela 5.2 - B : Com projeção.

O gráfico 5.2 faz uma comparação entre o processo com projeção e sem projeção, mostrando um diagrama de ERRO x ITP.

ITP	ERR	ERR
	TSP ( A )	TCP ( B )
1	6.1406	6.1406
2	2.7099	2.5162
3	0.9895	0.8947
4	0.1419	0.1436
5	0.0	0.0

Tabela 5.2

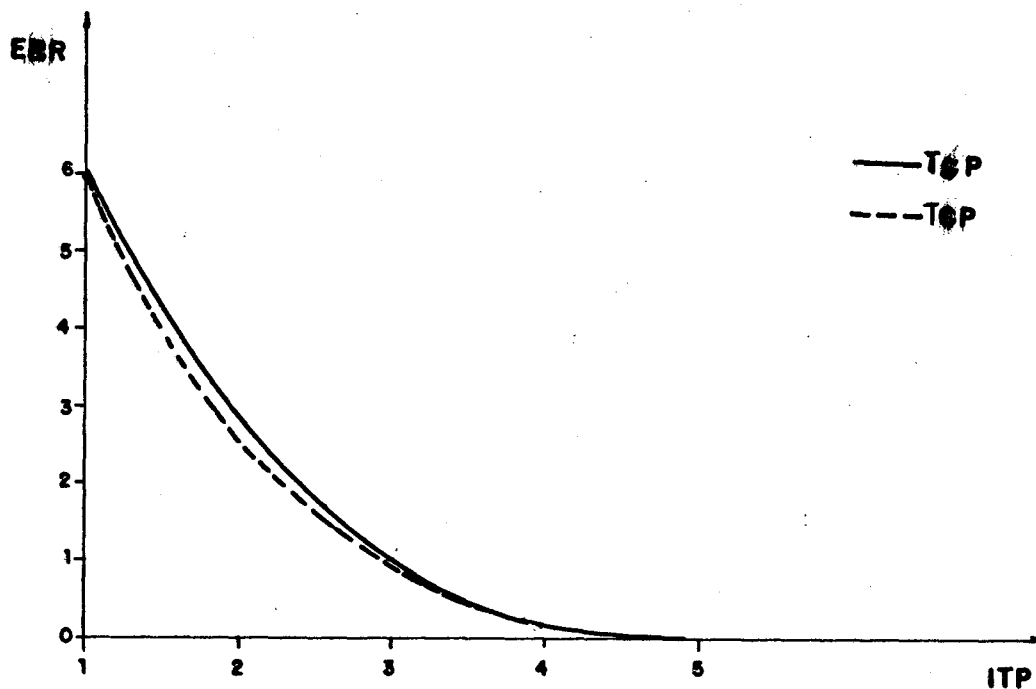


Gráfico 5.2 :  $\|x^* - x^{ITP}\|_{\infty} \times ITP$

Analisando os gráficos 5.1 e 5.2, podemos notar que a influência da projeção foi desprezível. Isto se deve ao fato de que já na primeira solução obtida pelo PL violou muito pouco as restrições.

Como há um custo de projetar e a projeção se mostra ineficaz para restrições pouco violadas, adotaremos então a seguinte estratégia :

- Seja VMP (valor mínimo para a projeção, naturalmente maior do que  $1 + \epsilon$ ), e assim acionamos a rotina de projeção apenas

quando :

$$g_k(x^{ITP}) > VMP .$$

Exemplo 5.2 -

Seja o seguinte problema posinomial :

$$\min \quad x_0$$

$$\text{suj. a} \quad 20x_0^{-1}x_1 + 10x_0^{-1}x_2 + 30x_0^{-1}x_3 + 15x_0^{-1}x_4 + \\ 1500x_0^{-1}x_2^{-1}x_3^{-1}x_4^{-1} \leq 1$$

$$\frac{1}{5}x_1 + \frac{1}{12}x_2 + \frac{1}{12}x_3 + \frac{1}{60}x_4 \leq 1$$

$$\frac{2}{37}x_1 + \frac{6}{37}x_2 + \frac{8}{37}x_3 + \frac{4}{37}x_4 \leq 1$$

$$\frac{4}{45}x_1 + \frac{3}{45}x_2 + \frac{7}{45}x_3 + \frac{14}{45}x_4 \leq 1$$

$$\frac{3}{45}x_1 + \frac{3}{45}x_2 + \frac{3}{45}x_3 + \frac{3}{45}x_4 \leq 1$$

$$0.1 \leq x_j \leq 1000.0 \quad j = 0, 1, 2, 3, 4$$

Ponto inicial  $x^0 = (20.0, 20.0, 20.0, 20.0, 20.0)$ .

i) Condensar a restrição mais violada :

a) Sem projeção :

Programa : PCOMASP.FOR  
TOLERANCIA POP = .00050

EXEMPLO Numero : 5.2

ITP * ITL * N.CO * SOL. OTIMA PL * SOL. OTIMA POP *	ITP * ITL * N.CO * SOL. OTIMA PL * SOL. OTIMA POP *
1 2 5 7.50129 .10000 .10000 .10000 .10000	13 2 17 262.39240 3.51357 2.42815 1.74209 .09079
2 5 6 65.57029 2.18129 195.77940 .10000 .53562	14 2 18 262.64500 2.01719 2.67233 1.42206 1.13244
3 3 7 86.70947 10.10795 5.94562 .10000 2.07851	15 2 19 262.78440 2.49700 2.01592 1.26492 1.29106
4 3 8 138.41960 1.14257 5.99017 .87335 1.01295	16 2 20 265.05450 2.14104 2.60286 1.42909 1.36564
5 3 9 191.48140 5.01404 .72616 4.31439 .84019	17 2 21 266.09230 2.59925 2.05171 1.22527 1.27228
6 2 10 199.53050 3.81408 3.33810 1.21356 1.23536	18 2 22 267.01070 2.48585 2.50188 1.45781 1.23579
7 3 11 223.61180 2.40613 5.97579 .78682 1.54474	19 2 23 267.07110 2.73890 2.67567 1.33861 1.19610
8 2 12 234.06810 2.13993 3.29361 1.33326 1.39420	20 2 24 267.50210 2.52453 2.72536 1.33697 1.24407
9 2 13 239.19850 2.02415 2.48271 1.71228 1.32801	21 2 25 267.59340 2.60458 2.63163 1.39912 1.20042
10 3 14 244.25980 2.01331 3.40021 .72931 1.73147	22 2 26 267.75550 2.53125 2.70906 1.33793 1.24499
11 2 15 247.24700 3.09137 2.48072 1.48484 1.26380	23 2 27 267.75600 2.64365 2.73522 1.30254 1.22274
12 2 16 256.91530 3.16909 3.18530 .93443 1.23977	24 2 28 267.85060 2.62397 2.68246 1.35039 1.21547
	24 56 28 267.85060 2.62397 2.68246 1.35039 1.21547

Tabela 5.3 - A : Sem projeção.

Tabela 5.3 - A : Sem projeção.

b) Com projeção : VMP = 1.2

TOLERANCIA PGP = .000500  
 VMP = 1.2  
 EXEMPLO Numero : 5.2

ITP *	ITL *	N.CO *	SOL. OTINA PL *	SOL. OTINA PGP *	ITP *	ITL *	N.CO *	SOL. OTINA PL *	SOL. OTINA PGP *
1	2	5	7.50129		12	2	16	264.27580	
			.10000					2.27979	
			.10000					2.77432	
			.10000					1.33439	
			.10000					1.34925	
2	5	6	101.20970		13	2	17	266.32590	
			3.31521					2.60549	
			62.86142					2.70105	
			.10000					1.35939	
			2.38797					1.22366	
3	2	7	197.69000		14	2	18	266.68070	
			4.42382					2.71764	
			3.75253					2.78203	
			1.07472					1.24804	
			1.22711					1.23460	
4	2	8	222.92030		15	2	19	267.33950	
			2.45559					2.50362	
			4.05121					2.55269	
			1.09473					1.48019	
			1.41511					1.22617	
5	2	9	235.30910		16	2	20	267.49980	
			3.15228					2.47729	
			2.62592					2.71761	
			1.53185					1.33870	
			1.22235					1.25998	
6	3	10	247.94440		17	4	21	267.71220	
			3.28573					2.52168	
			3.67868					2.84079	
			.46539					1.23881	
			1.75136					1.26836	
7	2	11	249.84080		18	2	22	267.71740	
			3.48529					2.60910	
			2.82825					2.73005	
			1.37930					1.31130	
			.95810					1.22967	
8	2	12	256.21810		19	2	23	267.72010	
			2.25102					2.65573	
			3.04279					2.67420	
			1.08241					1.35064	
			1.48814					1.21003	
9	3	13	257.89430		20	2	24	267.90270	
			2.41533					2.73728	
			2.74876					2.72790	
			1.63625					1.29711	
			1.14279					1.20017	
10	2	14	263.20000		21	3	25	267.92660	
			2.86753					2.58682	
			2.95481					2.74318	
			1.18173					1.30406	
			1.19442					1.23650	
11	2	15	264.09550		21	50	25		267.92660
			2.72023						2.58682
			2.67782						2.74318
			1.36756						1.30406
			1.18568						1.23650

Tabela 5.3 - B : Com projeção VMP=1.2 .



c) Com projeção : VMP = 1.4

Programa : PCONACP.FOR  
 TOLERANCIA PGP = .000500  
 VMP = 1.4  
 EXEMPLO Numero : 5.2

ITP \* ITL \* N.CO \* SOL. OTINA PL \* SOL. OTINA POP \*

ITP	ITL	N.CO	SOL. OTINA PL	SOL. OTINA POP
1	2	5	7.50129	
			.10000	
			.10000	
			.10000	
			.10000	
2	5	6	101.20970	
			3.31521	
			62.86142	
			.10000	
			2.38797	
3	2	7	197.69000	
			4.42382	
			3.75253	
			1.07472	
			1.22711	
4	2	8	223.64330	
			2.41692	
			4.05958	
			1.09528	
			1.42056	
5	2	9	236.16660	
			3.08693	
			2.63950	
			1.52966	
			1.22921	
6	3	10	249.14390	
			3.09552	
			3.68611	
			.46920	
			1.81246	
7	2	11	250.07600	
			3.33537	
			2.87154	
			1.31169	
			1.01652	
8	3	12	257.47960	
			2.26916	
			2.76834	
			1.61503	
			1.19740	
9	2	13	257.66540	
			2.16711	
			2.97275	
			1.20883	
			1.43425	
10	2	14	263.48920	
			2.76729	
			2.96366	
			1.18175	
			1.22231	
11	2	15	264.91260	
			2.69415	
			2.67890	
			1.37213	
			1.18946	

ITP \* ITL \* N.CO \* SOL. OTINA PL \* SOL. OTINA POP \*

ITP	ITL	N.CO	SOL. OTINA PL	SOL. OTINA POP
12	2	16	265.46830	
			2.37110	
			2.75204	
			1.33842	
			1.30765	
13	2	17	266.73360	
			2.63177	
			2.69217	
			1.36589	
			1.21030	
14	2	18	267.03990	
			2.75489	
			2.77169	
			1.25462	
			1.21840	
15	2	19	267.57500	
			2.58032	
			2.60590	
			1.41930	
			1.21672	
16	2	20	267.59340	
			2.54846	
			2.74024	
			1.31141	
			1.24656	
17	3	21	267.76890	
			2.62461	
			2.79869	
			1.25751	
			1.23700	
18	2	22	267.79410	
			2.65929	
			2.73089	
			1.30462	
			1.21802	
18	42	22		267.79410
				2.65929
				2.73089
				1.30462
				1.21802

Tabela 5.3 - C : Com projeção VMP = 1.4.

d) Erro x ITP

Na tabela 5.3 D, apresentamos o erro de cada iteração das tabelas 5.3 A,B e C.

$$\|x^* - x^{ITP}\|_{\infty} = \text{ERR}$$

ITP	SP	CP VMP=1.2	CP VMP=1.4
1	260,85	260,42	260,29
2	202,27	166,42	166,58
3	181,14	70,24	70,10
4	129,48	45,64	44,15
5	76,87	32,62	31,63
6	68,32	19,98	18,65
7	44,24	18,09	17,72
8	39,78	11,71	10,91
9	28,65	10,09	10,18
10	28,60	4,73	4,09
11	20,60	3,83	2,88
12	10,94	3,65	2,88
13	5,46	1,61	1,06
14	5,20	1,25	0,75
15	5,07	0,59	0,22
16	2,00	0,43	0,20
17	1,76	0,21	0,07
18	0,84	0,21	0,0
19	0,78	0,21	--
20	0,35	0,15	--
21	0,26	0,0	--
22	0,10	--	--
23	0,09	--	--
24	0,0	--	--

Tabela 5.3 - D : ERR x ITP

A seguir faremos uma representação gráfica do erro apresentado pela tabela 5.3 - D (ERR x ITP).

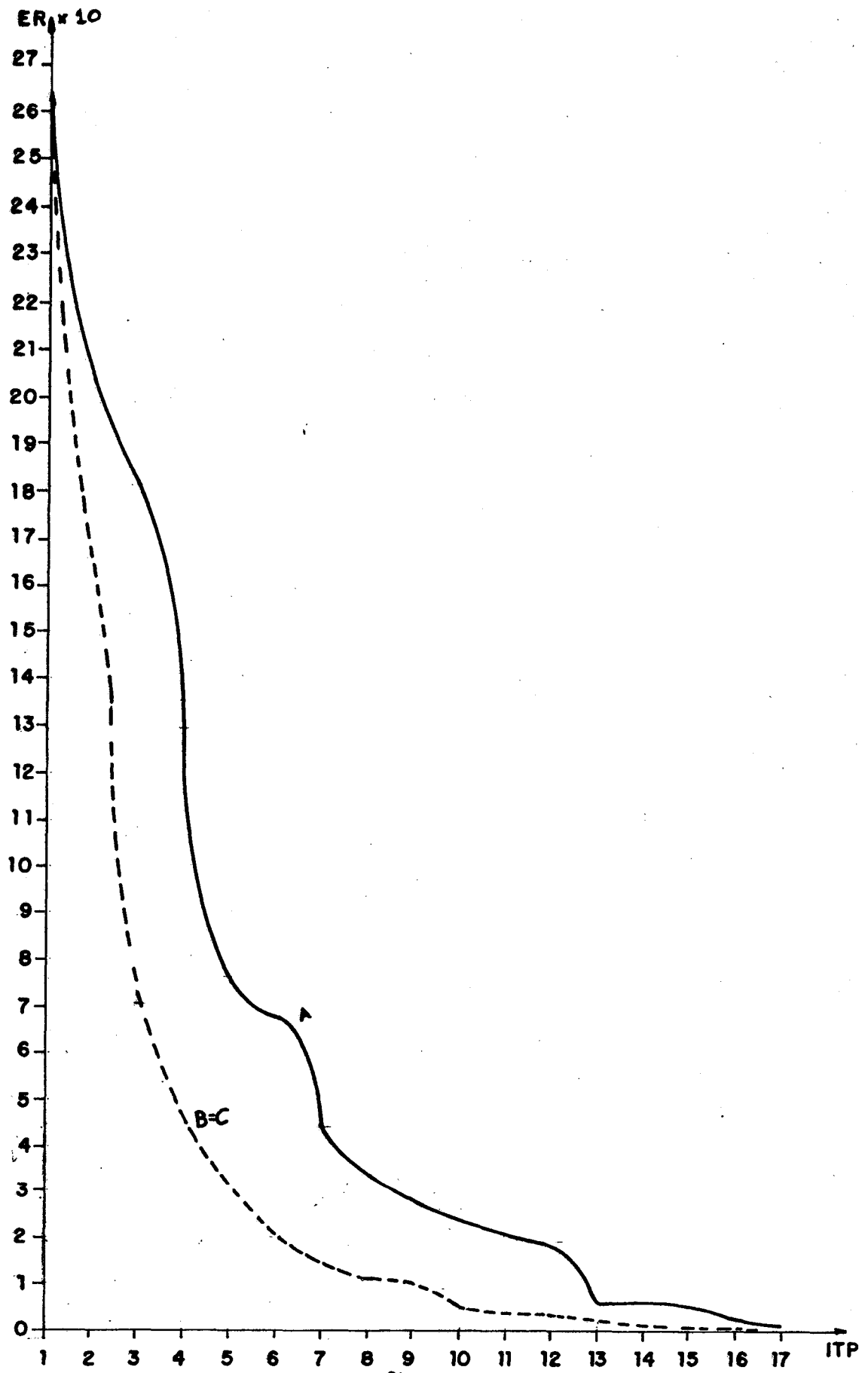


Gráfico 5.3 : Representação de ERR x ITP (tabela 5.3 - D).

ii) Condensar todas as restrições violadas :

a) Sem projeção :

Programa : PCOTOSP.FOR  
TOLERANCIA PGP = .00050

EXEMPLO Numero : 5.2

ITP * ITL * N.CO * SOL. OTIMA PL * SOL. OTIMA PGP *
1 2 5 7.50129 .10000 .10000 .10000 .10000
2 5 6 65.57829 2.18129 195.77940 .10000 .53562
3 4 11 86.70947 10.10793 5.94563 .10000 2.87851
4 4 16 138.41970 1.14257 5.99017 .87935 1.81295
5 4 19 191.48130 5.01403 .72616 4.31439 .84019
6 3 23 199.53050 3.81407 3.33811 1.21356 1.23536
7 6 27 237.35210 2.06478 2.74658 1.56582 1.35130
8 6 30 261.15770 2.71523 2.77381 1.29324 1.23875
9 4 33 266.97860 3.58902 2.12816 1.88422 .93852
10 3 36 267.00730 2.85714 2.40663 1.60769 1.10631
11 3 39 267.02330 2.52741 2.57871 1.47059 1.21338
12 5 42 267.57770 2.65917 2.65195 1.37565 1.20079
13 4 45 267.65910 2.41413 2.73402 1.33896 1.27508
14 4 48 267.79100 2.57464 2.71187 1.33298 1.23236
14 57 48 267.79100 2.57464 2.71187 1.33298 1.23236

Tabela 5.4 - A : Sem projeção.

b) Com projeção : VMP=1.2

Programa : PCOTOCF.FOR  
TOLERANCIA PGP = .00050

VMP = 1.2  
EXEMPLO Numero : 5.2

ITP * ITL * N.CO * SOL. OTIMA PL * SOL. OTIMA PGP *
1 2 5 7.50129 .10000 .10000 .10000 .10000
2 5 6 101.20970 3.31521 62.86142 .10000 2.38797
12 50 38 267.89660 2.72517 2.72021 1.30367 1.20212

Tabela 5.4 - B : Com projeção VMP = 1.2

c) Com projeção : VMP=1.4

VMP = 1.4

ITP * ITL * N.CO * SOL. OTIMA PL * SOL. OTIMA PGP *
1 2 5 7.50129 .10000 .10000 .10000 .10000
2 5 6 101.20970 3.31521 62.86142 .10000 2.38797
3 3 11 197.69000 4.42382 3.75253 1.07472 1.22711
12 46 38 267.83450 2.60212 2.71434 1.32469 1.22728

Tabela 5.4 - C : Com projeção VMP = 1.4 .

d) ERR x ITP

Faremos a seguir a tabela de erro para cada resultado visto em (ii) :

$$\| x^* - x^{ITP} \|_{\infty} = \text{ERR} \times \text{ITP}$$

ITP	SP	CP > 1.2	CP > 1.4
1	260,29	260,40	260,99
2	202,21	166,16	166,69
3	181,08	70,16	70,14
4	129,97	.	.
5	76,91	.	.
6	68,26	.	.
7	30,44	.	.
8	6,69	.	.
9	0,81	.	.
10	0,81	.	.
11	0,78	.	.
12	0,21	0,0	0,0
13	0,16		
14	0,00		

Tabela 5.4 - D : ERR x ITP.

Podemos notar dois fatos neste exemplo :

a) A projeção tem um excelente desempenho nas primeiras iterações, quando a violação nas restrições é bem acentuada. Isto fica claro quando o valor VMP passa de 1,2 a 1,4 (ver tabela 5.3 - B e C).

A lição do exemplo anterior, o qual sugeria que projetar com pouca violação não trazia benefícios, fica claro agora. Valores superiores a 1,4 foram testados, porém sem melhoria. Para valores muito grandes tenderia ao caso sem projeção. Surge a questão : qual VMP escolher ? Provavelmente este valor dependerá da característica do problema em questão.

b) Quando comparamos as tabelas de erros dos casos (i) e

(ii) (ou diretamente no gráfico 5.2 ), até a iteração 6 não houve diferença substancial entre condensar na mais violada ou em todas violadas, embora neste último a 6ª iteração apresente 23 restrições no PL, enquanto que a primeira tinha apenas 10.

Apresentaremos a seguir dois exemplos. O primeiro, é um caso onde as restrições são monomiais e o segundo exemplo trata de um problema onde todas restrições são não-lineares e obtiveram resultados diferentes dos demais.

### Exemplo 5.3 :

Considere o seguinte problema posinomial :

$$\begin{aligned}
 \min \quad & x_0 \\
 \text{sujeito a} \quad & 2x_0^{-1} x_1 x_2^{1/2} + 5x_0^{-1} x_2 x_3^{-1} x_4^2 + 3x_0^{-1} x_2^{-1} x_3^2 \leq 1 \\
 & 5.94 x_1 x_2^{1.475} x_3^{-1.95} x_4 \leq 1 \\
 & 2.0 x_1^{-1} x_2^{-1} x_3^{-1} \leq 1 \\
 & 0.001 \leq x_j \leq 1000.0 \quad j = 0, 1, 2, 3, 4
 \end{aligned}$$

Ponto inicial  $x^0 = (1.0, 1.0, 1.0, 1.0, 1.0)$

i) Condensar a restrição mais violada :

Mostraremos apenas este caso (i) por achar irrelevante o caso (ii).

a) Sem projeção :

Programa : PCOMACP.FOR  
TOLERANCIA PGP = .000500

EXERCICIO Numero : 5.3

ITP * ITL * N.CO * SOL. DTIMA PL * SOL. DTIMA PGP *
1 5 3 1.90821
2.00000
.00100
1000.00000
66133
2 3 4 10.11743
1000.00000
.01059
.18894
1.17497
3 2 5 19.08244
24.20592
.10238
.80700
2.04217
4 2 6 22.87761
25.55379
.15224
.51411
2.24936
5 2 7 24.35209
11.98697
.21028
.83525
2.43350
6 2 8 26.83377
11.63476
.25609
.67126
2.55315
7 2 9 26.77489
8.22355
.28024
.86784
2.60983
8 2 10 26.97661
5.02364
.31852
1.24992
2.69250
9 2 11 27.15366
7.26136
.27381
1.00590
2.59512

ITP * ITL * N.CO * SOL. DTIMA PL * SOL. DTIMA PGP *
10 2 12 27.26147
8.07683
.24985
.88190
2.53786
11 3 13 27.47856
12.62937
.21984
.72034
2.45999
12 2 14 27.49850
10.23610
.24362
.80202
2.52230
13 2 15 27.51122
8.95180
.26012
.85891
2.56289
14 2 16 27.51993
9.88496
.24217
.83548
2.51864
15 2 17 27.52301
9.18118
.25233
.86330
2.54398
16 2 18 27.52904
7.94713
.27343
.92038
2.59425
17 2 19 27.52938
8.56333
.26116
.89431
2.56537
18 2 20 27.52958
8.93786
.25437
.87970
2.54897
18 41 20 27.52958
8.93786
.25437
.87970
2.54897

Tab. 5.5 - A : Sem projeção.

Tabela 5.5 - A : Sem projeção .

b) Com projeção :

VMP = 1.2

IIP	ITL	N.CO	SOL.	DTIHA	PL	SOL.	DTIHA	PGP
1	5	3	1.90821					
			2.00000					
			.00100					
			1000.00000					
			.88133					
2	3	4	10.25173					
			1000.00000					
			.01090					
			.18341					
			1.18351					
3	2	5	21.68887					
			12.28971					
			.15757					
			1.03281					
4	2	8	2.26829					
			23.80044					
			22.90169					
			.17059					
			.51192					
			2.31261					
5	2	7	25.26362					
			10.83301					
			.23230					
			.79475					
			2.49324					
8	2	8	26.51176					
			5.98236					
			.29717					
			1.12878					
			2.64738					
7	2	8	27.08727					
			8.89490					
			.29932					
			.96909					
			2.65205					
	2	10	27.18574					
			8.85358					
			.24260					
			.93117					
			2.51972					
8	2	11	27.34146					
			8.73602					
			.25763					
			.88884					
			2.55888					
10	2	12	27.47922					
			10.42028					
			.22873					
			.84852					
			2.47855					
11	2	13	27.60474					
			9.91179					
			.23973					
			.84170					
			2.51243					
12	2	14	27.51286					
			8.35087					
			.24286					
			.86071					
			2.52039					
13	2	15	27.52008					
			8.31993					
			.24701					
			.88875					
			2.53082					
14	2	18	27.53023					
			8.89667					
			.25179					
			.89281					
			2.54266					
14	32	16				27.53023		
						8.89667		
						.25179		
						.89281		
						2.54266		

VMP = 1.4

IIP	ITL	N.CO	SOL.	DTIHA	PL	SOL.	DTIHA	PGP
1	5	3	1.90821					
			2.00000					
			.00100					
			1000.00000					
			.88133					
2	3	4	10.25173					
			1000.00000					
			.01090					
			.18341					
			1.18351					
3	2	5	21.68887					
			12.28971					
			.15757					
			1.03281					
4	2	8	2.26829					
			23.80044					
			22.90169					
			.17059					
			.51192					
			2.31261					
5	2	7	25.26362					
			11.15531					
			.22951					
			.78118					
			2.48591					
8	2	8	26.51176					
			6.23718					
			.29170					
			1.09929					
			2.63542					
7	2	8	27.05958					
			7.11452					
			.29853					
			.94802					
			2.84800					
8	2	10	27.15838					
			8.99211					
			.24308					
			.91509					
			2.52088					
8	2	11	27.35500					
			8.98770					
			.25635					
			.87001					
			2.55379					
10	2	12	27.48129					
			10.47751					
			.22813					
			.83673					
			2.48227					
11	2	13	27.49487					
			9.28547					
			.24478					
			.88000					
			2.52518					
12	3	14	27.51892					
			7.71337					
			.27316					
			.94923					
			2.59361					
13	2	15	27.52013					
			8.48315					
			.26009					
			.90645					
			2.56283					
14	2	16	27.52089					
			9.00915					
			.25215					
			.80040					
			2.54355					
14	33	16				27.52089		
						9.00915		
						.25215		
						.80040		
						2.54355		

VMP = 1.2

VMP = 1.4

Tabelas 5.6 - A e B : Com projeção.



Este exemplo é um caso em que apenas uma restrição é violada desde a iteração ITP = 1 até a última. Com isto a condenção em todas violadas geraria a mesma sequência.

**Exemplo 5.4 :**

Considere o seguinte problema posinomial :

$$\begin{aligned} \min \quad & x_0 \\ \text{sujeito a} \quad & g_k(x) = \sum_{i=0}^{T_k} \theta_{ki} \prod_{j=0}^N x_j^{\varphi_{kij}} \leq 1 \quad k = 0, 1, 2, 3 \\ & 0.1 \leq x_0 \leq 10.0 \\ & 0.1 \leq x_j \leq 100.0 \quad j = 1, 2, \dots, 12 \end{aligned}$$

onde

$$T_0 = 1 \quad T_1 = 4 \quad T_2 = 12 \quad T_3 = 14$$

Tabela dos valores de  $\theta_{ki}$  :

i	$\theta_{0i}$	$\theta_{1i}$	$\theta_{2i}$	$\theta_{3i}$
1	100000	0.05367379	$10^{-6}$	$10^{-6}$
2	--	0.02186375	$10^{-5}$	$10^{-5}$
3		0.09773359	$10^{-6}$	$10^{-6}$
4		0.06694080	$10^{-10}$	$10^{-9}$
5		--	$10^{-8}$	$10^{-9}$
6			$10^{-2}$	$10^{-3}$
7			$10^{-4}$	$10^{-3}$
8			0.10898645	0.10898645
9			1.61080E-4	1.6108052E-05
10			1.00 E-23	1.0 E-23
11			1.93045E-6	1.9304541E-08
12			0.001	0.00001
13			-- --	1.1184059E-04
14				0.0001

- Valores de  $\rho_{kij}$  :

j	$\rho_{01j}$	j	$\rho_{01j}$
1	-0.001331720	7	-0.008092
2	-0.002270927	8	-0.005
3	-0.002485460	9	-0.000909
4	-4.67	10	-0.00088
5	-4.671973	11	-0.00119
6	-0.008140		

k	i	j	$\rho_{kij}$	k	i	j	$\rho_{kij}$
1	1	1	1.0	2	11	5	1.0
1	2	2	1.0	2	11	12	-2.0
1	3	3	1.0	2	12	10	1.0
1	4	4	1.0	2	12	12	-1.0
1	4	5	1.0	3	1	1	1.0
2	1	1	1.0	3	2	2	1.0
2	2	2	1.0	3	3	3	1.0
2	3	3	1.0	3	4	4	1.0
2	4	4	1.0	3	5	5	1.0
2	4	12	1.0	3	6	7	1.0
2	5	5	1.0	3	7	8	1.0
2	5	12	-1.0	3	8	4	1.0
2	6	6	1.0	3	8	5	1.0
2	6	12	-1.0	3	9	2	1.0
2	7	7	1.0	3	9	5	1.0
2	7	12	1.0	3	10	2	1.0
2	8	4	1.0	3	10	4	1.0
2	8	5	1.0	3	10	5	1.0
2	9	2	1.0	3	11	2	1.0
2	9	5	1.0	3	11	4	-1.0
2	9	12	-1.0	3	11	5	1.0
2	10	2	1.0	3	12	9	1.0
2	10	4	1.0	3	13	1	1.0
2	10	5	1.0	3	13	9	1.0
2	11	2	1.0	3	14	11	1.0
2	11	4	-1.0	-	-	-	-

1) Condensar a restrição mais violada :

a) Sem Projeção :

Programa : PCOMASP.FOR  
TOLERANCIA PGP = .00050

EXEMPLO Numero : 5.4

ITP	ITL	N.CO	SOL. OTIMA PL	SOL. OTIMA PGP
1	5	4	2.89874	
2	2	5	2.90383	
3	3	6	2.90508	
4	2	7	2.91450	
5	3	8	2.93764	
6	2	9	2.93920	
7	2	10	2.93986	
8	2	11	2.96488	
9	2	12	2.96644	
10	3	13	2.99720	
11	3	14	2.99996	
12	2	15	3.00027	
13	2	16	3.00366	
14	5	17	3.07871	
15	2	18	3.07997	
16	2	19	3.09598	
17	2	20	3.09600	
18	2	21	3.09604	
19	3	22	3.09803	
20	8	23	3.13053	
21	2	24	3.13096	
22	2	25	3.13115	
23	2	26	3.13128	
24	3	27	3.13165	
25	4	28	3.13320	
26	2	29	3.13327	
27	2	30	3.13343	
28	2	31	3.13355	
29	2	32	3.13356	
30	6	33	3.13841	
31	3	34	3.13845	
32	5	35	3.13916	
33	5	36	3.13966	
34	2	37	3.13967	
35	4	38	3.14016	
36	2	39	3.14032	
37	3	40	3.15062	
38	3	41	3.15200	
39	2	42	3.15477	
40	2	43	3.15479	
41	2	44	3.15610	
42	12	45	3.16066	
43	3	46	3.16187	
44	2	47	3.16188	
45	2	48	3.16284	
46	2	49	3.16663	
47	2	50	3.16701	
48	2	51	3.16745	
49	3	52	3.16866	
50	2	53	3.16874	
51	3	54	3.16881	
52	5	55	3.17040	
53	3	56	3.17111	
54	3	57	3.17147	
55	2	58	3.17148	
56	2	59	3.17206	

ITP	ITL	NRPL	SOL. OTIMA PGP
56	165	59	3.17206
			1.12450
			1.23005
			3.09296
			.51729
			17.64209
			1.44298
			4.00913
			2.75807
			5.81009
			1.07757
			5.20111
			8.32296

Tabela 5.7 - A : Sem projecao.

b) Com projeção :

VMP = 1.2

Programa : PCOMACP.FOR  
 VMP = 1.2  
 TOLERANCIA POP = .000500  
 EXEMPLO Numero : 5.4

ITP	ITL	N.CO	SOL. OTIMA PL	SOL. OTIMA POP
1	5	4	2.89874	
2	2	5	2.90722	
3	3	6	2.91347	
4	2	7	2.91885	
5	2	8	2.94285	
6	2	9	2.94485	
7	2	10	2.96087	
8	2	11	2.96894	
9	3	12	2.98189	
10	2	13	2.98285	
11	2	14	2.98353	
12	2	15	2.99640	
13	2	16	3.00026	
14	2	17	3.00361	
15	3	18	3.08181	
16	3	19	3.08350	
17	6	20	3.09064	
18	4	21	3.11048	
19	3	22	3.11092	
20	3	23	3.11103	
21	6	24	3.12056	
22	2	25	3.12099	
23	2	26	3.12099	
24	10	27	3.13059	
25	5	28	3.13353	
26	4	29	3.13713	
27	2	30	3.13733	
28	2	31	3.13741	
29	7	32	3.13848	
30	3	33	3.13865	
31	2	34	3.13888	
32	4	35	3.14087	
33	2	36	3.14089	
34	9	37	3.14206	
35	2	38	3.14297	
36	2	39	3.14299	
37	3	40	3.14630	
38	2	41	3.14632	
39	3	42	3.15706	
40	2	43	3.15708	
41	2	44	3.15815	
42	2	45	3.15854	
43	2	46	3.15856	
44	11	47	3.16101	
45	2	48	3.16125	
46	2	49	3.16129	
47	7	50	3.16270	
48	2	51	3.16270	
49	4	52	3.16651	
50	3	53	3.16694	
51	3	54	3.16935	
52	2	55	3.17007	
53	2	56	3.17265	
54	2	57	3.17265	
55	3	58	3.17338	
56	3	59	3.17467	
57	4	60	3.17490	
58	3	61	3.17649	
59	3	62	3.17808	
60	2	63	3.17863	
60	195	63	3.17863	
			1.12310	
			1.32311	
			3.07616	
			.22036	
			41.39471	
			2.43116	
			2.71354	
			1.75930	
			1.42818	
			2.55744	
			7.67564	
			12.19078	

Tabela 5.7 - B : Com projeção VMP = 1.2

VMP = 1.4

Programa : PCOMACP.FOR  
 TOLERANCIA POP = .000500  
 VMP = 1.4  
 EXEMPLO Numero : 5.4

ITP	ITL	N.CO	SOL. OTIMA PL	SOL. OTIMA POP
1	5	4	2.89874	
2	2	5	2.90722	
3	3	6	2.91347	
4	2	7	2.91885	
5	2	8	2.94437	
6	2	9	2.94634	
7	2	10	2.96929	
8	2	11	2.97018	
9	3	12	2.98136	
10	2	13	2.98326	
11	2	14	2.99739	
12	2	15	2.99797	
13	2	16	3.00176	
14	2	17	3.00513	
15	3	18	3.08035	
16	4	19	3.09436	
17	2	20	3.09456	
18	6	21	3.11689	
19	3	22	3.11771	
20	2	23	3.11773	
21	2	24	3.11776	
22	2	25	3.11825	
23	2	26	3.11830	
24	7	27	3.13776	
25	4	28	3.13862	
26	5	29	3.13875	
27	2	30	3.13875	
28	4	31	3.13984	
29	3	32	3.14004	
30	3	33	3.14011	
31	2	34	3.14017	
32	2	35	3.14020	
33	3	36	3.14138	
34	2	37	3.14153	
35	2	38	3.14408	
36	2	39	3.14471	
37	11	40	3.14672	
38	4	41	3.14995	
39	2	42	3.15004	
40	2	43	3.15015	
41	8	44	3.15473	
42	6	45	3.15645	
43	2	46	3.15660	
44	2	47	3.15660	
45	2	48	3.15662	
46	3	49	3.15750	
47	9	50	3.16286	
48	3	51	3.16608	
49	3	52	3.16690	
50	3	53	3.16835	
51	2	54	3.16880	
52	7	55	3.16945	
53	3	56	3.17123	
54	2	57	3.17175	
55	2	58	3.17183	
56	2	59	3.17206	
57	3	60	3.17206	
58	2	61	3.17207	
58	183	61	3.17207	
			1.08363	
			1.34741	
			3.08589	
			.46132	
			19.78500	
			1.07606	
			4.68186	
			2.87715	
			5.07811	
			2.05219	
			5.42653	
			5.20968	

Tabela 5.7 - C : Com projeção VMP = 1.4

ii) Condensar todas as restrições violadas :

a) Sem Projeção :

Programa : PCOTO9P.FOR  
TOLERANCIA PGP = .00050

EXEMPLO Numero : 5.4

ITP \* ITL \* N.CO \* SOL. OTIMA PL \* SOL. OTIMA PGP \*

Xo			
1	5	4	2.89874
2	5	7	2.90608
3	5	10	2.93895
4	7	13	2.96269
5	5	16	2.98267
6	6	19	3.05497
7	11	22	3.08136
8	5	25	3.09325
9	6	28	3.09705
10	4	31	3.10379
11	9	34	3.11417
12	11	37	3.12592
13	7	40	3.12089
14	11	43	3.14332
15	6	46	3.14766
16	6	49	3.16203
17	4	52	3.16337
18	4	55	3.16517
19	7	58	3.16609
20	11	61	3.17004
21	4	64	3.17049
22	3	65	3.17106
23	3	66	3.17140
-----			
23	147	66	3.17140
			1.12989
			1.32894
			3.06498
			.89860
			10.15743
			1.21130
			4.88488
			2.85450
			3.14621
			1.81729
			9.30608
			5.26806

Tabela 5.8 - A : Sem projeção .

b) Com projeção :

Programa : PCOTOCP.FOR  
TOLERANCIA PGP = .00050  
VMP = 1.4  
EXEMPLO Numero : 5.4

ITP \* ITL \* N.CO \* SOL. OTIMA PL \* SOL. OTIMA PGP \*

Xo			
1	5	4	2.89874
2	5	7	2.91292
3	4	10	2.94786
4	4	13	2.97352
5	7	16	3.00285
6	5	19	3.04361
7	10	22	3.08699
8	9	25	3.09697
9	11	28	3.10940
10	13	31	3.12014
11	8	34	3.13118
12	5	37	3.13502
13	9	40	3.15637
14	21	43	3.16274
15	9	46	3.16485
16	6	49	3.16649
17	9	52	3.16762
18	11	55	3.16989
19	4	58	3.17014
20	3	59	3.17137
21	7	61	3.17215
22	5	64	3.17294
-----			
22	170	64	3.17294
			1.17246
			1.36169
			3.03586
			.43481
			20.99300
			1.81483
			3.02721
			2.15454
			2.87607
			2.13880
			7.47516
			0.86513

Tabela 5.8 - B : Com projeção VMP = 1.4

VMP = 3.0  
EXEMPLO Numero : 5.4

ITP \* ITL \* N.CO \* SOL. OTIMA PL \* SOL. OTIMA PGP \*

Xo			
1	5	4	2.89874
2	5	7	2.90808
3	4	10	2.94208
4	3	13	2.97038
5	7	16	3.03633
6	8	19	3.06430
7	6	22	3.07030
8	11	25	3.09711
9	4	28	3.10161
10	15	31	3.11990
11	9	34	3.13174
12	11	37	3.13808
13	9	40	3.14772
14	15	43	3.15390
15	14	46	3.16121
16	5	49	3.16438
17	4	52	3.16725
18	10	55	3.16943
19	16	58	3.17028
20	9	60	3.17179
21	3	61	3.17239
-----			
21	173	61	3.17239
			1.16383
			1.38148
			3.03116
			.85319
			10.70424
			.91573
			4.90923
			2.54525
			6.10253
			1.33590
			5.26997
			4.98384

Tabela 5.8 - C : Com projeção VMP = 3.0

Neste exemplo não houve grandes relações, e como já havíamos previsto anteriormente a projeção não trouxe grandes melhorias. Foram observadas situações onde a projeção na restrição mais violada fazia com que outras se tornassem a mais violada, como ilustrada na figura 5.3 .

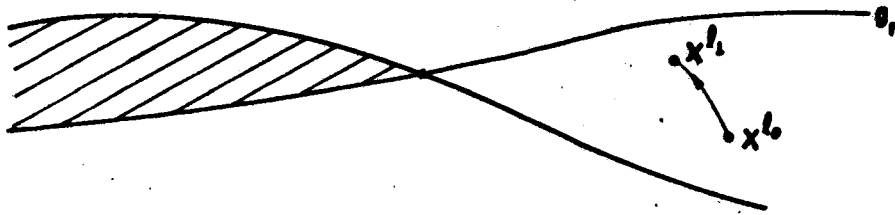


Figura 5.3

Outra observação que podemos fazer é que o VMP agora deve ser bem maior que o exemplo anterior. A projeção começa a surtir efeito quando  $VMP \geq 2.05$  (valores de VMP variando de 0.01 a partir de 2.0 foram testados), enquanto que no exemplo anterior 1.4 já fazia diferença. Estes valores, naturalmente como já foi observado, devem depender do problema em questão.

#### 5.4 - Experiências numéricas com problemas Signomiais :

Voltaremos agora ao exemplo dado nos capítulos anteriores, e mostraremos os resultados computacionais obtidos, iniciando de vários pontos factíveis. Faremos uma comparação entre o número de vezes que foram acionados os programas (rotinas) do PGP e PL (denotamos por ITP e ITL ). Os símbolos utilizados são :

ITG : Iteração do programa PGG,

ITP : Número total de iterações do PGP na iteração ITG,

ITL : Número total de iterações do PL na iteração ITG,

ITTL : Total final de iterações do PL.

**Exemplo 5.5 :**

Consideremos o mesmo problema de Programação Geométrica do capítulo II.

$$\begin{aligned} \min \quad & x_0 \\ \text{sujeito a} \quad & x_1/4 + x_2/2 - x_1^2/16 - x_2^2/16 \leq 1 \\ & x_1^2/(6x_2) + x_2/6 + 7/(3x_2) - x_1/x_2 \leq 1 \\ & 1.0 \leq x_1 \leq 5.5 \\ & 1.0 \leq x_2 \leq 5.5 \end{aligned}$$

A) Ponto inicial adotado  $x^0 = (4.0, 4.5)$

i) Condensar a restrição mais violada :

Ponto inicial  $x = (4.0, 4.5)$

TOLER.PGG = .00050

Programa PGGPRCM.FOR

ALFA = .0000

ITG * ITP * ITL * SDL.FIN.PL * SDL.FIN.PGP * SDL.FIN.PGG	ITG * ITP * ITL * SDL.FIN.PL * SDL.FIN.PGP * SDL.FIN.PGG
0 1 3 3.85775 4.85210	0 1 3 3.85775 4.85210
0 2 2 3.87223 4.78570	0 2 2 3.87254 4.78427
0 3 2 3.88394 4.78189	0 3 2 3.88423 4.78023
0 3 3.88394 4.78189	0 3 3.88423 4.78023
1 1 3 3.82436 4.82409	1 1 3 3.82441 4.82413
1 1 3.82436 4.82409	1 1 3.82441 4.82413
2 1 3 3.82288 4.82287	2 1 3 3.82288 4.82287
2 1 3.82288 4.82287	2 1 3.82288 4.82287
3 1 3 3.82288 4.82287	3 1 3 3.82288 4.82287
3 1 3.82288 4.82287	3 1 3.82288 4.82287
ITG * ITP * ITL * *** RESULTADOS FINAIS ***	ITG * ITP * ITL * *** RESULTADOS FINAIS ***
3 6 16 3.82288 4.82287	3 6 16 3.82288 4.82287

Tab. 5.9 - A : Sem Projecção.

Tab. 5.9 - B : Com Projecção.

ii) Condensar todas as restrições violadas :

Nome do programa : PGGPCT.FDR

ITG * ITP * ITL * SOL.FIN.PL * SOL.FIN.PGP * SOL.FIN.PGG	ITG * ITP * ITL * SOL.FIN.PL * SOL.FIN.PGP * SOL.FIN.PGG
0 1 3 3.85775 4.85210	0 1 3 3.85775 4.85210
0 2 3 3.88339 4.78207	0 2 3 3.88379 4.78038
0 2 3.88339 4.78207	0 2 3.88379 4.78038
1 1 3 3.82434 4.82407	1 1 3 3.82439 4.82412
1 1 3.82434 4.82407	1 1 3.82439 4.82412
2 1 3 3.82288 4.82288	2 1 3 3.82288 4.82287
2 1 3.82288 4.82288	2 1 3.82288 4.82287
3 1 3 3.82288 4.82287	3 1 3 3.82288 4.82287
3 1 3.82288 4.82287	3 1 3.82288 4.82287

ITG * ITTP* ITTL * *** RESULTADOS FINAIS *** SOL.PGG	ITG * ITTP* ITTL * *** RESULTADOS FINAIS *** SOL.PGG
3 5 15 3.82288 4.82287	3 5 15 3.82288 4.82287

Tab. 5.10 - A : Sem Projeco.

Tab. 5.10 - B : Com Projeco.

B) Fase 1 : Esta fase, dada em (3.27), utiliza o mesmo programa PGG mas o teste de parada é  $w = 1$ .

$$\begin{aligned} \min \quad & w \\ \text{sujeito a} \quad & p_1(x) - q_1(x) \leq w \\ & p_2(x) - q_2(x) \leq w \\ & 1.0 \leq w \leq 2.5 \\ & 1.0 \leq x_1 \leq 3.5 \\ & 1.0 \leq x_2 \leq 5.5 \end{aligned}$$

Neste exemplo, o limite superior de  $x_1$  foi alterado no sentido de excluir a soluo local (3.823, 4.823). Assim, se for



possível encontrar  $w^* = 1$ , significa que temos uma solução factível melhor que a anterior. Esta será usada então, como ponto inicial (Fase II). O limitante superior de  $w$  é encontrado substituindo o ponto  $\bar{x}_j$  para  $j = 1, 2$ .

FASE 1 (teste de parada  $w=1.0$ )

ITG *	ITP *	ITL *	SOL.FIN.PL *	SOL.FIN.PGP *	SOL.FIN.PGG *
0	1	2	1.00000		
			1.21453		
			1.00000		
0	2	4	1.01146		
			3.50000		
			1.77706		
0	3	7	1.06150		
			2.15255		
			1.73647		
0	4	7	1.09402		
			2.90759		
			2.30822		
0	5	2	1.09686		
			2.42003		
			2.13261		
0	6	2	1.10280		
			1.65165		
			1.80877		
0	7	2	1.10860		
			1.73075		
			1.89540		
0	8	2	1.11707		
			1.92677		
			1.89236		
0	9	2	1.11753		
			1.78617		
			1.87557		
0	10	2	1.11779		
			1.71056		
			1.86618		
0	10			1.11779	
				1.71056	
				1.86618	
1	1	2	1.00000		
			2.80729		
			1.00000		
1	2	2	1.00000		
			2.06371		
			1.27401		
1	3	2	1.00000		
			2.59053		
			1.43252		
1	4	3	1.00000		
			3.50000		
			1.68817		
1	5	2	1.00000		
			2.92069		
			1.57692		
1	6	2	1.00000		
			2.89387		
			1.59612		
ITG *	ITP *	ITL *	SOL.FIN.PL *	SOL.FIN.PGP *	SOL.FIN.PGG *
1	7	2	1.00000		
			2.87731		
			1.59009		
1	7			1.00000	
				2.87731	
				1.59009	

Tabela 5.11 - A : Fase 1.

Fase 2 : O ponto inicial será agora o ponto obtido na

fase 1.

$$x^* = (2.87731, 1.59009)$$

i) Condensar a restrição mais violada :

Programa = PBGPRCM.FOR  
 Ponto Inicial Xo=(2.87731,1.59009)  
 TOLER.PGG = .00500

ALFA = .0000						ALFA = 1.0000					
ITG	ITP	ITL	SOL.FIN.PL	SOL.FIN.PGP	SOL.FIN.PGG	ITG	ITP	ITL	SOL.FIN.PL	SOL.FIN.PGP	SOL.FIN.PGG
0	1	1	1.00000			0	1	1	1.00000		
			1.00000						1.00000		
0	2	3	1.51618			0	2	3	1.67174		
			1.63655						1.70576		
0	3	2	1.72966			0	3	2	1.74078		
			1.73059						1.58484		
0	4	2	1.75550			0	4	2	1.78124		
			1.59613						1.60598		
0	5	2	1.77991			0	4			1.78124	
			1.60930							1.60598	
0	6	2	1.78103			1	1	3	1.15910		
			1.60581						2.12257		
0	6			1.78103		1	2	2	1.40896		
				1.60581					2.05727		
1	1	3	1.15914			1	3	2	1.41452		
			2.12261						1.95687		
1	2	2	1.38907			1	4	2	1.42741		
			2.06197						1.95781		
1	3	2	1.39285			1	4			1.42741	
			1.95635							1.95781	
1	4	2	1.42653			2	1	3	1.17951		
			1.95999						2.16507		
1	5	2	1.42695			2	2	2	1.22969		
			1.95776						2.14608		
1	5			1.42695		2	3	2	1.23591		
				1.95776					2.11774		
2	1	3	1.17951			2	3			1.23591	
			2.16509							2.11774	
2	2	2	1.22919			3	1	3	1.17747		
			2.14628						2.17626		
2	3	2	1.23563			3	2	2	1.18158		
			2.11799						2.17446		
2	4	2	1.23816			3	2			1.18158	
			2.11762							2.17446	
2	4			1.23816		4	1	3	1.17713		
				2.11762					2.17712		
3	1	3	1.17750			4	1			1.17713	
			2.17623							2.17712	
3	2	2	1.18178								
			2.17436								
3	2			1.18178							
				2.17436							
4	1	3	1.17713								
			2.17712								
4	1			1.17713							
				2.17712							
*** RESULTADOS FINAIS ***						*** RESULTADOS FINAIS ***					
ITG	ITP	ITL				ITG	ITP	ITL			
4	18	40				4	14	32			
SOL.PGG						SOL.PG					
1.17713						1.1771					
2.17712						2.1771					

Tab. 5.11 - B: (SP)

Tab. 5.11 - C : (CP)

ii) Condensar todas as restrições violadas :

Programa = PGGPCT.FOR													
ALFA = 0.00													
ITG * ITP * ITL * SOL.FIN.PL * SOL.FIN.PGP * SOL.FIN.PGG *						ITG * ITP * ITL * SOL.FIN.PL * SOL.FIN.PGP * SOL.FIN.PGG *							
0 1 1	1.00000					0 1 1	1.00000						
0 2 3	1.51618					0 2 3	1.67174						
0 3 3	1.75420					0 3 3	1.70576						
0 4 3	1.60259					0 4 2	1.77503						
0 4	1.78100					0 4	1.60275						
1 1 3	1.15914					0 4	1.78128			1.78128			
1 2 3	1.39205					0 4	1.60600			1.60600			
1 3 3	1.97749					1 1 3	1.15909						
1 3	1.42661					1 2 3	2.12256						
1 3	1.95821					1 2 3	1.41395						
2 1 3	1.17951					1 3 3	1.96691						
2 2 3	1.23506					1 3 3	1.42735						
2 3 2	1.23745					1 3	1.95780						
2 3	2.11972					2 1 3	1.17951				1.42735		
3 1 3	1.17749					2 2 3	2.16507				1.95780		
3 2 2	1.18159					2 2 3	1.23564						
3 2	2.17448					2 2	2.11889				1.23564		
4 1 3	1.17713					3 1 3	1.17747				2.11889		
4 1	2.17712					3 2 2	2.17628						
						3 2	1.18149						
						3 2	2.17452				1.18149		
						4 1 3	1.17713				2.17452		
						4 1	2.17712						
						4 1					1.17713		
											2.17712		
ITG * ITP * ITL * SOL.FIN.PL * SOL.FIN.PGP * SOL.FIN.PGG *	*** RESULTADOS FINAIS ***					SOL.PGG	ITG * ITP * ITL * SOL.FIN.PL * SOL.FIN.PGP * SOL.FIN.PGG *	*** RESULTADOS FINAIS ***					SOL.PGG
4 13 35						1.17713	4 12 32						1.1771
						2.17712							2.1771

Tab. 5.12 - A : (SP)

Tab. 5.12 - B : (CP)

Assim, a Fase 1 pode ser usada para obtenção de um ponto factível, como também, conforme o exemplo acima, para "escapar" do ótimo local.

C) Ponto inicial :  $x^0 = (4.8, 3.9)$

1) Condensar a restrição mais violada :

PUNTO INICIAL NO PGG			
XC	1)	2)	
			4.8000000
			3.8000000
TOLER.PGG = .00050			
Nome do programa : PGGPRM.FOR			
ALFA = .0000			
ITG	ITP	ITL	SOL.FIN.PGG
0	1	2	3.52001
			1.00000
0	2	2	3.67974
			1.54433
0	3	2	3.83289
			2.30230
0	4	2	3.91274
			2.81739
0	5	2	3.95390
			3.12148
0	6	2	3.95438
			2.98101
			3.95438
			2.98101
1	1	2	2.31901
			1.00000
1	2	2	2.48839
			1.18632
1	3	2	2.75797
			1.17143
1	4	2	2.78115
			1.22453
1	5	2	2.78965
			1.22604
			2.78965
			1.22604
2	1	2	1.00000
			1.17700
2	2	4	1.62825
			1.84348
2	3	2	1.59318
			1.55805
2	4	2	1.91092
			1.86074
2	5	2	1.91459
			1.63754
2	6	2	1.83688
			1.84878
			1.93688
			1.84878
3	1	3	1.12094
			2.08149
3	2	2	1.41198
			2.03705
3	3	2	1.41558
			1.91620
3	4	2	1.46108
			1.92549
3	5	2	1.46168
			1.92243
			1.46168
			1.92243
4	1	3	1.17939
			2.16181
4	2	2	1.24222
			2.13658
4	3	2	1.24929
			2.10404
4	4	2	1.25305
			2.10361
			1.25305
			2.10361
5	1	3	1.17767
			2.17577
5	2	2	1.18408
			2.17300
5	3	2	1.18568
			2.16854
			1.18568
			2.16854
6	1	3	1.17713
			2.17711
			1.17713
			2.17711
7	1	3	1.17712
			2.17713
			1.17712
			2.17713
*** RESULTADOS FINAIS ***			
ITG	ITP	ITL	SOL.PGG
7	31	89	1.17712
			2.17713

Tab. 5.13 - A : (SP)

ALFA = 1.0000			
ITG	ITP	ITL	SOL.FIN.PGG
0	1	2	3.52001
			1.00000
0	2	2	3.66634
			1.49012
0	3	2	3.80758
			2.15784
0	4	2	3.88761
			2.64515
0	5	2	3.93686
			2.99220
0	6	2	3.95034
			2.80684
			3.95034
			2.80684
1	1	2	2.17952
			1.00000
1	2	2	2.36453
			1.18436
1	3	2	2.48298
			1.16921
1	4	2	2.48940
			1.17894
			2.48940
			1.17894
2	1	2	1.00000
			1.74808
2	2	4	1.83865
			1.98686
2	3	2	1.85392
			1.71202
2	4	2	1.86768
			1.71610
			1.86768
			1.71610
3	1	3	1.13705
			2.09663
3	2	2	1.40046
			2.05017
3	3	2	1.40750
			1.95291
3	4	2	1.41942
			1.95451
			1.41942
			1.95451
4	1	3	1.17949
			2.16536
4	2	2	1.22854
			2.14662
4	3	2	1.23467
			2.11896
			1.23467
			2.11896
5	1	3	1.17745
			2.17629
5	2	2	1.18140
			2.17456
			1.18140
			2.17456
6	1	3	1.17713
			2.17712
			1.17713
			2.17712
7	1	3	1.17713
			2.17712
			1.17713
			2.17712
*** RESULTADOS FINAIS ***			
ITG	ITP	ITL	SOL.PGG
7	25	57	1.17713
			2.17712

Tab. 5.13 - B : (CP)

ii) Condensar todas restrições violadas :

Nome do programa : PGGPCT.FOR						
ALFA = 0.0000						
ITG * ITP * ITL * SOL.FIN.PL * SOL.FIN.PGP * SOL.FIN.PGG *						
0	1	2	3.52001			
			1.00000			
0	2	3	3.75068			
			1.86178			
0	3	2	3.86991			
			2.52950			
0	4	2	3.93189			
			2.95540			
0	5	2	3.94984			
			2.76782			
0	8	2	3.95327			
			2.86887			
0	6			3.95327		
				2.86887		
1	1	2	2.22305			
			1.00000			
1	2	3	2.56449			
			1.15337			
1	3	2	2.58270			
			1.18860			
1	3			2.58270		
				1.18860		
2	1	2	1.00000			
			1.57101			
2	2	4	1.69435			
			1.68771			
2	3	3	1.87792			
			1.69434			
2	4	3	1.89293			
			1.69586			
2	4			1.89293		
				1.69586		
3	1	3	1.13128			
			2.09069			
3	2	3	1.39380			
			1.96399			
3	3	3	1.43235			
			1.94404			
3	3			1.43235		
				1.94404		
4	1	3	1.17950			
			2.16423			
4	2	3	1.23860			
			2.11653			
4	3	2	1.24126			
			2.11626			
4	3			1.24126		
				2.11626		
5	1	3	1.17754			
			2.17618			
5	2	3	1.18335			
			2.17091			
5	2			1.18335		
				2.17091		
6	1	3	1.17713			
			2.17712			
6	1			1.17713		
				2.17712		
7	1	3	1.17712			
			2.17712			
7	1			1.17712		
				2.17712		
ITG * ITP * ITL * SOL.FIN.PL * SOL.FIN.PGP * SOL.FIN.PGG *	*** RESULTADOS FINAIS ***					
7 23 61	SOL.PGG					
	1.17712					
	2.17712					

ALFA = 1.0000						
ITG * ITP * ITL * SOL.FIN.PL * SOL.FIN.PGP * SOL.FIN.PGG *						
0	1	2	3.52001			
			1.00000			
0	2	3	3.78394			
			2.03000			
0	3	2	3.87274			
			2.54767			
0	4	2	3.92789			
			2.92679			
0	5	2	3.95134			
			2.72355			
0	6	2	3.95336			
			2.82087			
0	6			3.95336		
				2.82087		
1	1	2	2.18549			
			1.00000			
1	2	3	2.48962			
			1.17083			
1	3	3	2.50978			
			1.18032			
1	3			2.50978		
				1.18032		
2	1	2	1.00000			
			1.71021			
2	2	4	1.85786			
			1.74160			
2	3	3	1.87332			
			1.71154			
2	3			1.87332		
				1.71154		
3	1	3	1.13581			
			2.09533			
3	2	3	1.40972			
			1.96115			
3	3	3	1.42244			
			1.95207			
3	3			1.42244		
				1.95207		
4	1	3	1.17950			
			2.16510			
4	2	3	1.23549			
			2.11902			
4	2			1.23549		
				2.11902		
5	1	3	1.17746			
			2.17629			
5	2	2	1.18147			
			2.17453			
5	2			1.18147		
				2.17453		
6	1	3	1.17713			
			2.17712			
6	1			1.17713		
				2.17712		
7	1	3	1.17712			
			2.17712			
7	1			1.17712		
				2.17712		
ITG * ITP * ITL * SOL.FIN.PL * SOL.FIN.PGP * SOL.FIN.PGG *	*** RESULTADOS FINAIS ***					
7 21 56	SOL.					
	1.17					
	2.17					

Tab. 5.14 - A : (SP)

5.14 - B : (CP)

Note que a projeção diminui um pouco o número de iterações do PGP e PL nos casos (i) e (ii) deste exemplo. Isto decorre das observações já feitas sobre a influência da projeção no PGP, isto é, se existem grandes violações, então a projeção tem um bom desempenho, caso contrário, pode até piorar a convergência.

## CAPÍTULO VI

### Conclusões e Perspectivas Futuras :

Neste trabalho revimos a teoria da Programação Geométrica e exploramos uma classe de métodos baseados no conceito de condensação ( cortes ). A idéia de Censor-Lent ( projeção ), para determinar soluções factíveis num convexo, foi usada para tentar acelerar a convergência dos métodos. A formula de "projeção" usada, explora a particularidade do problema em sua forma original. Mostramos, entretanto, que tal formula é equivalente à de Censor-Lent quando aplicada num problema transformado.

Os métodos foram implementados no computador, usando a linguagem FORTRAN 77, adotando-se as estratégias recomendadas na literatura : condensação apenas na restrição mais violada e em todas as restrições violadas. Para cada uma destas estratégias introduzimos também a projeção ( capítulo IV ).

O uso da projeção, ao contrário do que imaginávamos no início, nem sempre obteve sucesso. Organizamos os exemplos numéricos, neste trabalho, no sentido de induzir a razão deste fato. No exemplo 5.1 o efeito de se projetar foi desprezível. Neste exemplo as violações eram de pequenas proporções. Assim introduzimos um valor mínimo para projeção ( VMP ), fazendo com que a projeção somente fosse usada caso a violação fosse superior a VMP. O exemplo 5.2 mostra um caso com grandes violações e o efeito benéfico da projeção.

Outra observação, que coincide com a de [12], foi o melhor desempenho para a estratégia condensando todas as restrições violadas. Entretanto pudemos observar que esta

estratégia é muito superior quando estamos próximos da solução. As primeiras iterações usando a mais violada ou em todas violadas tiveram desempenhos ( a medida de desempenho usada aqui foi  $\|x^i - x^*\|_\infty$  ) semelhantes. Do ponto de vista computacional, a estratégia (ii) todas restrições violadas foi inferior, pelo menos inicialmente, pois condensou mais restrições e fez mais iterações nos programas lineares.

Combinando estas observações, feitas nos dois últimos parágrafos, parece-nos que uma estratégia ideal se delinea : "usar projeção até que o ponto satisfaça o critério do valor mínimo para projeção (VMP); e a partir daí, condensar em todas as restrições violadas ". Não apresentamos neste trabalho esta estratégia, a qual deixaremos para o passo seguinte quando pretendemos fazer um estudo mais profundo das observações aqui descritas.

A "faixa" para projeção, ditada por VMP, deve depender das características do problema em questão. Neste trabalho apenas mostramos a importância de VMP sem explorar qual o valor ideal para esta variável.

Apresentamos no capítulo III uma nova formulação para a fase 1, que apresenta uma vantagem sobre a formulação dada por Avriel e outros [2], uma vez que usa apenas uma variável artificial. O exemplo 5.5 - B, mostra um uso alternativo para a fase 1, além daquele de procurar um ponto factível para o PGG; ou seja, o de tentar obter o ótimo global, uma vez que a Programação Geométrica Generalizada admite ótimos locais, ao contrário da Programação Geométrica Posinomial.



## A P E N D I C E A

### Método das Projeções Cíclicas dos Subgradientes (PCS) :

#### 1 - Introdução :

O método das projeções cíclicas do subgradiente foi proposto por Censor & Lent [8], no intuito de resolver problemas de factibilidade convexa, tornando-o, assim, uma excelente ferramenta, graças às várias características existentes.

Determinar  $x$  tal que  $g_i(x) \leq 0$ ,  $i \in M = \{1, 2, \dots, m\}$ , onde  $g_i$  é função convexa.

Este método é iterativo e projeta nas restrições violadas, uma de cada vez, de ordem cíclica, não havendo assim nenhum esforço computacional para selecionar a função a ser usada na próxima iteração.

#### 2 - Método PCS :

Inicialização :  $x_0 \in Q$  é arbitrário.

Definição : Dado um conjunto  $Q \subseteq \mathbb{R}^n$  e um ponto  $x \in \mathbb{R}^n$ ,  $P_Q(x)$  denotará a Projeção Ortogonal de  $x$  sobre  $Q$ , isto é, o ponto tal que :

$$\| x - P_Q(x) \| = \inf_{z \in Q} \| x - z \|$$

Onde  $\| \cdot \|$  é a norma Euclidiana em  $\mathbb{R}^n$ . Se  $Q$  é fechado e não vazio, então  $P_Q(x)$  sempre existe e se  $Q$  é convexo, então  $P_Q(x)$  é unicamente determinado por  $x$ .

Passo único :

$$x^{i+1} = P_Q(\tilde{x}^{i+1}), \quad \text{com :}$$

$$\tilde{x}^{i+1} = x^i - \alpha_i \frac{g_{k_i}^+(x^i) t_k^i}{\|t_k^i\|^2}$$

onde  $k_i = i \pmod{n} + 1$ ,  $g_k^+(x) = \max \langle 0, g_k(x) \rangle$  e

$t_k^i \in \partial g_{k_i}^+(x^i) = \{ \text{conjunto dos subgradientes de } g_{k_i}^+ \text{ em } x^i \}$ .

$\{\alpha_i\}_{i=0}^{\infty}$  é uma sequência de parâmetros de relaxação confinada ao intervalo  $\varepsilon_1 \leq \alpha_i \leq 2 - \varepsilon_2$  com  $\varepsilon_1, \varepsilon_2 > 0$ , pequenos.

Teorema : Se

(i) As  $g_k(x)$  são funções contínuas e convexas em  $\mathbb{R}^n$  para todo

$k \in M$ ;

(ii)  $\exists$  um ponto factível;

(iii) Para algum  $\hat{x}$  existe uma constante  $T = T(\hat{x})$  tal que

$\|t\| \leq T$  factível para todo  $t \in \partial g_k^+(x)$ ; para todo

$k \in M$  e para todo  $x$  com  $\|x - \hat{x}\| \leq \|x^0 - \hat{x}\|$ .

Então, a sequência  $\{x^i\}$  gerada pelo método PCS converge

para uma solução do problema de factibilidade convexa,

isto é :

$$x^i \longrightarrow x^* \in S$$

onde  $S$  é o conjunto das soluções factíveis em  $\mathbb{R}^n$ .

A prova consiste nos seguintes passos :

1)  $\{x^i\}$  é uma sequência Fejer-Monotônica<sup>(\*)</sup> com respeito a

$S$ ,

2)  $\lim g_{k_i}^+(x^i) = 0$ ,

3)  $\|x^{i+1} - x^i\| \xrightarrow{i \rightarrow \infty} 0$ .

4) Para todo  $k \in M$  fixo,  $\lim_{i \rightarrow \infty} g_k^+(x^i) = 0$ ,

5)  $\lim_{i \rightarrow \infty} x^i = x^* \in S$ ,

(\*) Uma sequência  $\{x^i\}_{i=0}^{\infty}$  é chamada Fejer-Monotônica com respeito a um conjunto fechado  $S \subseteq \mathbb{R}^n$  se :

$$\|x^{i+1} - x\| \leq \|x^i - x\|; \forall i \geq 0, \forall x \in S.$$

# APÊNDICE B

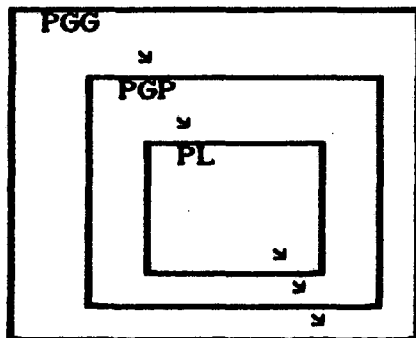
## PROGRAMAS E ROTINAS

### 1. Introdução :

Os métodos vistos nos capítulos III e IV desse trabalho e seus respectivos algoritmos, foram interligados em um só programa. Estes programas foram desenvolvidos na linguagem FORTRAN 77 e foram executados em micro computadores PCxt (16 bits).

Os programas estão assim estruturados :

PGG



Os métodos de cortes e projeção fazem parte do programa PGP, por isso foram feitos vários testes utilizando apenas o programa PGP, com diferentes estratégias (visto no capítulo V).

Achamos conveniente, separarmos os 3 programas, para um estudo mais detalhado. Os programas finais, foram colocados em apêndice como garantia de não se perderem.

### 2 - Programa que resolve um problema linear (PL) :

Este programa utiliza o método Dual Simplex. A entrada de dados é feita automaticamente, para o nosso caso, mas caso exista um problema linear a ser executado, colocaremos a subrotina que lê os dados iniciais.

Faremos a seguir um esquema do funcionamento do programa principal do PL .

Fluxo de informação :

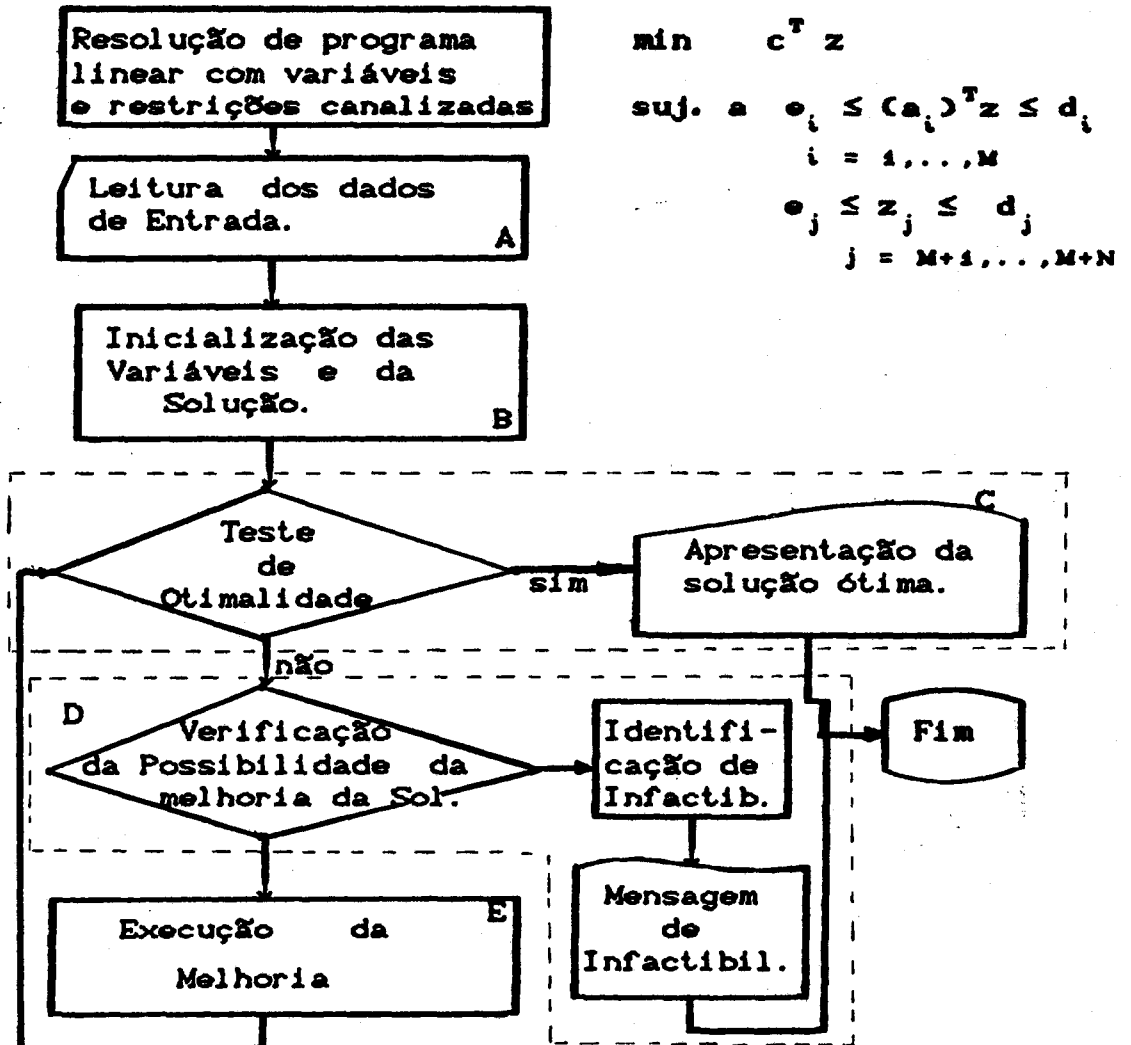


Fig. A - Fluxo de Informação de um PL.

O programa principal controla 5 subrotinas que completam o programa PL. Essas subrotinas serão mostradas mais a seguir, e cada subrotina está representada por uma letra de (A,B,C,D,E).

ilustrada na figura A.

### Fluxo de Informação das subrotinas utilizadas :

#### A) Subrotina LEITUR :

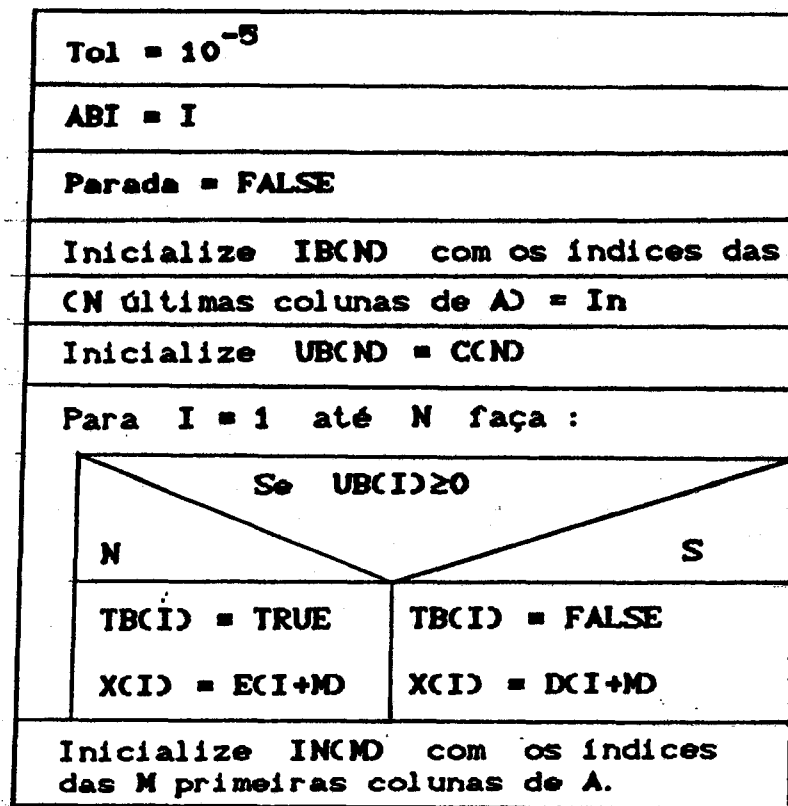
Esta subrotina só será utilizada em casos de problemas específicos de programação linear. No nosso caso, essa subrotina não foi utilizada, pois a leitura pode ser entendida como uma transferência de variáveis diretamente do problema original.

Leia $M, N$
Leia $CCND$
Leia $A$ por colunas
Leia $DCM+ND$
Leia $ECM+ND$

onde  $M$  é o número de restrições e  $N$  é o número de variáveis.  $DCM+ND$  e  $ECM+ND$  são os vetores dos limitantes superiores e inferiores, respectivamente, das restrições do problema.

#### B) Subrotina INICIA :

Neste procedimento definimos os valores iniciais das variáveis e limites de tolerância do problema.

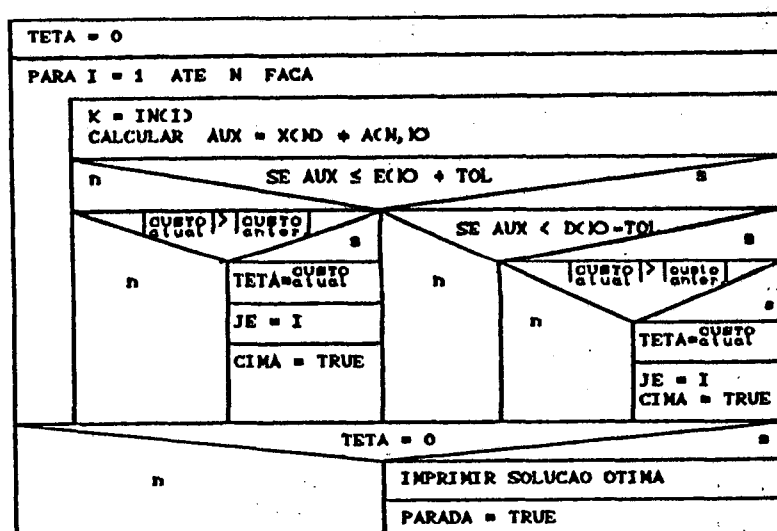


ABI = identidade

onde IBCND são os índices básicos e UBCND são os índices não básicos.

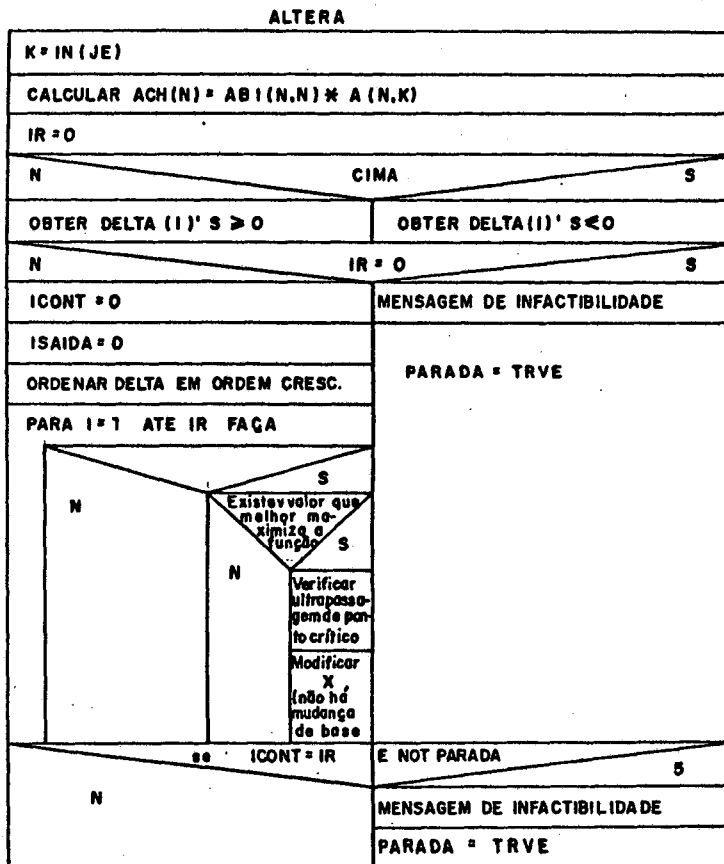
C) Subrotina TESOTI :

Verifica se a Solução é ótima. Se for, Imprime a solução ótima e a parada torna verdadeira (TRUE). Caso contrário, continua parada igual a falso(FALSE).



### D) Subrotina Altera

Promove a alteração das restrições que entram e saem da base. Neste procedimento é feita a identificação de infactibilidade, caso seja infactível será emitido uma mensagem.



### E) Subrotina ATUALI :

Faz a atualização das variáveis que entraram na base, dos índices básicos e não-básicos.



TB(K2) = CIMA
INC(JE) = IB(K2)
ATUALIZAR UBC(N)
ATUALIZAR ABIC(N,N)
ATUALIZAR X(N) (Com mudança de base)

Para utilizarmos esses procedimentos no PGG (e PGP) foi necessário acrescentarmos uma variável lógica e fazermos algumas adaptações como :

variável lógica : FACTVL →  $\begin{cases} \text{Se for factível} \rightarrow \text{TRUE} \\ \text{Caso contrário} \rightarrow \text{FALSE} \end{cases}$

Modificamos as mensagens da solução ótima, da entrada de dados, e não foi necessário usarmos z como variável (aproveitamos a própria variável x), etc.

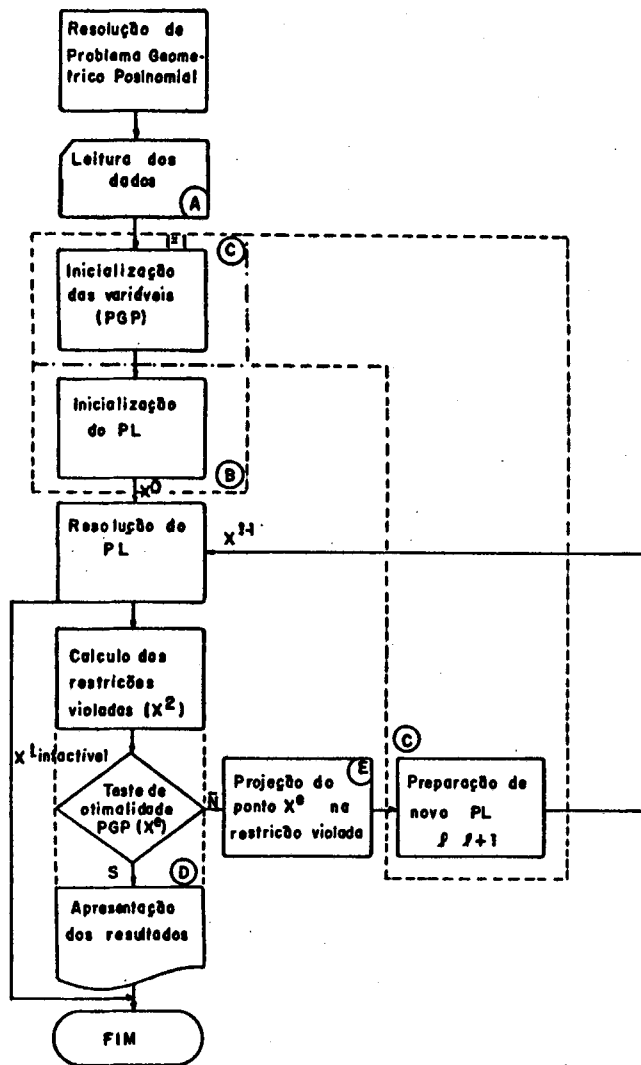
O programa PL, passará a ser representado agora por um simples procedimento de execução para o programa PGP, que veremos a seguir.

### 3 - Programa que resolve um PGP :

O programa PGP.FOR é o bloco mais importante de toda nossa programação, a saber, é nele que aplicaremos todas as nossas estratégias de execução.

A princípio, faremos um esquema geral do funcionamento do programa, onde apresentaremos as idéias dessas estratégias. A seguir daremos as rotinas pertencentes a esta fase. Foram feitos quatro programas diferentes nesta fase, onde comentaremos sobre eles no final desta seção.

## Fluxo de Informação (PGP) :



$$\begin{aligned} \min \quad & x_0 \\ \text{sujeito a} \quad & g_k(x) \leq 1 \quad k=0, \dots, K \\ & 0 < x_j \leq x_j \leq \bar{x}_j \quad j=0, \dots, N \end{aligned}$$

Note que, existem duas maneiras de encerrarmos esse procedimento :

- i) Ocorrência de infactibilidade no programa PL e
- ii) Solução ótima no PGP (ponto factível em PGP).

As letras colocadas no diagrama, mostram as fases de utilização das subrotinas pertencentes a este programa, as quais apresentaremos a seguir.

**A) Rotina LERPGP :**

A função desta rotina é ler os dados de entrada do problema PGP a ser resolvido.

LER KZAO, NZAO
LER O NÚMERO DE MONÔMIOS ( $T_k$ ) EM CADA RESTRIÇÃO $g_k(x)$
LER OS COEFICIENTES $\theta_{ki}$ POR LINHA ( $g_k$ )
LER OS EXPOENTES $p_{kij}$ POR LINHA
LER OS LIMITANTES INFERIORES ( $\underline{x}_j$ )
LER OS LIMITANTES SUPERIORES ( $\bar{x}_j$ )

Quando estivermos resolvendo um problema de PGG, esta rotina não será necessária. Os dados para o PGP serão automaticamente gerados pelo programa PGG.

**B) Rotinas INIPGP :**

Esta rotina complementa a leitura dos dados de entrada, inicializa as variáveis, lineariza o PGP e inicializa o PL.

INTER=0    E    TOL = $10^{-5}$
N = NZAO + 1
M = KZAO + 1
K = KZAO + 1
CCND = (1;0;...;0)
CONDENSAR E LINEARIZAR AS RESTRIÇÕES PGPCNDLIN
CONVERTER OS LIMITANTES INFERIORES E SUPERIORES PARA O PL.
INICIALIZAR O PL
OTIMO = FALSE
FACTVL = TRUE

**C) Rotina CNDLIN :**

Esta rotina condensa e lineariza uma restrição  $g(x)$  qualquer.

GK = 0 (Variável que representará o valor da restrição $g_k(x)$ )
CALCULAR O VALOR DA RESTRICAO NO PONTO CONDENSADO
CALCULAR OS EPSP(I) (Onde EPSP <sub>i</sub> representará a variável $\delta_i$ )
CALCULAR A COLUNA KX DE ACN,M (Para o PL)
CALCULAR OS LIMITANTES SUPERIORES E INFERIORES NO PL.

**D) Rotina TOTPGP :**

Calcula o valor de todas restrições  $g_k(x)$  no ponto  $x^l$  e faz o teste de otimalidade. Se for ótimo ela emite uma relação do resultado.

VVL = 1	
KVL = 0	
PARA I = 1 ATE (KZAO + 1) FAÇA	
GKP = VALOR DA RESTRIÇÃO K NO PONTO CONSIDERADO ( $x^l$ )	
SE GKP > 1 + TOL	
N	S
SE GKP > VVL	
N	S
	KVL = K VVL = GKP
SE KVL = 0	
N	S
PROJETAR $x^l$ NA RESTRIÇÃO MAIS VIOLADA (caso particular)	IMPRIMIR SOLUÇÃO ÓTIMA OTIMO = TRUE

Esta rotina foi planejada para resolver a restrição mais violada, como um caso particular.

**E) Rotina PROJX :**

A função desta rotina é de executar os passos descritos

no capítulo IV. Esta rotina é considerada opcional em nossas execuções, portanto será utilizada uma variável denominada por  $\alpha$  (alfa), que assumirá os valores de  $0 \leq \alpha \leq 1.0$ . Com isso, os problemas poderão ser executados com ou sem projeção.

PROJET = TRUE
CALCULAR $\hat{a}$
CALCULAR $\ \hat{a}\ ^2$
CALCULAR $x_j^{1,1}$ (Ponto x projetado)
PROJET = FALSE

Foram criados quatro tipos diferentes de programas, onde cada tipo representa uma estratégia de como resolvemos um problema de PGP. O aspecto que consideramos aqui, foi em relação à escolha da restrição a ser condensada e projetada. Esses tipos são:

- i) Condensar a restrição mais violada, sem projeção;
- ii) Projeter na restrição mais violada e condensar no ponto encontrado;
- iii) Condensar todas restrições violadas sem projeção;
- iv) Projeter e condensar em todas restrições violadas.

Nos casos (i) e (iii) significa que a rotina "projx" não fará parte do programa, e nos casos (ii) e (iv), a rotina "projx" será uma opção de executar ou não a projeção, fazendo assim ALFA=(1 ou 0) respectivamente (o valor de  $\alpha$  pode ser assumido  $0 \leq \alpha \leq 1.0$ , mas para experiências computacionais foi usado valor 0 ou 1), para  $\alpha = 0$  a rotina será executada sem efeito algum,

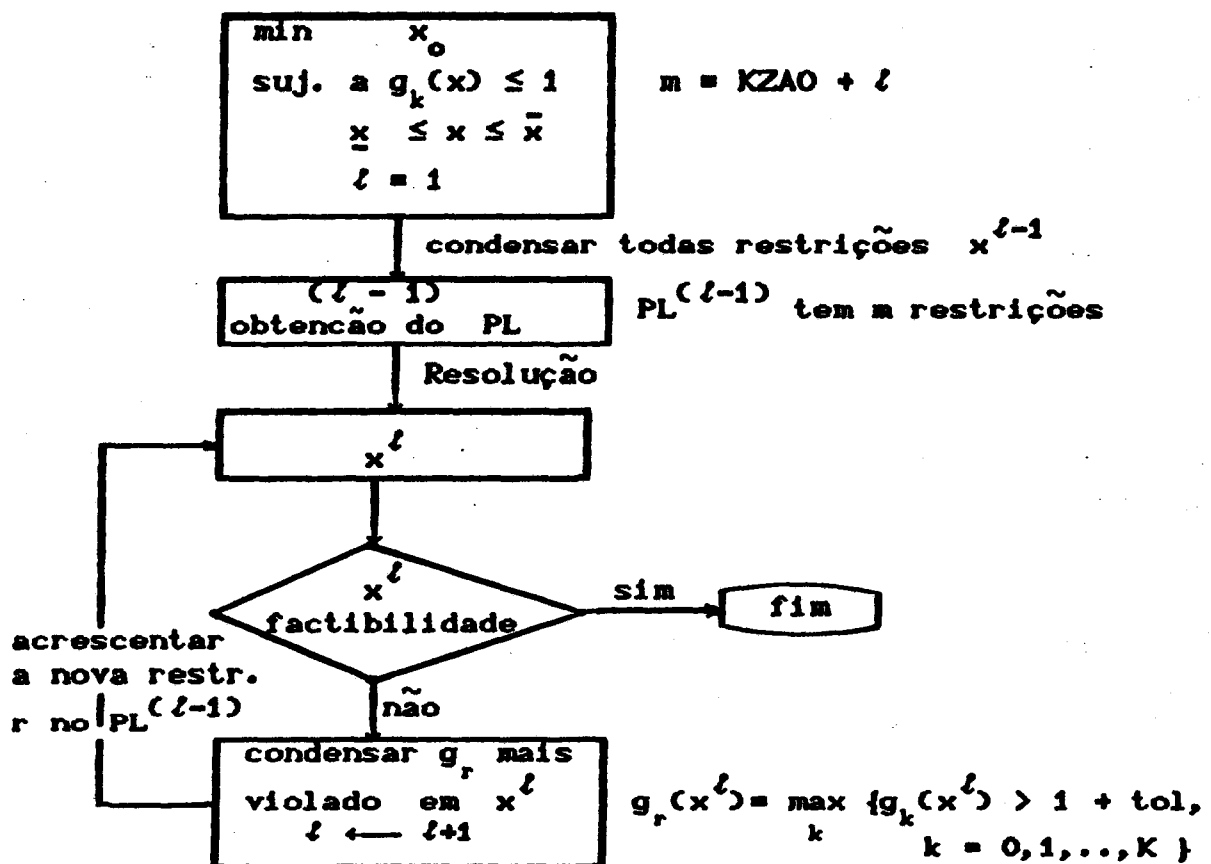
isto é,  $x_j^{l+1} = x_j^{l0}$ , implicando assim em cálculos desnecessários.

Por isso fizemos os programas sem a projeção.

1) Programa que condensa a restrição mais violada, sem a projeção.

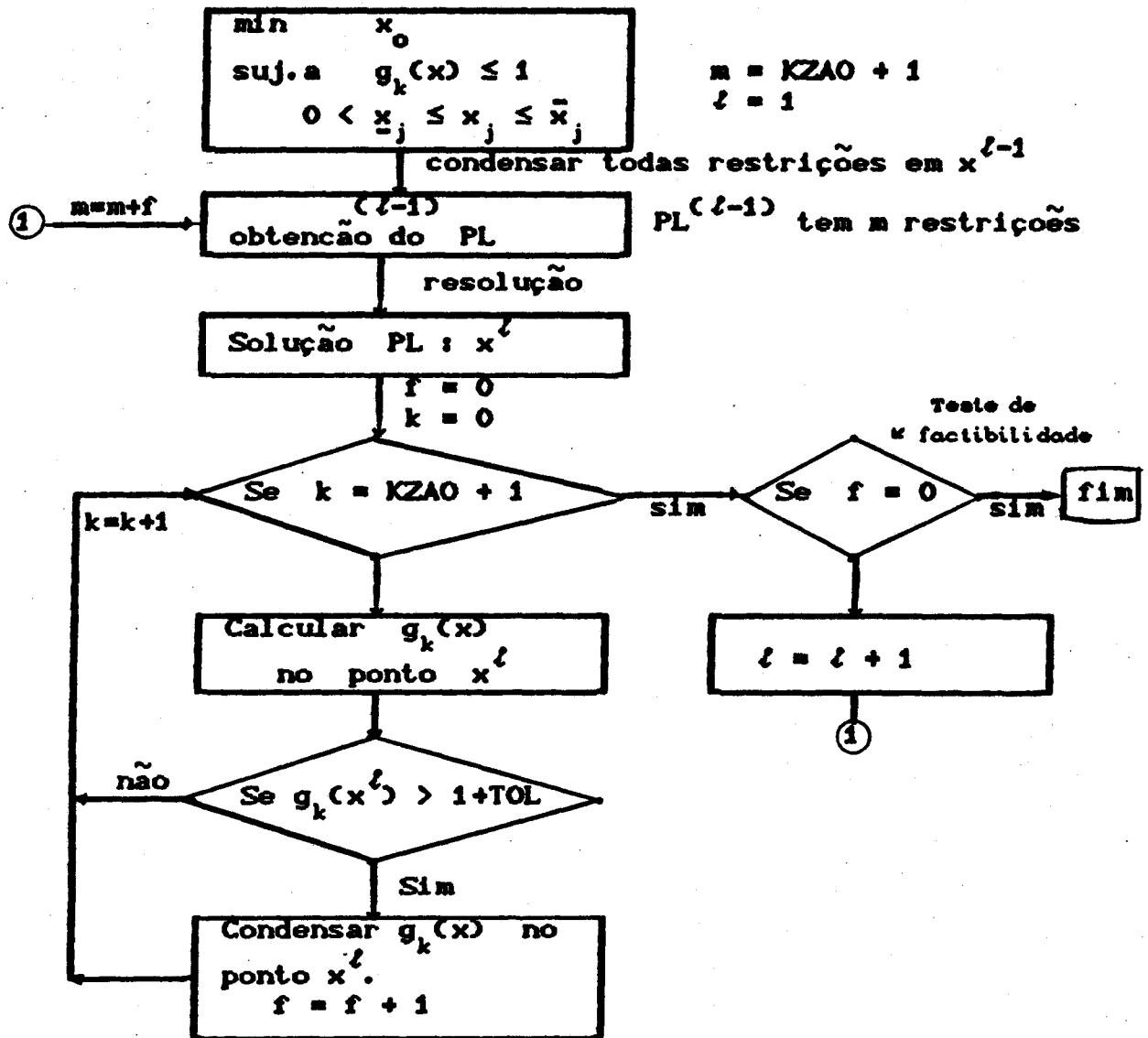
É o mesmo algoritmo dado no método de corte por condensação, onde a restrição a ser condensada será a mais violada.

Fluxo de Informação :



ii) Programa que projeta na restrição mais violada e depois condensa a restrição mais violada no ponto obtido.

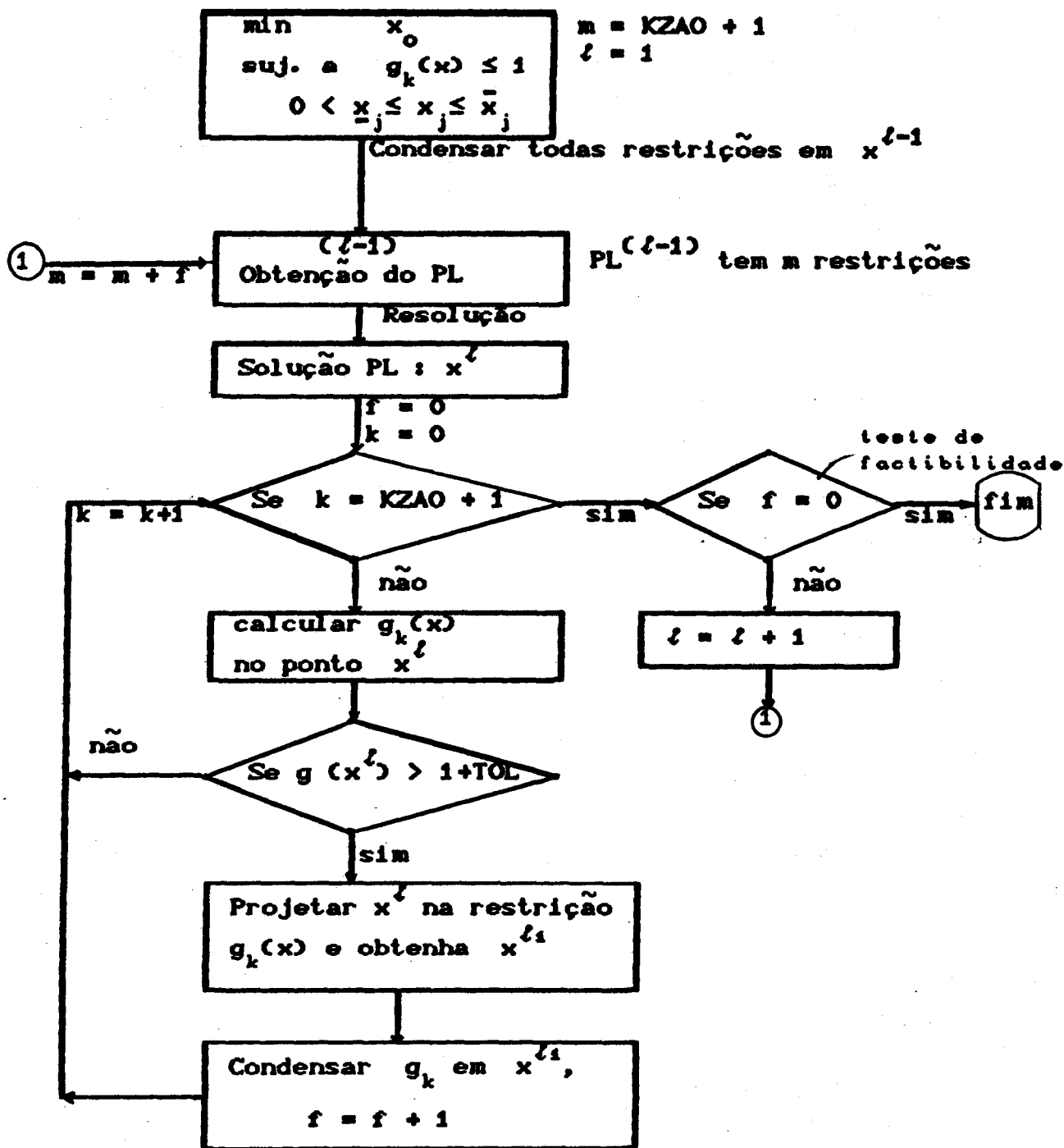
Seja  $x^{l_0}$  a solução do PL na iteração  $l$  do PGP, encontramos  $x^{l_1}$  através da projeção de  $x^{l_0}$  na restrição mais violada  $g_r(x)$ . Condensamos a seguir a restrição  $g_r(x)$  no ponto  $x^{l_1}$ , obtendo uma nova restrição que será acrescentada ao PL, e assim sucessivamente até encontrarmos uma solução ótima a PGP.



iv) Projetar e condensar em todas restrições violadas :

Este procedimento é semelhante ao anterior acrescido da projeção antes da condensação. Como já vimos, a variável ALFA pode assumir valores de 0 até 1.0, mas para efeito de

experiências feitas no capítulo V, assumimos valores 1.0 ou 0 para o caso de projeção e não projeção respectivamente (no caso  $\alpha=0$ , a rotina PROJX não será usada ).



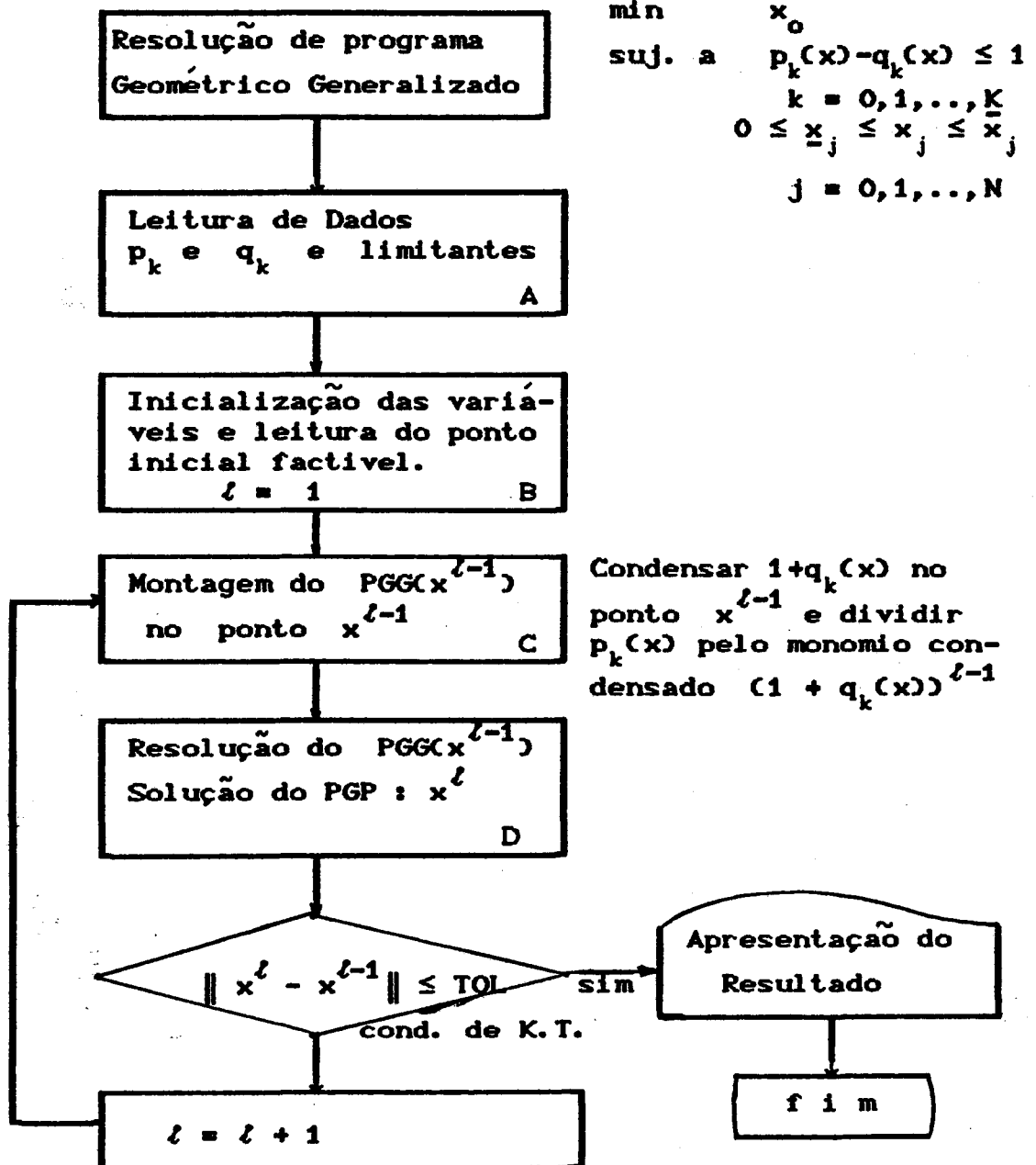
Esses quatro casos foram comparados com alguns exemplos e os resultados obtidos encontram-se no capítulo V.



#### 4. Programa que resolve um PGG (PGG.FOR)

Este programa é usado apenas para os casos em que o problema é do tipo Signomial ou Generalizado. Ele envolve os programas PGP e PL, visto nas seções 3 e 2 respectivamente. Faremos agora um esquema do funcionamento deste programa. As letras de A até D representam as rotinas específicas deste programa.

Fluxo de Informação :



As rotinas que compõem o programa PGG.FOR, são as mesmas dos programas PL e PGP, mais as quatro rotinas apresentadas a seguir :

A) Rotina LERPGG :

Lê os dados de entrada do PGG (1.48)

LER KZAO, NZAO
LER O NÚMERO DE MONÔMIOS DE $p_k$ EM CADA RESTRIÇÃO.
LER O NÚMERO DE MONÔMIOS DE $q_k$ EM CADA RESTRIÇÃO
LER OS COEFICIENTES $c_{ki}$ POR LINHA ( $p_k$ )
LER OS COEFICIENTES $d_{ki}$ POR LINHA ( $q_k$ )
LER OS EXPOENTES $a_{kij}$ POR LINHA ( $p_k$ )
LER OS EXPOENTES $b_{kij}$ POR LINHA ( $q_k$ )
LER OS LIMITANTES INFERIORES ( $\underline{x}_j$ )
LER OS LIMITANTES SUPERIORES ( $\bar{x}_j$ )

A) Rotina INIPGG

Inicia as variáveis para o PGG (leitura do ponto inicial factível). Essa rotina chama a rotina LERPGG.

ITG = 0 (D)
TOLG = $10^{-4}$ (e)
LER OS DADOS DE ENTRADA
N = NZAO + 1
M = KZAO + 1
LER PONTO INICIAL PARA CONDENSAÇÃO
LER O VALOR DE ALFA (Caso haja a utilização da projeção PGP)

**C) Rotina CONDV :**

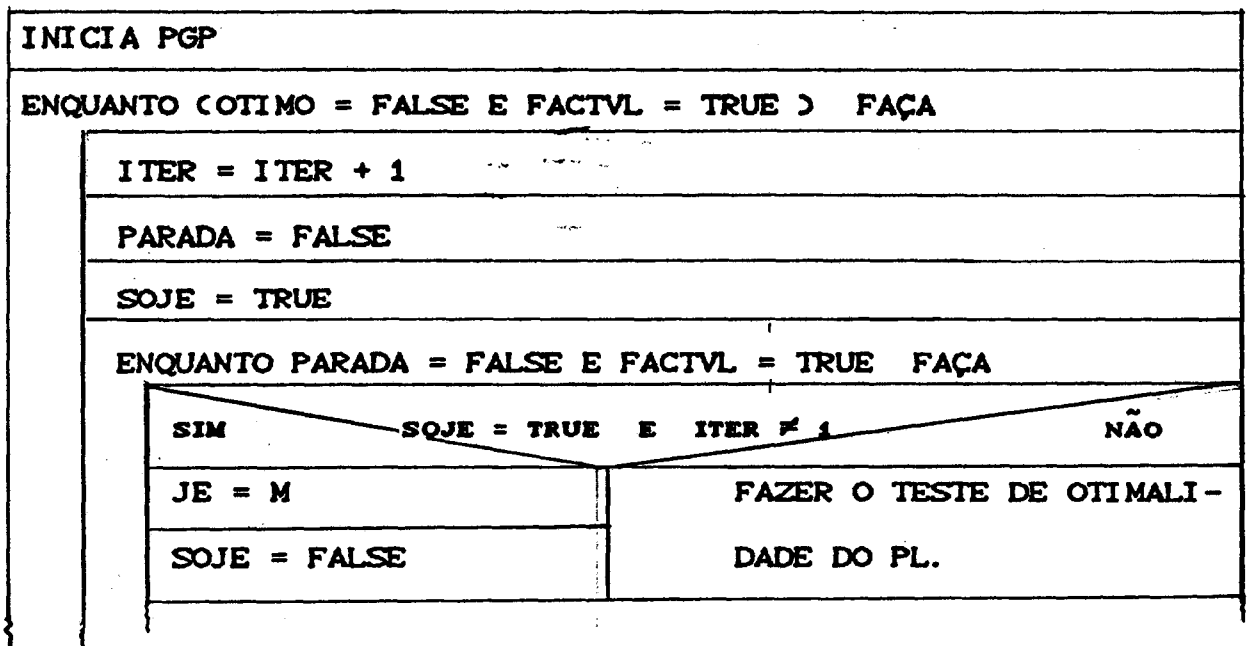
Esta rotina condensa o posinômio  $1 + q_k(x)$  no ponto  $x^l$  e faz a divisão do posinômio  $p_k(x)$  pelo monômio gerado  $q_k^l(x)$ , gerando assim o problema de PGP.

A montagem do PGP, feita nesta rotina, transfere os valores dos expoentes e coeficientes a serem utilizados no PGP.

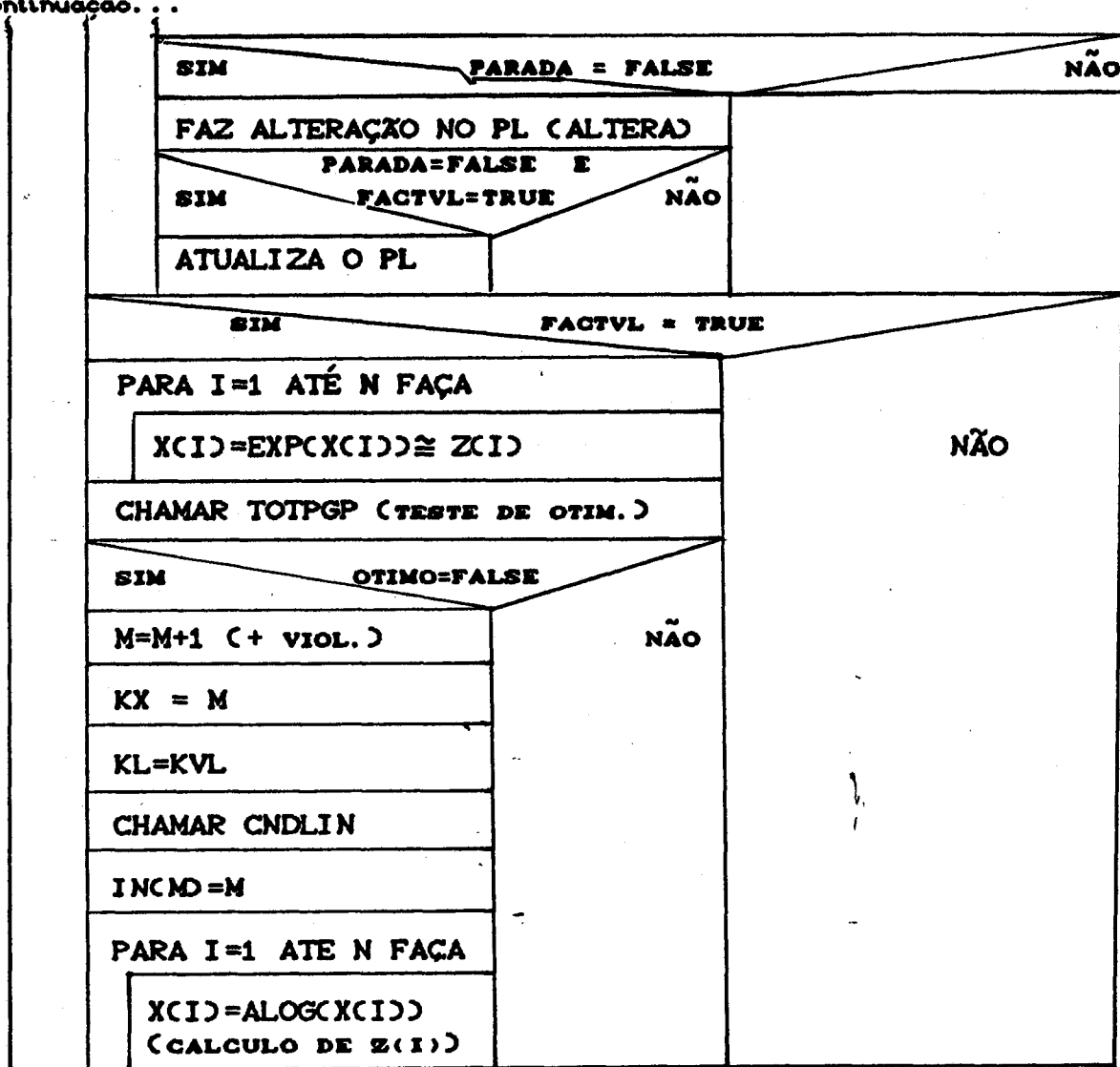
OK = 0.0 (Usada para calcular o valor da restrição $q_k$ no ponto $x^l$ )
CALCULAR OS VALORES DAS RESTRIÇÕES $1 + q_k(x)$ NO PONTO $x^l$
CALCULAR OS ESPQ(k,i+1) ( $\delta_{ki}$ )
CALCULAR O MONÔMIO $q_k^l$
CALCULAR O NOVO PGP RESULTANTE DA DIVISÃO DE $p_k/q_k^l$
MONTAGEM DE UM PGP (Transferência de dados para o PGP)

**D) Rotina RESPGP :**

Resolve o PGP mostrado na rotina anterior. Esta rotina é praticamente o programa principal do PGP.

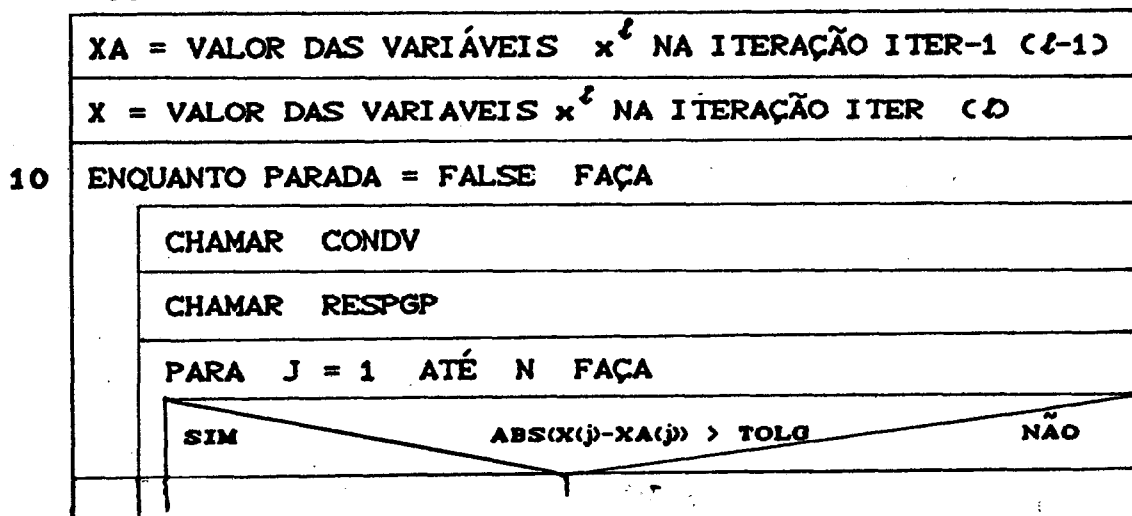


continuação...



Para encerrarmos esse apêndice, faremos o fluxo de informação para o teste de otimalidade do PGG, existente no programa principal.

pp) Teste de parada do PGG.



continuação...

PARA JS = 1 ATÉ N FAÇA	SIM	J=N	
XACJS=X(CJS)	INPRIME SOL.		
ITG = ITG + 1	PARADA = TRUE		NÃO
REINICIAR EM 10			
IMPRIMIR RESULTADOS FINAIS.			

Observe que a parada só será efetuada caso  $|x_j - xa_j| < TOL$  para todos  $j$ . Outra maneira de parar, pode ser feita, levando em consideração o valor da Iteração (ITG), fazendo um teste antes de reiniciar o programa principal. (Ex.: Se  $ITG=100$  então  $PARADA = TRUE$ , senão reiniciar em 10).

A estrutura utilizada neste trabalho, pode ser alterada em alguns casos, no sentido de adaptarmos o sistema geral para o uso em alguma área de pesquisa que envolva problemas deste tipo.

## APÊNDICE C

### PROTENSÃO, EM VIGAS DE CONCRETO, MODELADA POR PROGRAMAÇÃO GEOMÉTRICA

#### 1. Introdução :

Problemas de Programação Geométrica surgem nas mais variadas áreas das ciências, como em Química, Física, Engenharias, entre outras. Ecker [14,15] descreve uma vasta bibliografia de aplicações dentro da Engenharia. Apresentaremos aqui uma aplicação na Engenharia Civil que não temos visto relacionada na literatura de Programação Geométrica. Trata-se de protensão em vigas de concreto.

A finalidade da protensão é criar esforços que se opõem àqueles provocados pelas ações externas (vento, carregamento, e outros), e também pelo peso próprio da estrutura a ser protendida.

A título de ilustração sobre Protensão, podemos comparar uma viga protendida com uma pilha de livros que queremos levantar. Para isso devemos submeter uma força de compressão longitudinal de maneira que ao levantarmos a pilha de livros, certas forças externas não desfaça a pilha.

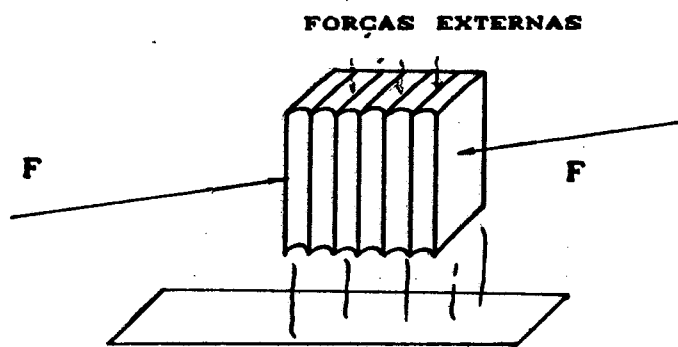


Fig. A

A força  $F$  deverá ser pelo menos suficiente para erguermos a pilha de livros sem desfazê-la.

Já em uma viga, a protensão é feita através de cabos apropriados que são colocados em seu interior (passando-os por bainhas já contidas na viga, introduzidas no momento de sua fabricação). Este cabo será preso em uma das extremidades da viga e esticado pela outra extremidade (por um macaco apropriado).

Após esticarmos o cabo, prendemos também essa extremidade, forçando o cabo a comprimir a viga longitudinalmente. A essa estratégia dá-se o nome de protensão. O cabo, naturalmente, produzirá forças verticais, ao longo da viga, em função de seu traçado. Estas forças deverão vencer cargas externas.

Na medida que se faz necessário aumentar a protensão, os custos elevam-se rapidamente. Surge então, um problema de otimização : Dadas as características da viga e o tipo do concreto, como traçar os cabos, de modo que a viga suporte as cargas, com o mínimo possível de protensão. Maiores detalhes podem ser obtidos em [9].

## 2. Modelo Matemático :

O modelo a ser apresentado nesta seção foi inicialmente tratado em [9]. A figura B, ilustra nossas notações, mostrando um traçado aproximado de um cabo em uma viga.

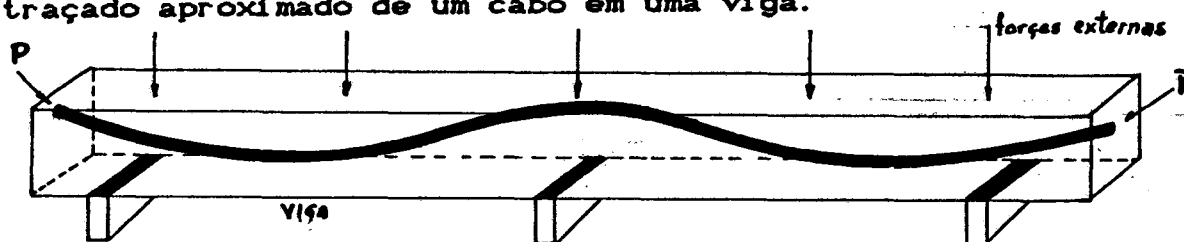


fig. B

A vantagem da protensão é possibilitar o uso de vigas com grandes vãos, e esbeltez numa proporção de 1/15 a 1/35, relação que é dada entre altura/vão, facilitando assim o seu uso (da viga) na Engenharia.

Geralmente o traçado dos cabos são curvos porém com uma curva bem suave, facilitando uma aproximação do traçado linear por partes. Isso é feito dividindo a viga em trechos iguais, e a partir daí estudaremos cada etapa destes trechos, supondo o traçado linear.

## 2.1 - Fuso limite :

Atendendo às condições fornecidas no item 4.1 da Norma Brasileira (NB - 116), para qualquer seção genérica, é necessário verificar quatro situações limites de tensões normais, para as fibras mais afastadas do baricentro da seção.

Assim, para cada seção (por simplicidade de notação supriremos o índice da seção) temos :

a) fibra superior :

. à compressão

$$(i) \quad \sigma = -\frac{P}{A_v} - \frac{M_{MAX}}{W_s} - \frac{M_p}{W_s} \geq \sigma_{c adm} \quad (C.1)$$

. à tração

$$(ii) \quad \sigma = -\frac{P}{A_v} - \frac{M_{MAX}}{W_s} - \frac{M_p}{W_s} \leq \sigma_{t adm} \quad (C.2)$$

b) fibra inferior :

. à compressão

$$(iii) \quad \sigma = -\frac{P}{A_v} - \frac{M_{MIN}}{W_I} - \frac{M_p}{W_I} \geq \sigma_{c adm} \quad (C.3)$$

. à tração

$$(iv) \quad \sigma = -\frac{P}{A_v} - \frac{M_{MAX}}{W_I} - \frac{M_p}{W_I} \leq \sigma_{t adm} \quad (C.4)$$



onde :

P - Força de Protensão;

$\sigma$  - Tensão normal;

$\sigma_{c adm}$  - Tensão admissível de compressão no concreto;

$\sigma_{t adm}$  - Tensão admissível de tração no concreto;

$A_v$  - Área da seção transversal geométrica da viga;

M<sub>MIN</sub> - Momento mínimo;

M<sub>MAX</sub> - Momento máximo;

M<sub>p</sub> - Momento hiperestático de protensão;

W<sub>s</sub> - Módulo de resistência de uma seção referido à fibra pertencente à borda superior;

W<sub>i</sub> - Módulo de resistência de uma seção referido à fibra pertencente à borda inferior;

E no item 5.3.2 da NB - 116 são dados os valores exigidos às tensões normais admissíveis, os quais são :

Tensão admissível à compressão :

$$\sigma \geq - \frac{f_{ck}}{2} \quad (C.5)$$

onde  $f_{ck}$  representa a resistência à compressão do concreto.

Tensão admissível à tração :

$$\sigma_{t adm} \leq \begin{cases} 0 & \text{(protensão completa)} \\ 2 \sigma_t & \text{(protensão limitada)} \end{cases} \quad (C.6)$$

Podemos fazer uma representação gráfica das inequações (C.1) a (C.4) dadas anteriormente, no plano P x M<sub>p</sub>, para cada

seção :

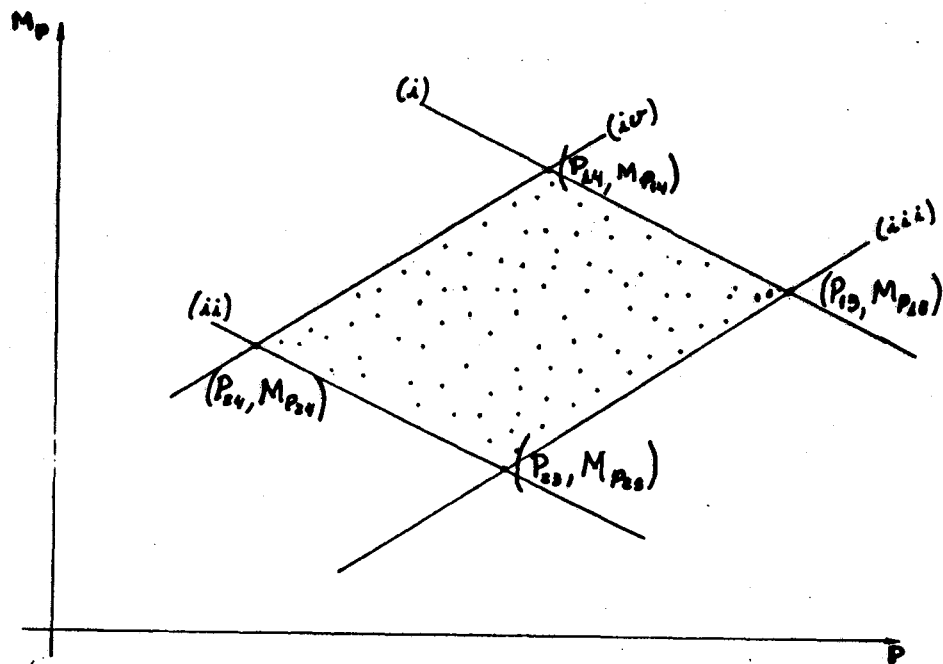


Fig. C : Fuso limite para uma função genérica .

O fuso limite nada mais é do que a região de factibilidade resultante pelas inequações (C.1) a (C.4) em uma seção.

Para ocorrer a protensão em uma certa seção, o fuso limite deve ser não vazio e  $P_{19}$  deverá ser maior do que zero. Portanto iremos supor que todas possibilidades de existência da protensão foram verificadas e passaremos assim à próxima fase.

## 2.2 - Obtenção do momento devido a protensão :

Inicialmente, veremos a aproximação de um cabo curvo por

uma poligonal, conforme ilustra a figura D.

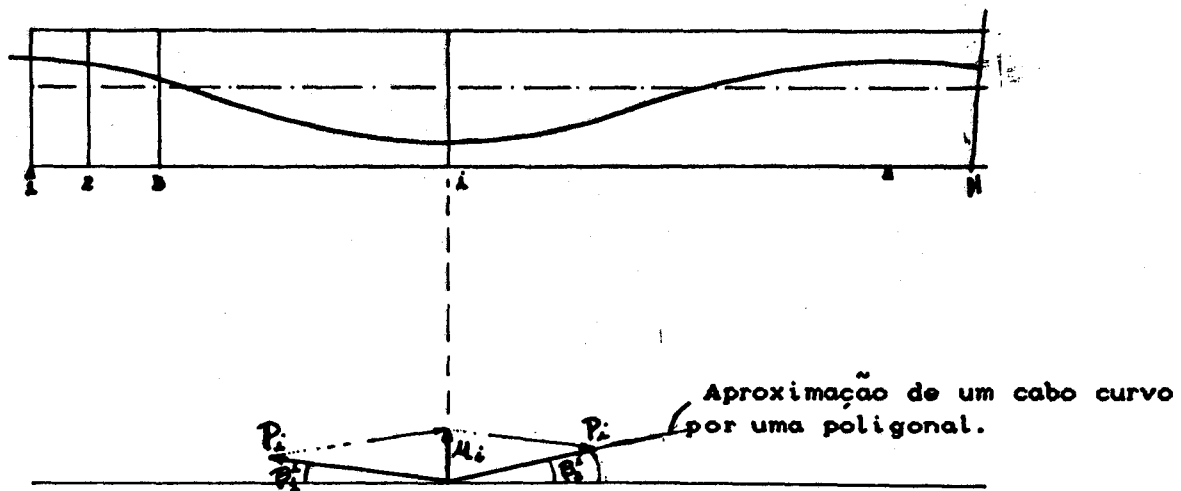


Fig. D .

onde  $\alpha$  e  $\beta$  são ângulos de desvio de um cabo de protensão,  $u_i$  ação provocada por mudança de direção ou ancoragem de um cabo e  $n$  é o número de seções de estudo de uma viga.

A força  $u_i$  representa o esforço solicitante que um cabo protendido provoca na viga devido a mudança de direção " $\alpha_i$ ", e essa ação será considerada sempre na direção transversal ao eixo da viga e seu valor será :

$$u_i = P_i \operatorname{sen} \beta_1^i + P_i \operatorname{sen} \beta_2^i \quad (C.7)$$

Devido  $\beta^i$  ser bem pequeno, desprezamos os termos de ordem superior a 2 e usamos a aproximação :

$$\operatorname{sen} \beta \cong \beta,$$

e substituindo em (C.7), com  $\alpha_i = \beta_1^i + \beta_2^i$ , temos :

$$u_i = \alpha_i * P_i \quad (C.8)$$

onde  $P_i$  é a força de protensão na seção  $i$ .

O vetor de momento de protensão  $M_p$ , que representa os momentos obtidos ao longo da viga nos pontos estabelecidos, devido a protensão, pode ser escrito por :

$$M_p = MI * u \quad (C.9)$$

onde a matriz  $MI$  é obtida aplicando-se ações unitárias, uma de cada vez nos pontos escolhidos, calculando-se a seguir os esforços produzidos em todos os outros pontos. Esse processo nada mais é do que a obtenção das "linhas de influência" para esses pontos. Ou seja, o elemento  $MI_{ki}$  representa o momento atuante na seção  $k$  quando aplicado uma força unitária na seção  $i$ . A essa matriz dá-se o nome de Matriz de Influência.

Substituindo (C.8) em (C.9) podemos relacionar o momento de protensão com a forma geométrica do cabo e a força de protensão. Desde que para os nós extremos temos :

$$(M_p)_1 = u_1 = y_1 P_1, \quad (M_p)_n = u_n = y_n P_n.$$

segue que :

$$(M_p)_k = \sum_{i=1}^N MI_{ki} u_i = y_1 P_1 + \sum_{i=2}^{N-1} MI_{ki} \alpha_i P_i + y_n P_n \quad (C.10)$$

Os ângulos  $\alpha_i$  entre dois trechos lineares adjacentes pode ser escrito em função do traçado do cabo :

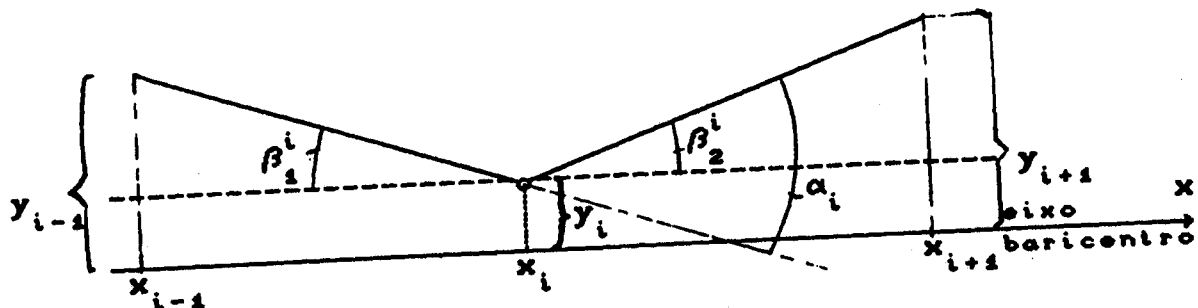


Fig. E : Representação de duas seções adjacentes do cabo linearizado

temos :

$$\operatorname{tg} (\pi - \beta_1^i) = \frac{y_i - y_{i-1}}{x_i - x_{i-1}} \quad (\operatorname{tg} \beta_1^i = - \frac{y_i - y_{i-1}}{x_i - x_{i-1}})$$

$$\operatorname{tg} (\beta_2^i) = \frac{y_{i+1} - y_i}{x_{i+1} - x_i}$$

como  $\alpha$  e  $\beta$  são pequenos, novamente podemos fazer a aproximação

$\operatorname{tg} \alpha = \alpha$ ,

$$\alpha_i = \beta_1^i + \beta_2^i = \left( \frac{y_{i+1} - y_i}{x_{i+1} - x_i} - \frac{y_i - y_{i-1}}{x_i - x_{i-1}} \right)$$

ou

$$\alpha_i = \frac{1}{(x_i - x_{i-1})} y_{i-1} - \frac{(x_{i+1} - y_i)}{(x_{i+1} - x_i)(x_i - x_{i-1})} y_i + \frac{1}{(x_{i+1} - x_i)} y_{i+1} \quad (\text{C.11})$$

Substituindo (C.11) em (C.10), obteremos o momento de protensão na seção  $k$  em função das forças de protensão ao longo da viga e do traçado do cabo :



Eq. C.1 -

$$\frac{1}{A_v} P_k - \frac{1}{W_s} y^T A^k P \leq -\sigma_{cadm} - \frac{M_{max}}{W_s} \quad (C.14)$$

Eq. C.2 -

$$\frac{1}{A_v} P_k + \frac{1}{W_s} y^T A^k P \geq -\sigma_{tadm} - \frac{M_{min}}{W_s} \quad (C.15)$$

Eq. C.3 -

$$\frac{1}{A_v} P_k + \frac{1}{W_I} y^T A^k P \leq -\sigma_{cadm} - \frac{M_{min}}{W_I} \quad (C.16)$$

Eq. C.4 -

$$\frac{1}{A_v} P_k + \frac{1}{W_I} y^T A^k P \geq -\sigma_{tadm} - \frac{M_{max}}{W_I} \quad (C.17)$$

para  $k = 1, 2, \dots, n$ .

O problema de otimização consiste em determinar  $P$  e  $y$  que satisfaça as  $4n$  restrições acima e

$$\text{minimize } \sum_{j=1}^n P_j \quad j = 1, 2, \dots, n$$

onde  $n$  representa o número de seções inicialmente adotados na viga estudada.

Este problema, assim como outros dentro da Engenharia Civil, nos motivou ao estudo da Programação Geométrica. A estrutura particular das restrições permite consideráveis simplificações nos cálculos. A aplicação direta dos programas gerais, que foram desenvolvidos, é desnecessariamente dispendiosa, tanto na armazenagem dos coeficientes, como na avaliação e condensação das funções restrições. Era nossa intenção apresentar aqui um estudo de caso para este problema, porém devido às dificuldades de geração dos coeficientes para um problema real, aliado às perspectivas que surgiram (apresentadas nos capítulos anteriores), deixamos este estudo para uma etapa seguinte.

## BIBLIOGRAFIA

- [ 1 ] - ARENALES, M. N. - Programação Linear : Novos Métodos e Alguns Problemas Particulares; Tese de Doutorado, IEC - UNICAMP, (1984).
  
- [ 2 ] - AVRIEL, M.; DEMBO, R. and PASSY, U. - "Solution of Generalized Geometric Programs ", International Journal of Numerical Methods in Engineering, vol. 9, 149-168,(1975).
  
- [ 3 ] - AVRIEL, M. and WILLIAMS, A.C. - "Complementary Geometric Programming", Siam J. Appl. Math., vol. 19, no 1, 125-141, (1970).
  
- [ 4 ] - BAZARAA, M. S. and JARVIS, J. J. - Linear Programming and Network Flows; John Wiley & Sons, (1979).
  
- [ 5 ] - BEIGHTLER, C. S. and PHILLIPS, D. T. - Applied Geometric Programming, John Willey & Sons, (1976).
  
- [ 6 ] - BECK, P. A. and ECKER, J. G. - "A Modified Concave Simplex Algorithm for Geometric Programming", Journal of Optimiz. Theory and Applications, (1978).
  
- [ 7 ] - BRADLEY, J. - " Computational Aspects of Geometric Programming - 2. Polynomial Programming ", Engineering Optimization, vol. 3, 121-145, (1978).



- [ 8] - CENSOR, Y. and LENT, A. - A Cyclic Subgradient Projections Method for the Convex Feasibility Problem, Technical Report, University of Haifa, Israel, (1980).
- [ 9] - CEOTTO, L. H. - Contribuição A Otimização do Traçado de Cabos em Vigas Contínuas Protendidas; Dissertação de Mestrado , apresentada na Escola de Engenharia de São Carlos, Departamento de Estruturas, (1985).
- [10] - DEMBO, R. S. - "Current State of the Art of Algorithms and Computer Software for Geometric Programming ", Journal of Optimization Theory and Applications, vol.26, no 2, 149-183, (1978).
- [11] - DEMBO, R. S. and RIJCKAERT, M. J. - " Computational Aspects of Geometric Programming - 4. Computational Experiments in Geometric Programming ", Engineering Optimization, vol. 3, 161-173, (1978).
- [12] - DINKEL, J. J.; ELLIOTT, W. H. and KOCHENBERGER, G. A. - Computational Aspects of Cutting-Plane Algorithms for Geometric Programming Problems ", Mathematical Programming, vol. 13, 200-220, (1977).
- [13] - DUFFIN, R. J.; PETERSON, E. L. and ZENER, C. - Geometric Programming - Theory and Applications, John Wiley & Sons, (1967).

- [14] - ECKER, J. G. - "Geometric Programming Methods, Computations and Applications", Siam Review, 22, no 3, 338-361, (1980).
- [15] - ECKER, J. C.; GOCHET, W. and SMEERS, Y. - " Computational Aspects of Geometric Programming. 3 - Some Primal and Dual Algorithms for Posynomial and Signomial Geometric Programs", Engineering Optimization, vol. 3, 147-160, (1978).
- [16] - GILL, P. E. and MURRAY, W. - Numerical Methods in Constrained Optimization, Academic Press New York, (1979).
- [17] - LASDON, L.S. - Optimization Theory for Large Systems, The Macmillan Company, (1970).
- [18] - LUENBERGER, D. G. - Linear and Nonlinear Programming, Addison-Wesley, 2<sup>nd</sup> edition, (1984).
- [19] - MORRIS, A. J. - " Structural Optimization by Geometric Programming ", Int. J. Solids Struct., vol. 8, 847-864, (1972).
- [20] - MORRIS, A. J. - " On Condensed Geometric Programming in Structural Optimization ", Comp. in Applied Mechanics and Engineering, 15, 139-148, (1978).
- [21] - MOSES, F. and SUSUMU, O. - " Minimum Weight Design of Structures with Application to Elastic Grillages", International Journal for Numerical Methods in Engineering,

vol. I, 311-331, (1989).

- [22] - RIJCKAERT, M. J. and MARTENS, X. M. - "A Comparison of Generalized Geometric Programming Algorithms", Katholieke Universiteit te Leuven, Report No. CE-RM-7503, (1975).
- [23] - SPOSITO, V. A. - Linear and Nonlinear Programming, The Iowa State University Press/Ames, (1975).
- [24] - TEMPLEMAN, A. B. - " Computational Aspects of Geometric Programming. 1 - Introduction and Basic Notation ", Eng. Optimization, vol. 3, 115-120, (1978).

**ANEXOS**

APLICACAO : RESOLUCAO DE PROBLEMA LINEAR COM RESTRICOES E VARIAVEIS CANALIZADAS

MINIMIZAR CX

SUJEITO A  $D \leq AX \leq E$

$D1 \leq X \leq E1$

APRESENTANDO O SEGUINTE DIMENSIONAMENTO

$C(N), X(N), D(N), A(N,N), E(N), D1(N), E1(N)$

PROJETO : PROGRAMACAO GEOMETRICA POSENONIAL

INSTITUICAO : INSTITUTO DE CIENCIAS MATEMATICAS DE SAO CARLOS-USP

ORIENTADOR : PROF. DR. MARCOS NEREU ARENALES

DESCRICAO DAS VARIAVEIS

- V01) A(N,N) : MATRIZ TRANSPOSTA DO SISTEMA DE RESTRICOES
- V02) ABI(N,N) : INVERSA DA BASE AB (A=(AB,AN))
- V03) ACH(N) : PRODUTO  $ACH(I)=ABI(I,J)*A(J,K)$  I,J,K=1,...,N
- V04) C(N) : VETOR CUSTO
- V05) CINA : INDICA SE A VIOLACAO OCORREU NA DESIGUALDADE D OU D1<= (FALSE) OU NA DESIGUALDADE <=E OU E1 (TRUE)
- V06) D(N,N) : VETOR DOS LIMITES INFERIORES DAS RESTRICOES E DAS VARIAVEIS
- V07) DELTA(N) : VETOR DOS VALORES POSSIVEIS PARA A VARIAVEL QUE ENTRA
- V08) E(N,N) : IDEM A D(N,N) PARA LIMITES SUPERIORES
- V09) IB(N) : VETOR DOS INDICES DAS VARIAVEIS BASICAS
- V10) IBDEL(N) : VETOR DOS INDICES DE IB(N) A QUE SE REFERE O DELTA
- V11) ICONT : CONTADOR PARA O NUMERO DE PASSAGENS DOS PONTOS CRITICOS
- V12) IK(I) : VETOR DOS INDICES DE DELTA ORDENADO CRESCENTEMENTE
- V13) IN(N) : VETOR DOS INDICES DAS VARIAVEIS NAO-BASICAS
- V14) IR : QUANTIDADE DE DELTA'S
- V15) ISAI DA : FLAG PARA SAIDA DO MODULO
- V17) K1 : INDICE AUXILIAR DE IBDEL NA FASE DE ESCOLHA DO DELTA
- V18) K2 : IDEM A K1 PARA IB(N)
- V19) K3 : IDEM A K1 PARA E(N,N) E D(N,N)
- V20) M : NUMERO DE RESTRICOES
- V21) N : NUMERO DE VARIAVEIS
- V22) PARADA : CONTROLA O TERMINO DO PROGRAMA
- V23) TB(I) : INDICA SE A VARIAVEL APONTADA POR IB(I) E IGUAL A E(1B(I)) (TRUE) OU SE E IGUAL A D(1B(I)) (FALSE)
- V24) TETA : CUSTO DA CONDICAO DE OTIMALIDADE MAIS VIOLADA
- V25) TOL : TOLERANCIA NAS APROXIMACOES
- V26) UB(N) : VETOR DA SOLUCAO DUAL
- V27) X(N) : VETOR DA SOLUCAO PRIMAL

DESCRICAO DAS ROTINAS

- R01) ALTERA  
FUNCAO : VERIFICA SE O PRIMAL E FACTIVEL E ALTERA A SOLUCAO  
ENTRADA : JE,N,N,CINA,TOL,PARADA,TETA,K2,IN(N),ACH(N),ABI(N,N),  
A(N,N),UB(N),TB(N),D(N,N),E(N,N),X(N)  
MODIFICACOES : PARADA,TETA,K2,ACH(N),TB(N),X(N)
- R02) ATUALI  
FUNCAO : ATUALIZA AS VARIAVEIS E A SOLUCAO  
ENTRADA : CINA,JE,TETA,N,K2,TB(N),IN(N),UB(N),IB(N),ACH(N),ABI(N,N),  
X(N)  
MODIFICACOES : TB(N),IN(N),IB(N),UB(N),ABI(N,N),X(N)
- R03) INICIA  
FUNCAO : INICIALIZA AS VARIAVEIS E A SOLUCAO  
ENTRADA : N,N,TOL,PARADA,C(N),D(N,N),E(N,N),ABI(N,N),IB(N),UB(N),TB(N),  
X(N),IN(N)  
MODIFICACOES : TOL,PARADA,ABI(N,N),IB(N),UB(N),TB(N),X(N),IN(N)
- R04) LEITUR  
FUNCAO : LE OS DADOS DE ENTRADA  
ENTRADA : N,N,C(N),A(N,N),D(N,N),E(N,N)  
MODIFICACOES : N,N,A(N,N),D(N,N),E(N,N)
- R05) TESOTI  
FUNCAO : FAZ O TESTE DE OTIMALIDADE E IMPRIME A SOLUCAO OTIMA  
ENTRADA : TETA,N,N,TOL,JE,CINA,PARADA,IN(N),A(N,N),X(N),E(N,N),  
D(N,N)  
MODIFICACOES : TETA,JE,CINA,PARADA

OUTRAS INFORMACOES

ARQUIVO DE ENTRADA : TIPLP.DAT

FORMATO DE ENTRADA DOS DADOS :

N,N

C(N)

MATRIZ A POR COLUNAS, UMA COLUNA EM CADA LINHA

D(N)

D1(N)

E(N)

E1(N)

ARQUIVO DE SAIDA : TIPLP.OUT

LINGUAGEM DE CODIFICACAO : FORTRAN 77

EQUIPAMENTO : PDP 11/45 SISTEMA : RSX-11M

OBSERVACAO :

COM RELACAO A LOGICA DAS ROTINAS, EXISTEM DOCUMENTACAO ANEXA

PROGRAMA PRINCIPAL DO PL.

```

LOGICAL TB(25),CINA,PARADA
COMMON TB,CINA,PARADA
COMMON N,N,IB(25),IN(35),JE,K2
COMMON C(25),A(25,60),D(85),E(85),ABI(25,25),X(25),UB(25)
COMMON ACH(25),TOL,TETA
CALL LEITUR
CALL INICIA
10 IF (.NOT.PARADA) THEN
  CALL TESOTI
  IF (.NOT.PARADA) THEN
    CALL ALTERA
  ENDIF
  IF (.NOT.PARADA) THEN
    CALL ATUALI
  ENDIF
  GOTO 10
ENDIF
stop
END
    
```

SUBROTINA DE LEITURA DOS DADOS DE ENTRADA

```

SUBROUTINE LEITUR
LOGICAL TB(25),CINA,PARADA
COMMON TB,CINA,PARADA
COMMON N,N,IB(25),IN(35),JE,K2
COMMON C(25),A(25,60),D(85),E(85),ABI(25,25),X(25),UB(25)
COMMON ACH(25),TOL,TETA
open(5,file='dados')
open(6,file='saida',status='new')
READ(5,*)N,N
READ(5,*)C(1),I=1,N
DO 10 I=1,N
  READ(5,*)A(I,J),J=1,N
10 CONTINUE
K=N+1
L=N+M
READ(5,*)D(1),I=1,N
READ(5,*)D(1),I=K,L
READ(5,*)E(1),I=1,N
READ(5,*)E(1),I=K,L
RETURN
END
    
```

SUBROUTINE INICIA

```

PARAMETER (NV=50,NN=90,NC=90,NT=115)
LOGICAL TB(60),CINA,PARADA,OTIMO,FACTVL,SOJE
COMMON /20/TB
COMMON /21/CINA,PARADA,OTIMO,FACTVL,SOJE
COMMON /22/N,N,JE,K2,KZAO,NZAO,HRP(NN)
COMMON /23/KX,KR,KVL,ITP,IB(NV)
COMMON /24/IN(NC)
COMMON /25/C(NV)
COMMON /26/A(NV,NC)
COMMON /27/D(NT)
COMMON /28/E(NT)
COMMON /29/ABI(NV,NV)
COMMON /2A/X(NV)
COMMON /2B/UB(NV)
COMMON /2C/ACH(NV)
COMMON /2D/TOL,TETA
COMMON /2E/TET(20,60)
COMMON /2F/FI(20,60,NV)
COMMON /2G/XL(NV),XLS(NV)
COMMON /2H/VVL
COMMON /2I/TTOL,IPIL
COMMON /2J/IAE
TTOL=0.5E-03
ITL=0
DO 10 I=1,N
  DO 20 J=1,N
    ABI(I,J)=0.0
20 CONTINUE
10 CONTINUE
PARADA=FALSE
DO 30 I=1,N
  IB(I)=I
  UB(I)=C(I)
  IF (UB(I).GE.0.0) THEN
    TB(I)=FALSE
    X(I)=D(I)
  ELSE
    TB(I)=TRUE
    X(I)=E(I)
  ENDIF
  ABI(I,I)=1.0
30 CONTINUE
DO 40 I=1,N
  IN(I)=I+M
40 CONTINUE
RETURN
END
    
```

```

SUBROUTINE ALTERA
PARAMETER (NV=50, NN=90, NC=90, NT=115)
LOGICAL TB(60), CIRA, PARADA, OTINO, FACTVL, SOJE
COMMON /Z0/TB
COMMON /Z1/CIRA, PARADA, OTINO, FACTVL, SOJE
COMMON /Z2/N, N, JE, K2, KZAO, NZAO, NRRP(NH)
COMMON /Z3/KR, KR, KVL, ITP, IB(NV)
COMMON /Z4/IN(NC)
COMMON /Z5/C(NV)
COMMON /Z6/A(NV, NC)
COMMON /Z7/D(NT)
COMMON /Z8/E(NT)
COMMON /Z9/AB1(NV, NV)
COMMON /ZA/X(NV)
COMMON /ZB/UB(NV)
COMMON /ZC/ACH(NV)
COMMON /ZD/TOL, TETA
COMMON /ZE/TET(20, 60)
COMMON /ZF/F1(20, 60, NV)
COMMON /ZG/XL1(NV), XLS(NV)
COMMON /ZH/VVL
COMMON /ZI/TTOL, IFIL
COMMON /ZJ/IAE
DIMENSION DELTA(NV), IBDEL(NV), IK(NV)
E=IN(JE)
IF (X, CT, N) THEN
DO 10 I=1, N
ACH(I)=0.0
DO 20 J=1, N
ACH(I)=AB1(I, J)*A(J, K-N)+ACH(I)
30 CONTINUE
10 CONTINUE
ELSE
DO 30 I=1, N
ACH(I)=AB1(I, E)
30 CONTINUE
ENDIF
IR=0
IF (CIRA) THEN
DO 40 I=1, N
Z=ACH(I)
IF (ABS(Z), GT, TTOL) THEN
AUX=UB(I)/Z
IF (AUX, LT, (-TTOL)) THEN
IR=IR+1
DELTA(IR)=AUX
IBDEL(IR)=1
ELSE
IF (ABS(AUX), LE, TTOL) THEN
IF ((TB(I), AND, (Z, GT, 0.0)), OR,
((NOT, TB(I)), AND, (Z, LT, 0.0))) THEN
IR=IR+1
DELTA(IR)=AUX
IBDEL(IR)=1
ENDIF
ENDIF
ENDIF
ENDIF
ENDIF
CONTINUE
ELSE
DO 50 I=1, N
Z=ACH(I)
IF (ABS(Z), GT, TTOL) THEN
AUX=UB(I)/Z
IF (AUX, GT, TTOL) THEN
IR=IR+1
DELTA(IR)=AUX
IBDEL(IR)=1
ELSE
IF (ABS(AUX), LE, TTOL) THEN
IF ((L, NOT, TB(I)), AND, (Z, GT, 0.0))
OR, (TB(I), AND, (Z, LT, 0.0)) THEN
IR=IR+1
DELTA(IR)=AUX
IBDEL(IR)=1
ENDIF
ENDIF
ENDIF
ENDIF
ENDIF
CONTINUE
ENDIF
ENDIF
IF (IR, EQ, 0) THEN
WRITE(60)
FORNAT(15X, '>>> PROBLEMA INFATIVEL <<<')
PARADA=.TRUE.
FACTVL=.FALSE.
ICONT=0
ISAIDA=0
IF (IR, EQ, 1) THEN
IF (DELTA(1), LE, TTOL) THEN
K2=IBDEL(1)
ISAIDA=1
ELSE
IK(1)=1
ENDIF
ELSE
AUX=1.0E+05
DO 70 I=1, IR
DO 80 J=1, IR
IF ((AUX, GT, DELTA(J)), AND, (DELTA(J), NE, (-1.0))) THEN
L=J
ENDIF
ENDIF
CONTINUE
IK(I)=L
DELTA(I)=-1.0
AUX=1.0E+05
70 CONTINUE
ENDIF
DO 90 I=1, IR
IF (ISAIDA, EQ, 0) THEN
K1=IK(I)
K2=IBDEL(K1)
K3=IB(K2)
AUX=(E(K2)-D(K3))/(ABS(ACH(K2)))
IF (TETA-AUX, LT, (-TTOL)) THEN
ISAIDA=1
ELSE
ICONT=ICONT+1
TETA=TETA-AUX
IF (TB(K2)) THEN
AUX=D(K3)-E(K3)
ELSE
AUX=E(K3)-D(K3)
ENDIF
TB(K2)=NOT, TB(K2)
DO 100 J=1, N
X(J)=AB1(K2, J)+AUX*X(J)
100 CONTINUE
ENDIF
ENDIF
90 CONTINUE
ENDIF

```

```

IF ((ICONT, EQ, 15) AND, (.NOT, PARADA)) THEN
WRITE(60)
PARADA=.TRUE.
FACTVL=.FALSE.
ENDIF
RETURN
END

```

```

SUBROUTINE TESOTI
PARAMETER (NV=50, NN=90, NC=90, NT=115)
LOGICAL TB(60), CIRA, PARADA, OTINO, FACTVL, SOJE
COMMON /Z0/TB
COMMON /Z1/CIRA, PARADA, OTINO, FACTVL, SOJE
COMMON /Z2/N, N, JE, K2, KZAO, NZAO, NRRP(NH)
COMMON /Z3/KR, KR, KVL, ITP, IB(NV)
COMMON /Z4/IN(NC)
COMMON /Z5/C(NV)
COMMON /Z6/A(NV, NC)
COMMON /Z7/D(NT)
COMMON /Z8/E(NT)
COMMON /Z9/AB1(NV, NV)
COMMON /ZA/X(NV)
COMMON /ZB/UB(NV)
COMMON /ZC/ACH(NV)
COMMON /ZD/TOL, TETA
COMMON /ZE/TET(20, 60)
COMMON /ZF/F1(20, 60, NV)
COMMON /ZG/XL1(NV), XLS(NV)
COMMON /ZH/VVL
COMMON /ZI/TTOL, IFIL
COMMON /ZJ/IAE
TETA=0.0
DO 10 I=1, N
E=IN(I)
IF (IN(I), GT, N) THEN
AUX=0.0
DO 20 J=1, N
AUX=A(J, K-N)*X(J)+AUX
20 CONTINUE
ELSE
AUX=X(E)
ENDIF
IF (AUX, LE, (E(N)+TTOL)) THEN
IF (AUX, LT, (D(K)-TTOL)) THEN
IF ((D(K)-AUX), GT, (TETA-TTOL)) THEN
TETA=D(K)-AUX
JE=1
CIRA=.FALSE.
ENDIF
ENDIF
ELSE
IF ((AUX-E(K)), GT, (TETA-TTOL)) THEN
TETA=AUX-E(K)
JE=1
CIRA=.TRUE.
ENDIF
ENDIF
50 CONTINUE
IF (TETA, EQ, 0.0) THEN
PARADA=.TRUE.
ENDIF
RETURN
END

```

```

SUBROUTINE ATUALI
PARAMETER (NV=50, NN=90, NC=90, NT=115)
LOGICAL TB(60), CIRA, PARADA, OTINO, FACTVL, SOJE
COMMON /Z0/TB
COMMON /Z1/CIRA, PARADA, OTINO, FACTVL, SOJE
COMMON /Z2/N, N, JE, K2, KZAO, NZAO, NRRP(NH)
COMMON /Z3/KR, KR, KVL, ITP, IB(NV)
COMMON /Z4/IN(NC)
COMMON /Z5/C(NV)
COMMON /Z6/A(NV, NC)
COMMON /Z7/D(NT)
COMMON /Z8/E(NT)
COMMON /Z9/AB1(NV, NV)
COMMON /ZA/X(NV)
COMMON /ZB/UB(NV)
COMMON /ZC/ACH(NV)
COMMON /ZD/TOL, TETA
COMMON /ZE/TET(20, 60)
COMMON /ZF/F1(20, 60, NV)
COMMON /ZG/XL1(NV), XLS(NV)
COMMON /ZH/VVL
COMMON /ZI/TTOL, IFIL
COMMON /ZJ/IAE
TB(K2)=CIRA
L=IK(JE)
IN(JE)=IB(K2)
IB(K2)=1
AUX=ACH(K2)
UB(K2)=UB(K2)/AUX
IF (CIRA) THEN
U=-TETA
ELSE
U=TETA
ENDIF
DO 10 I=1, N
AB1(K2, I)=AB1(K2, I)/AUX
X(I)=AB1(K2, I)+U*X(I)
10 CONTINUE
DO 20 I=1, N
IF (I, NE, K2) THEN
AUX=ACH(I)
UB(I)=UB(K2)+AUX*UB(I)
DO 30 J=1, N
AB1(I, J)=AB1(K2, J)+AUX*AB1(I, J)
30 CONTINUE
ENDIF
20 CONTINUE
RETURN
END

```

```

C *****
C
C          BOLSA DE RESTRADO COMPUTACAO - FAPESP
C
C          PROGRAMA NUMERO 1
C
C APLICACAO : RESOLUCAO DE PROBLEMA GEOMETRICO POSINDORIAL ACELERADO
C
C          INICIALIZAR X(0)
C          SUJEITO A BK(K)<=1 K=0,....,NZAD
C          Q<XLI(J)<=X(J)<=XLB(J) J=0,....,NZAD
C
C PROJETO : PROGRAMACAO GEOMETRICA POSINDORIAL
C
C PROCESSO : 85/0030-1
C
C INSTITUICAO : INSTITUTO DE CIENCIAS MATEMATICAS DE SAO CARLOS-USP
C
C ORIENTADOR : PROF. DR. MARCOS MEREU ARENALES
C
C BOLSISTA : EDMUNDO SERGIO SPOTO
C *****
C
C          DESCRICAO DAS VARIAVEIS
C
C V01) EPSP(I) : EXPOENTE DA DESIGUALDADE ARITMETICA-GEOMETRICA
C
C V02) FACTUL : INDICA SE O PBP E FACTIVEL (TRUE)
C
C V03) FIK(I,J) : EXPOENTE DA VARIAVEL X(J) DO MONOMIO I DA RESTRICAO K
C
C V04) BK : ACUMULADORA PARA O VALOR DA RESTRICAO EM QUESTAO
C
C V05) BKP : IDER A BK
C
C V06) ITER : CONTADOR DE ITERACOES
C
C V07) KR : COLUNA DA RESTRICAO MAIS VIOLADA
C
C V08) KVL : INDICE DA RESTRICAO MAIS VIOLADA
C
C V09) KX : COLUNA DA NOVA RESTRICAO INCORPORADA
C
C V10) KZAD : NUMERO DE RESTRICOES - 1
C
C V11) L : INDICE DAS VARIAVEIS PARA IMPRESSAO DA SOLUCAO OTIMA
C
C V12) NRRP(K) : NUMERO DE MONOMIOS DA RESTRICAO K
C
C V13) NZAD : NUMERO DE VARIAVEIS - 1
C
C V14) OTIMO : INDICA SE O PBP TEM SOLUCAO OTIMA (TRUE)
C
C V15) BOJE : INDICA SE DEVEROS ALTERAR A VARIAVEL JE DIRETAMENTE, OU
C          SE DEVEROS CHAMAR A SUBROTINA TESOTI
C
C V16) TET(K,I) : COEFICIENTE DO MONOMIO I NA RESTRICAO K
C
C V17) VUL : VALOR DA RESTRICAO MAIS VIOLADA
C
C V18) XLI(J) : LIMITE INFERIOR PARA X(J)
C
C V19) XLB(J) : LIMITE SUPERIOR PARA X(J)
C
C          DESCRICAO DAS ROTINAS
C
C R01) CNDLIN
C          FUNCAO : CONDENSA E LINEARIZA UMA RESTRICAO
C          ENTRADA : NZAD,NRRP(K),TET(K,I),FI(K,I,J),A(J,K),D(Y),E(Y),X(J)
C          MODIFICACOES : A(J,K),D(Y),E(Y)
C
C R02) INIPBP
C          FUNCAO : LE OS DADOS DE ENTRADA, INICIALIZA AS VARIAVEIS,
C          LINEARIZA O PBP E INICIALIZA O PL
C          ENTRADA:TOL,N,R,OTIMO,FACTUL,C(N),X(N),(PONTO INICIAL),D(Y),E(Y)
C          E OS DAS ROTINAS LERPBP, CNDLIN E INICIA
C          MODIFICACOES : TOL,N,R,OTIMO,FACTUL,C(N),X(N),D(Y),E(Y), E AS
C          MODIFICADAS PELAS ROTINAS LERPBP,CNDLIN E INICIA
C
C R03) LERPBP
C          FUNCAO : LE OS DADOS DE ENTRADA DO PBP
C          ENTRADA : KZAD,NZAD,NRRP(K),TET(K,I),FI(K,I,J),XLI(J),XLB(J)
C          MODIFICACOES : KZAD,NZAD,NRRP(K),TET(K,I),FI(K,I,J),XLI(J),XLB(J)
C
C R04) TOTBP
C          FUNCAO : FAZ O TESTE DE OTIMALIDADE DO PBP
C          ENTRADA : KZAD,NZAD,TOL,KVL,OTIMO,NRRP(K),TET(K,I),FI(K,I,J),X(J)
C          MODIFICACOES : KVL,OTIMO
C
C          OUTRAS INFORMACOES
C
C ARQUIVO DE ENTRADA : PBP.DAT
C
C FORMATO DE ENTRADA DOS DADOS :
C          KZAD,NZAD
C          NRRP(K)
C          CONJUNTO DE COEFICIENTES DA RESTRICAO, UMA RESTRICAO POR LINHA
C          CONJUNTO DE EXPONENTES DO MONOMIO, UM MONOMIO POR LINHA
C          XLI(J)
C          XLB(J)
C
C ARQUIVO DE SAIDA : PBP.SAI
C
C LINGUAGEM DE CODIFICACAO : FORTRAN 77
C
C EQUIPAMENTO : XT-2002
C

```







```

SUBROUTINE PROJX
PARAMETER (NV=50, NH=100, NC=90, NT=115)
LOGICAL TB(30), PROJCT, CINA, PARADA, OTIND, FACTVL, SOJE
COMMON /Z0/TB, PROJCT
COMMON /Z1/CINA, PARADA, OTIND, FACTVL, SOJE
COMMON /Z2/H, N, JE, K2, KZAO, NZAO, NRRP(NH)
COMMON /Z3/KX, KR, KVL, ITP, IB(NV)
COMMON /Z4/IN(NC)
COMMON /Z5/C(NV)
COMMON /Z6/A(NV, NC)
COMMON /Z7/D(INT)
COMMON /Z8/E(INT)
COMMON /Z9/ABI(NV, NV)
COMMON /ZA/X(NV)
COMMON /ZB/UB(NV)
COMMON /ZC/ACH(NV)
COMMON /ZD/TOL, TETA
COMMON /ZE/TET(20, 60)
COMMON /ZF/FI(20, 60, NV)
COMMON /ZG/XLI(NV), XLS(NV)
COMMON /ZH/VVL, ALF, VNP
COMMON /ZI/TTOL, ITL
COMMON /ZJ/IAE, IFIL
COMMON /ZL/ATIL(NV)
ATINHOD=0
DO 10 J=1, N
  ATINHOD=ATINHOD+ATIL(J)*ATIL(J)
10 CONTINUE
DO 20 J=1, N
  EXPTIL=-ALF*(ATIL(J)/ATINHOD)
  X(J)=X(J)+VVL*EXPTIL
20 CONTINUE
c Terminado a projecao na restricao mais violada, projetamos
c agora sobre a regio definida pelas limitantes inferiores e
c superiores .
DO 30 J=1, N
  ATIL(J)=0.0
  IF (X(J).LT.XLI(J)) THEN
    X(J)=XLI(J)
  ELSE
    IF (X(J).GT.XLS(J)) THEN
      X(J)=XLS(J)
    ENDIF
  ENDIF
30 CONTINUE
c Fim da projecao . . .
RETURN
END

```

```

SUBROUTINE TOTPCP
PARAMETER (NV=50, NH=100, NC=90, NT=115)
LOGICAL TB(30), PROJCT, CINA, PARADA, OTIND, FACTVL, SOJE
COMMON /Z0/TB, PROJCT
COMMON /Z1/CINA, PARADA, OTIND, FACTVL, SOJE
COMMON /Z2/H, N, JE, K2, KZAO, NZAO, NRRP(NH)
COMMON /Z3/KX, KR, KVL, ITP, IB(NV)
COMMON /Z4/IN(NC)
COMMON /Z5/C(NV)
COMMON /Z6/A(NV, NC)
COMMON /Z7/D(INT)
COMMON /Z8/E(INT)
COMMON /Z9/ABI(NV, NV)
COMMON /ZA/X(NV)
COMMON /ZB/UB(NV)
COMMON /ZC/ACH(NV)
COMMON /ZD/TOL, TETA
COMMON /ZE/TET(20, 60)
COMMON /ZF/FI(20, 60, NV)
COMMON /ZG/XLI(NV), XLS(NV)
COMMON /ZH/VVL, ALF, VNP
COMMON /ZI/TTOL, ITL
COMMON /ZJ/IAE, IFIL
COMMON /ZL/ATIL(NV)
DIMENSION EPSAUX(60), EPSP(60)
KAUX=KZAO+1
VVL=1.0
EVL=0
DO 30 K=1, KAUX
  GKP=0.0
  IAUX=NRRP(K)
  DO 20 I=1, IAUX
    AUX=TET(K, I)
    DO 10 J=1, N
      AUX1=X(J)+FI(K, I, J)
      AUX=AUX+AUX1
10 CONTINUE
c Valor do noneste U(i) armazenado em epsaux(i)
EPSAUX(I)=AUX
GKP=GKP+AUX
20 CONTINUE
c Projetando apenas na restricao mais violada . . .
IF (GKP.GT.1-TOL) THEN
  IF (GKP.GT.VVL) THEN
c Calculando epsp(i) = U(i)/gkp . . .
DO 25 I=1, IAUX
  EPSP(I)=EPSAUX(I)/GKP
25 CONTINUE
  KVL=K
  VVL=GKP
  ENDF
  ENDF
30 CONTINUE
c Teste de otimalidade do PCP . . .
IF (KVL.EQ.0) THEN
  OTIND=.TRUE
  WRITE(6, 36) ITP, IFIL, N, X(1)
  WRITE(10, 36) ITP, IFIL, N, X(1)
36 FORMAT(3X, 13, 3X, 13, 3X, 13, 20X, F11.5)
  DO 37 J=2, N
    WRITE(6, 38) X(J)
    WRITE(10, 38) X(J)
37 CONTINUE
38 FORMAT(38X, F11.5)
  ELSE

```

```

c Caso PCP nao seja otimo entao projetamos o pcp, mais violada.
IF (PROJET.AND.(VVL.GT.VNP)) THEN
c Calculando etil(j) . . .
  IAUX=NRRP(KVL)
  DO 110 J=1, N
    AUX=0.0
    DO 100 I=1, IAUX
      AUX=AUX+FI(KVL, I, J)*EPSP(I)
100 CONTINUE
  ATIL(J)=AUX
110 CONTINUE
  CALL PROJX
c Fim de if da projecao . . .
ENDIF
c Fim de if de otimalidade . . .
ENDIF
RETURN
END
rotinas do PL (ja foram vistas)

```

```

c Nome do programa : PPRTOFI.FOR
c programa geometrico posiconal
c Projeta em todas restricoes violadas e partir do ponto obtido
c no PL e depois condensa as restricoes no ponto projetado.
PROGRAMA PRINCIPAL DO PPRTOFI.FOR
PARAMETER (NV=50, NH=50, NC=90, NT=115)
LOGICAL TB(30), PROJCT, CINA, PARADA, OTIND, FACTVL, SOJE
COMMON /Z0/TB, PROJCT
COMMON /Z1/CINA, PARADA, OTIND, FACTVL, SOJE
COMMON /Z2/H, N, JE, K2, KZAO, NZAO, NRRP(NH)
COMMON /Z3/KX, KR, KVL, ITP, IB(NV)
COMMON /Z4/IN(NC)
COMMON /Z5/C(NV)
COMMON /Z6/A(NV, NC)
COMMON /Z7/D(INT)
COMMON /Z8/E(INT)
COMMON /Z9/ABI(NV, NV)
COMMON /ZA/X(NV)
COMMON /ZB/UB(NV)
COMMON /ZC/ACH(NV)
COMMON /ZD/TOL, TETA
COMMON /ZE/TET(20, 40)
COMMON /ZF/FI(10, 40, NV)
COMMON /ZG/XLI(NV), XLS(NV)
COMMON /ZH/VVL, ALF, VNP
COMMON /ZI/TTOL
COMMON /ZJ/IAE, IFIL
COMMON /ZL/ATIL(NV)
DIMENSION Z(10)
OPEN(5, FILE='PCPDA1', STATUS='OLD')
OPEN(6, FILE='PPRTOFI.SAI', STATUS='NEW', FORM='FORMATTED')
OPEN(7, FILE='PCPDA2', STATUS='OLD')
OPEN(8, FILE='PCPDE1', STATUS='OLD')
OPEN(9, FILE='PCPDE2', STATUS='OLD')
OPEN(10, FILE='PCPTAB', STATUS='NEW', FORM='FORMATTED')
CALL INIPGP
WRITE(10, 5) TOL, IAE
WRITE(6, 5) TOL, IAE
5 FORMAT(20X, 'Programa :PCOTCP.FOR'/20X, 'TOLERANCIA PCP = ', F8.5//
  420X, 'EXERCICIO Numero :', 12//, 2X, ' ITP e ITL e N.CO e SOL. OTINA P
  XL e SOL. OTINA PCP R'//)
10 IF (.NOT.OTIND.AND.FACTVL) THEN
  ITP=ITP+1
  ITL=0
  PARADA=.FALSE.
  SOJE=.TRUE.
  IF (.NOT.PARADA).AND.FACTVL) THEN
20 IF (ITL=1)
  IFIL=IFIL+1
  IF (SOJE.AND.(ITP.NE.1)) THEN
    JE=N
    CINA=.TRUE.
    AUX=0.
    DO 25 J=1, N
      AUX=AUX+ACJ,N)*X(J)
25 CONTINUE
    TETA=AUX-E(N,N)
    SOJE=.FALSE.
    ELSE
      CALL TESOTI
    ENDIF
    IF (.NOT.PARADA) THEN
      CALL ALTERA
    ENDIF
    IF (.NOT.PARADA).AND.FACTVL) THEN
      CALL ATUALI
    ENDIF
    GOTO 20
  ENDF
  IF (FACTVL) THEN
    DO 30 J=1, N
      Z(J)=X(J)
      X(J)=EXP(X(J))
30 CONTINUE
    WRITE(10, 45) ITP, ITL, N, X(1)
    WRITE(6, 45) ITP, ITL, N, X(1)
    FORMAT(3X, 13, 3X, 13, 3X, 13, 3X, 13, 20X, F11.5)
    DO 47 J=2, N
      WRITE(10, 48) X(J)
      WRITE(6, 48) X(J)
47 CONTINUE
48 FORMAT(22X, F11.5)
    CALL TOTPCP
    IF (.NOT.OTIND) THEN
      DO 100 J=1, N
        X(J)=Z(J)
100 CONTINUE
    ENDF
    ENDF
    GOTO 10
  ENDF
  STOP
  END

```

ROTINAS DO PCP . . .

ROUTINE ENDLIN

```

PARAMETER (NV=25, NN=50, NC=90, NT=115)
LOGICAL TB(30), PROJCT, CINA, PARADA, OTINO, FACTVL, SOJE
COMMON /20/TB, PROJCT
COMMON /21/CINA, PARADA, OTINO, FACTVL, SOJE
COMMON /22/N, N, JE, K2, KZAO, KZAD, NRRP(NN)
COMMON /23/KX, KR, KVL, ITP, IB(NV)
COMMON /24/IN(NC)
COMMON /25/C(NV)
COMMON /26/A(NV, NC)
COMMON /27/D(NT)
COMMON /28/E(NT)
COMMON /29/AB1(NV, NV)
COMMON /2A/X(NV)
COMMON /2B/UB(NV)
COMMON /2C/ACH(NV)
COMMON /2D/TOL, TETA
COMMON /2E/TET(10, 40)
COMMON /2F/FI(10, 40, NV)
COMMON /2G/XL1(NV), XLS(NV)
COMMON /2H/VVL, ALP, VRP
COMMON /2I/TTOL
COMMON /2J/IAE, IFIL
COMMON /2L/ATIL(NV)
COMMON /2R/EPSP(40)
IAUX=NRRP(NN)
DO 5 J=1, N
WRITE(6,*) 'X', J, ' ' = 'X(J)
c 5 CONTINUE
IF ((PROJCT).OR.(ITP.EQ.0)) THEN
  OK=0.0
  DO 20 I=1, IAUX
    AUX=TET(KR, I)
    DO 10 J=1, N
      AUX1=X(J)*FI(KR, I, J)
      AUX=AUXRAUX1
    10 CONTINUE
    EPSP(I)=AUX
    OK=OK+AUX
  20 CONTINUE
  UB1=UB1+R*VALOR DE KR "KR, VALOR DE OK = "OK
  DO 30 I=1, IAUX
    EPSP(I)=EPSP(I)/OK
  30 CONTINUE
  DO 50 J=1, N
    AUX=0.0
    DO 40 I=1, IAUX
      AUX=AUX+FI(KR, I, J)*EPSP(I)
    40 CONTINUE
    A(J, KR)=AUX
  50 CONTINUE
  ELSE
c Caso nao houve projecao . . .
  DO 52 I=1, IAUX
    EPSP(I)=EPSP(I)/VVL
  52 CONTINUE
  DO 55 J=1, N
    AUX=0.0
    DO 53 I=1, IAUX
      AUX=AUX+FI(KR, I, J)*EPSP(I)
    53 CONTINUE
    A(J, KR)=AUX
  55 CONTINUE
  ENDDIF
  AUX=1.0
  DO 60 I=1, IAUX
    IF (EPSP(I).LT.(1.E-07)) THEN
      AUX2=EPSP(I)*EPSP(I)
      AUX1=(TET(KR, I)*EPSP(I))/AUX2
      AUX=AUXRAUX1
    ELSE
      AUX=AUXR((TET(KR, I)/EPSP(I))*EPSP(I))
    ENDIF
  60 CONTINUE
  E(KR)=N*-ALOG(AUX)
  D(KR)=N*-1.0E+04
  RETURN
END

```

ROUTINE PROJX

```

PARAMETER (NV=25, NN=50, NC=90, NT=115)
LOGICAL TB(30), PROJCT, CINA, PARADA, OTINO, FACTVL, SOJE
COMMON /20/TB, PROJCT
COMMON /21/CINA, PARADA, OTINO, FACTVL, SOJE
COMMON /22/N, N, JE, K2, KZAO, KZAD, NRRP(NN)
COMMON /23/KX, KR, KVL, ITP, IB(NV)
COMMON /24/IN(NC)
COMMON /25/C(NV)
COMMON /26/A(NV, NC)
COMMON /27/D(NT)
COMMON /28/E(NT)
COMMON /29/AB1(NV, NV)
COMMON /2A/X(NV)
COMMON /2B/UB(NV)
COMMON /2C/ACH(NV)
COMMON /2D/TOL, TETA
COMMON /2E/TET(10, 40)
COMMON /2F/FI(10, 40, NV)
COMMON /2G/XL1(NV), XLS(NV)
COMMON /2H/VVL, ALP, VRP
COMMON /2I/TTOL
COMMON /2J/IAE, IFIL
COMMON /2L/ATIL(NV)
ATIHOD=0.0
c Calculo de norma de estil(j) (otino). . .
DO 10 J=1, N
  ATIHOD=ATIHOD+ATIL(J)*ATIL(J)
10 CONTINUE
DO 20 J=1, N
  EXPFIL=ALFA(ATIL(J)/ATIHOD)
  X(J)=X(J)*AVVL*EXPFIL
20 CONTINUE
c terminado a projecao (apenas uma iteracao) sobre a
c restricao k, projetamos agora sobre a regio definida
c pelos limites inferiores e superiores ( P/Q )
DO 25 J=1, N
  IF (X(J).LT.XL1(J)) THEN
    X(J)=XL1(J)
  ELSE
    IF (X(J).GT.XLS(J)) THEN
      X(J)=XLS(J)
    ENDIF
  ENDDIF
25 CONTINUE
c Fim da projecao
RETURN
END

```

ROUTINE TOTPC

```

PARAMETER (NV=25, NN=50, NC=90, NT=115)
LOGICAL TB(30), PROJCT, CINA, PARADA, OTINO, FACTVL, SOJE
COMMON /20/TB, PROJCT
COMMON /21/CINA, PARADA, OTINO, FACTVL, SOJE
COMMON /22/N, N, JE, K2, KZAO, KZAD, NRRP(NN)
COMMON /23/KX, KR, KVL, ITP, IB(NV)
COMMON /24/IN(NC)
COMMON /25/C(NV)
COMMON /26/A(NV, NC)
COMMON /27/D(NT)
COMMON /28/E(NT)
COMMON /29/AB1(NV, NV)
COMMON /2A/X(NV)
COMMON /2B/UB(NV)
COMMON /2C/ACH(NV)
COMMON /2D/TOL, TETA
COMMON /2E/TET(10, 40)
COMMON /2F/FI(10, 40, NV)
COMMON /2G/XL1(NV), XLS(NV)
COMMON /2H/VVL, ALP, VRP
COMMON /2I/TTOL
COMMON /2J/IAE, IFIL
COMMON /2L/ATIL(NV)
COMMON /2R/EPSP(40)
DIMENSION KA(26)
OTINO=.TRUE.
KAUX=KZAO+
VVL=1.0
DO 5 J=1, N
  XA(J)=X(J)
6 CONTINUE
IFKP=0
DO 30 N=1, NKAUX
  OKP=0.0
  IAUX=NRRP(N)
  DO 50 I=1, IAUX
    AUX=TET(K, I)
    DO 10 J=1, N
      AUX=AUXR(K)*FI(K, I, J)
    10 CONTINUE
    valor de somatoria u(i) armazenado em epsp(i)
    EPSP(I)=AUX
    OKP=OKP+AUX
  20 CONTINUE
c Projetando as todas restricoes violadas . . .
  IF (OKP.GT.(1.0-TOL)) THEN
    OTINO=.FALSE.
    VVL=OKP
c Verifica se projeta a restricao Ok no ponto M . . .
  IF ((ALP.EQ.1).AND.(VVL.GT.VRP)) THEN
    PROJCT=.TRUE.
c calculando epsp(i) = u(i)/gkp
    DO 22 I=1, IAUX
      EPSP(I)=EPSP(I)/VVL
    22 CONTINUE
c calculando s11(J)
DO 24 J=1, N
  AUX=0.0
  DO 23 I=1, IAUX
    AUX=AUX+FI(K, I, J)*EPSP(I)
  23 CONTINUE
  ATIL(J)=AUX
  24 CONTINUE
  CALL PROJX
  ELSE
    PROJCT=.FALSE.
  ENDDIF
c Condensa a restricao violada no ponto projetado
  N=N+1
  IFKP=IFKP+1
  KR=K
  KX=N
  CALL CHNDLIN
  IN(N)=N+N
  DO 28 J=1, N
    X(J)=XA(J)
  28 CONTINUE
  ENDDIF
30 CONTINUE
IF (OTINO) THEN
  WRITE(10, 32) ITP, IFIL, N, X(1)
  WRITE(6, 32) ITP, IFIL, N, X(1)
  32 FORMAT(3X, 13, 3X, 13, 3X, 13, 20X, F11.5)
  DO 33 J=2, N
    WRITE(6, 34) X(J)
    WRITE(10, 34) X(J)
  33 CONTINUE
  34 FORMAT(30X, F11.5)
  ENDDIF
  RETURN
END

```

ROTINAS DO PL ...



```

DO 60 K=1,NAUX
  GK=0.0
  IAUQ=NRHQ(K)
  IF (IAUQ.EQ.0.) THEN
    AS=1.0
    DO 5 J=1,N
      FIQ(K,J)=0.
5    CONTINUE
  ELSE
    EPSQ(K,1)=1.0
    IAUQ=NRHQ(K)
    DO 10 I=1,IAUQ
      AUX=DO(K,I)
      DO 10 J=1,N
        FIQ(K,J)=0.0
        AUX=EPSQ(K,I)*BQ(K,I,J)
10    CONTINUE
    IQ=1+1
    EPSQ(K,IQ)=AUX
    GK=GK+AUX
20    CONTINUE
    GK=GK+1
    EPSQ(K,1)=EPSQ(K,1)/GK
    DO 30 I=1,IAUQ
      IQ=1+1
      EPSQ(K,IQ)=EPSQ(K,IQ)/GK
30    CONTINUE
    AUX=1.0
    AUX=(AUX/EPSQ(K,1))*EPSQ(K,1)
    DO 40 I=1,IAUQ
      IQ=1+1
      AUX=AUX*((DO(K,I)/EPSQ(K,IQ))*EPSQ(K,IQ))
      DO 35 J=1,N
        AUXF(K,I,J)=BQ(K,I,J)*EPSQ(K,IQ)
        FIQ(K,J)=FIQ(K,J)+AUXF(K,I,J)
35    CONTINUE
40    CONTINUE
  ENDIF
  DO 50 I=1,IAUXP
    TET(K,I)=CP(K,I)/AUX
    DO 45 J=1,N
      FIK(K,I,J)=AP(K,I,J)-FIQ(K,J)
45    CONTINUE
50    CONTINUE
  DO 60 K=1,EAUX
    IAUQ=NRHQ(K)
    WRITE(*,*) 'VALORES DE TET PARA RESTRICAO ',K
    WRITE(*,*) (TET(K,I),I=1,IAUXP)
    WRITE(*,*) 'VALORES DE FI'
    DO 70 I=1,IAUXP
      WRITE(*,*) (FI(K,I,J),J=1,N)
70    CONTINUE
80    CONTINUE
  RETURN
  END

```

```

ENDIF
IF (FACTVL) THEN
  DO 30 J=1,N
    Z(J)=X(J)
    X(J)=EXP(X(J))
30  CONTINUE
  WRITE(6,35)ITL
  WRITE(7,36)ITG,ITP,ITL,X(1)
35  FORMAT(20X,'TOTAL DE ITERACOES PL =',I4)
36  FORMAT(2X,13,2(3X,13),3X,F11.5)
  DO 37 J=2,N
    WRITE(7,38)X(J)
37  CONTINUE
38  FORMAT(20X,F11.5)
  WRITE(6,40)
40  FORMAT(20X,'SOLUCAO OTIMO DO PL')
  WRITE(6,50)
50  FORMAT(20X,'*****',/)
  WRITE(6,60)
60  FORMAT(20X,'*****')
  WRITE(6,70)
70  FORMAT(20X,'+',27X, '+')
  DO 80 J=1,N
    L=J-1
    WRITE(6,90)L,X(J)
80  CONTINUE
90  FORMAT(20X,'+ X(',12,') =',E15.6,3X, '+')
  WRITE(6,70)
  WRITE(6,60)
  CALL TOTPGP
  IF (.NOT.OTIMO) THEN
    DO 100 J=1,N
      X(J)=Z(J)
100  CONTINUE
  ENDIF
ENDIF
GOTO 10
ENDIF
RETURN
END

```

C  
C  
C

ROTINAS DO PGP QUE CONDENSA E PROJETA EM TODAS RESTRICOES VIOLADAS...

SUBROUTINE RESPGP

```

PARAMETER (NP=90,HP=115)
LOGICAL TB(30),CIMA,PARADA,OTIMO,FACTVL,SOJE,PROJET
COMMON /Z0/TB
COMMON /Z1/CIMA,PARADA,OTIMO,FACTVL,SOJE,PROJET
COMMON /Z1/H,N,JE,K2,KZAO,NZAO,NRHP(50)
COMMON /Z2/KX,KR,KVL,ITP,IB(25)
COMMON /Z3/IN(NP)
COMMON /Z3/C(25)
COMMON /Z4/A(25,HP)
COMMON /Z4/D(NP)
COMMON /Z4/E(NP)
COMMON /Z4/ABI(25,25)
COMMON /Z4/X(25)
COMMON /Z4/UB(25)
COMMON /Z4/ACH(25)
COMMON /Z4/TOL,TETA
COMMON /Z4/TET(15,40)
COMMON /Z4/FI(15,40,25)
COMMON /Z4/XL(25),XLS(25)
COMMON /Z4/VVL,ALF
COMMON /Z4/ATIL(25)
COMMON /Z4/TTOL
COMMON /Z4/ITTP,ITTL,ITG
DIMENSION Z(25)
CALL INIPGP
10 IF (.NOT.OTIMO.AND.FACTVL) THEN
  ITP=ITP+1
  ITTL=ITTL+1
  ITL=0
  WRITE(*,*) 'ITERACAO PGP = ',ITP
  WRITE(6,*) 'ITERACAO PGP = ',ITP
  WRITE(6,15)N
15  FORMAT(20X,'NUMERO DE RESTRICOES NO PL =',I3)
  PARADA=.FALSE.
  SOJE=.TRUE.
20  IF ((.NOT.PARADA).AND.FACTVL) THEN
    ITL=ITL+1
    ITTL=ITTL+1
    IF (SOJE.AND.(ITP.NE.1)) THEN
      JE=N
      CIMA=.TRUE.
      AUX=0.
      DO 25 J=1,N
        AUX=AUX+A(J,N)*X(J)
25    CONTINUE
      TETA=AUX-E(N,N)
      SOJE=.FALSE.
    ELSE
      CALL TESOTI
    ENDIF
    IF (.NOT.PARADA) THEN
      CALL ALTERA
    ENDIF
    IF ((.NOT.PARADA).AND.FACTVL) THEN
      CALL ATUALI
    ENDIF
  GOTO 20

```

nome do programa : PGGPRCH.FOR  
projeto e condensa na mais violada para alf=1.  
condensa na mais violada,s/proj para alf=0.

```

PARAMETER (NP=90,HP=115)
LOGICAL TB(30),CIMA,PARADA,OTIMO,FACTVL,SOJE,PROJET
COMMON /Z0/TB
COMMON /Z1/CIMA,PARADA,OTIMO,FACTVL,SOJE,PROJET
COMMON /Z1/H,N,JE,K2,KZAO,NZAO,NRHP(50)
COMMON /Z2/KX,KR,KVL,ITP,IB(25)
COMMON /Z3/IN(NP)
COMMON /Z3/C(25)
COMMON /Z4/A(25,HP)
COMMON /Z4/D(NP)
COMMON /Z4/E(NP)
COMMON /Z4/ABI(25,25)
COMMON /Z4/X(25)
COMMON /Z4/UB(25)
COMMON /Z4/ACH(25)
COMMON /Z4/TOL,TETA
COMMON /Z4/TET(15,40)
COMMON /Z4/FI(15,40,25)
COMMON /Z4/XL(25),XLS(25)
COMMON /Z4/VVL,ALF
COMMON /Z4/ATIL(25)
COMMON /Z4/TTOL
COMMON /Z4/ITTP,ITTL
COMMON /Z4/ITG,TOLG,EPSP(40)
COMMON /Z4/XO(25)
COMMON /Z4/ITTP,ITTL
OPEN(5,FILE='PGGDAD',STATUS='OLD')
OPEN(6,FILE='PGGSAI',STATUS='NEW')
OPEN(7,FILE='PGGTAB',STATUS='NEW')
CALL INIPGP
WRITE(7,3)ALF,TOLG
3  FORMAT(20X,'ALFA = ',F7.4//,20X,'TOLER.PGC =',F7.5/)
  IF (ALF.NE.0.) THEN
    PROJETA=.TRUE.
  ELSE
    PROJETA=.FALSE.
  ENDIF
  WRITE(7,5)
5  FORMAT(2X,'ITG * ITP * ITL * SOL.FIN.PL * SOL.FIN.PGP * SOL.FIN.PG * XG *//)
10  CALL CONDVP
  CALL RESPGP
  DO 30 J=1,N
    IF (ABS(X(J)-XO(J)).GT.TOLG) THEN
      DO 20 JS=1,N
        XO(JS)=X(JS)
20    CONTINUE
    ITG=ITG+1
    GOTO 10
  ENDIF
30  CONTINUE
  WRITE(6,40)
40  FORMAT(20X,'SOLUCAO DO PGP QUE VERIFICA AS CONDICAOES DE K.T.')
  WRITE(6,50)
50  FORMAT(20X,'*****')
  WRITE(6,60)
60  FORMAT(20X,'*****')

```

```

WRITE(6,70)
70 FORMAT(20X,'+',27X,'+')
WRITE(7,73)
73 FORMAT(1X/,2X,'ITC * ITP* ITL * *** RESULTADOS FINAIS ***
ROL.PGG'//)
WRITE(7,75)ITC,ITTP,ITTL,X(1)
75 FORMAT(2X,13,2(3X,13),31X,F11.5)
DO 77 J=2,N
WRITE(7,78)X(J)
77 CONTINUE
78 FORMAT(48X,F11.5)
DO 80 J=1,N
L=J-1
WRITE(6,90)L,X(J)
80 CONTINUE
90 FORMAT(20X,'+ X(',12,') =',E15.6,3X,'+')
WRITE(6,70)
WRITE(6,60)
WRITE(6,100)ITC
100 FORMAT(20X,'NUMERO DE ITERACOES NO PGC = ',16)
STOP
END

```

C  
C  
C  
C  
C  
C

ROTINAS DO PGC EM GERAL...

ROTINAS DO PGC QUE CONDENSA E PROJETA NA RESTRICAO  
MAIS VIOLADA...

```

c nome do programa : PGCPT.FOR
c projeta e condensa as todas restricoes violadas aif=1.
c condensa todas restricoes violadas nas projecao aif=0.

```

```

PARAMETER (NP=90, NP=115)
LOGICAL TB(20),CIRA,PARADA,OTINO,FACTVL,SQJE,PROJET
COMMON /Z0/TB
COMMON /Z1/CIRA,PARADA,OTINO,FACTVL,SQJE,PROJET
COMMON /Z1/N,N,JE,K2,KZAO,KZAO,MRHP(50)
COMMON /Z2/EX,KR,KVL,ITP,IB(25)
COMMON /Z3/IN(RP)
COMMON /Z4/A(25,NP)
COMMON /Z5/D(RP)
COMMON /Z6/E(RP)
COMMON /Z7/AT(15,25)
COMMON /Z8/AC(25)
COMMON /Z9/ACR(25)
COMMON /Z10/L,TETA
COMMON /Z11/ET(15,40)
COMMON /Z12/FI(15,40,25)
COMMON /Z13/EL,KL(25),XLS(25)
COMMON /Z14/VV,ALF
COMMON /Z15/ATIL(25)
COMMON /Z16/TOL
COMMON /Z17/CP(15,40),DP(15,40),AP(15,40,25),BQ(15,40,25)
COMMON /Z18/TOLG,EPSP(40)
COMMON /Z19/XO(25)
COMMON /IT/ITTP,ITTL,ITC
OPEN(1,FILE='PGGDAD',STATUS='OLD')
OPEN(2,FILE='PGCS1',STATUS='NEW')
OPEN(7,FILE='PGCTAB',STATUS='NEW')
CALL INIPGC
IF (ALF.EQ.0.) THEN
PROJET=.FALSE.
ELSE
PROJET=.TRUE.
ENDIF
WRITE(7,3)
3 FORMAT(20X,'Nome do programa : PGCPT.FOR'//)
WRITE(6,4)
4 FORMAT(20X,'Este programa resolve um pgg, projetando e condensando
as 20v. todas violadas, mas partindo sempre no ponto do PL.//')
WRITE(7,5)
5 FORMAT(2X,'ITC * ITP * ITL * SOL.FIN.PL * SOL.FIN.PGC * SOL.FIN.PG
AG #'//)
10 CALL CONDV
CALL RESPGP
DO 30 J=1,N
IF (ABS(X(J)-XO(J)).GT.TOLG) THEN
DO 20 JS=1,N
XO(JS)=X(JS)
20 CONTINUE
ITC=ITC+1
GOTO 10
ENDIF
30 CONTINUE
WRITE(6,40)
40 FORMAT(20X,'SOLUCAO DO PGC QUE VERIFICA AS CONDICAOES DE E.T. ')
WRITE(6,50)
50 FORMAT(20X,'*****')
WRITE(6,60)
60 FORMAT(20X,'*****')
WRITE(6,70)
70 FORMAT(20X,'+',27X,'+')
WRITE(7,73)
73 FORMAT(1X/,2X,'ITC * ITP* ITL * *** RESULTADOS FINAIS ***
ROL.PGG'//)
WRITE(7,75)ITC,ITTP,ITTL,X(1)
75 FORMAT(2X,13,2(3X,13),31X,F11.5)
DO 77 J=2,N
WRITE(7,78)X(J)
77 CONTINUE
78 FORMAT(48X,F11.5)
DO 80 J=1,N
L=J-1
WRITE(6,90)L,X(J)
80 CONTINUE
90 FORMAT(20X,'+ X(',12,') =',E15.6,3X,'+')
WRITE(6,70)
WRITE(6,60)
WRITE(6,100)ITC
100 FORMAT(20X,'NUMERO DE ITERACOES NO PGC = ',16)
STOP
END

```

C  
C

ROTINAS EM COMUM DO PGC... e P4P, PL